

Studiengang Systemtechnik

Vertiefungsrichtung Infotronics

Diplom 2007

Michel Gemmet

*Sensor zur Erkennung der Anwesenheit
eines Fahrzeugs auf Basis der
Standards IEEE 802.15.4 und ZigBee*

Dozent Pierre Pompili
Experten Eric Stempin



Sensor zur Erkennung der Anwesenheit eines Fahrzeugs auf Basis der Standards IEEE 802.15.4 und ZigBee

Capteur de détection de présence de véhicule utilisant les standards IEEE 802.15.4 et ZigBee

Ziel

Es soll ein Sensor entwickelt werden, der mittels Veränderung des Erdmagnetfeldes die Präsenz eines Fahrzeugs auf einem Parkplatz feststellen kann. Der aktuelle Zustand des Parkfeldes soll dem Koordinator über eine drahtlose ZigBee-Kommunikation im 2,4 GHz Frequenzbereich zugestellt werden. Da die Sensoren mittels Batterien betrieben werden, muss bei der Entwicklung besonders auf eine möglichst geringe Energiekonsumation Wert gelegt werden.

Resultate

Die Software Anwendung konnte entwickelt und ausgetestet werden. Für die Hardware konnten durch die Entwicklung der Software und der gemachten Tests einige Verbesserungen aufgefunden werden, die bei einer Revision zur Anwendung gelangen. Die Anwendung wurde auf dem IEEE 802.15.4 Standard aufgebaut. Es wurde also nicht vom gesamten ZigBee-Protokollstapel Gebrauch gemacht, da eine solche Entwicklung deutlich mehr Zeit und Geld beansprucht hätte.

Schlüsselwörter

ZigBee, IEEE 802.15.4, Sensor, Magnetfeld, Fahrzeugerkennung, MSP430, CC2420, 2.4 GHz, Drahtlose Medien, Wireless

Objectif

Il devrait être développé un capteur qui peut constater la présence d'un véhicule sur un parking au moyen du changement du magnétisme terrestre. La condition actuelle du champ de parc devrait être livrée au coordinateur par une communication ZigBee (sans fil) dans la bande de fréquence de 2,4 GHz. Comme les capteurs fonctionneront à l'aide d'une batterie, la solution développée devra être à faible consommation d'énergie..

Résultats

Le logiciel application a pu être développée et testée. Pour la partie hardware, quelques améliorations seront apportées suite au développement et aux tests de la partie software. L'application est basée sur le standard IEEE 802.15.4. Il n'a pas été fait ainsi par la pile ZigBee total parce qu'un tel développement aurait revendiqué distinctement plus de temps et argent.

Mots-clés

ZigBee, IEEE 802.15.4, capteur, magnétisme terrestre, détection de présence de véhicule, MSP430, CC2420, 2.4 GHz, connexion sans fil, wireless



DANKSAGUNGEN

Ich möchte an dieser Stelle an folgende Personen / Institutionen im Speziellen meinen Dank aussprechen:

- Herrn Pierre Pompili für meine Betreuung als Diplomand im Ausland
- Herr Eric Stempin für die Möglichkeit meine Diplomarbeit bei ihm in Bordeaux auszuführen
- Herr Jean-Christoph Martin für seinen Rat und Tat auf Fragen in Sachen Elektronik vor allem im Zusammenhang mit der vorhandenen Hardware
- Herr Stéphane Koehler für seine Hilfsbereitschaft bei Fragen und Gedankengängen im Zusammenhang mit der Diplomarbeit
- Herr Adrien Favot ebenfalls für seine Hilfsbereitschaft bei Fragen und Gedankengängen rund um die Diplomarbeit
- Herr Laurent Magdelaine für seinen Rat und Tat auf Fragen in Sachen Informatik und Programmierung vor allem im Zusammenhang mit dem Algorithmus zur Fahrzeugerkennung
- Büro MOVE für die Ermöglichung einer Ausland-Diplomarbeit



INHALTSVERZEICHNIS

1. VERFASSER.....	1
2. EINLEITUNG UND ZIELSETZUNGEN	1
2.1 VORSTELLUNG UNTERNEHMUNG RAVEL	1
2.1.1 STANDORT	1
2.1.2 FIRMENBEZEICHNUNG, RECHTSSTELLUNG UND STRUKTUR.....	1
2.1.3 TÄTIGKEITSBEREICH.....	2
2.2 PROJEKTANTRAG	3
2.3 PFLICHTENHEFT	4
2.4 PROJEKTUMRISS	5
2.4.1 STRUKTUR.....	5
2.4.2 ZEITPLAN.....	5
2.5 SPEZIFIKATION	6
2.5.1 SOFTWARE	6
2.5.2 SYNTAX.....	6
3. KONZEPT.....	7
3.1 HARD- UND SOFTWAREUMGEBUNG.....	7
3.2 AUFBAU.....	7
3.2.1 SOFTWAREARCHITEKTUR	7
4. REALISIERUNG.....	8
4.1 GRUNDLAGEN DER STANDARDS IEEE 802.15.4 UND ZIGBEE.....	8
4.1.1 CHARAKTERISTIKEN UND KENNDATEN	8
4.1.2 KOMPONENTEN	9
4.1.3 PROTOKOLLSTAPEL	10
4.1.4 FRAME-STRUKTUR.....	12
4.2 DESIGN DES HARDWAREMODULES.....	14
4.2.1 DIE PLATINE	14
4.2.2 DAS SCHEMA.....	15
4.2.3 DIE INSTALLATION.....	19
4.3 SOFTWARE DESIGN	20
4.3.1 DER MIKROKONTROLLER MSP430F169.....	20
4.3.2 PROJEKTENTWICKLUNG	22
4.3.3 KLASSEN	23
4.3.3.1 CLOCK	23
4.3.3.2 SPI	25
4.3.3.3 CC2420	25
4.3.3.4 RF2	26
4.3.3.5 MAC_SEND.....	26
4.3.3.6 RS232	27
4.3.3.7 VTXPRINTF	28
4.3.3.8 RAVELFUNCLIB.....	28
4.3.3.9 PWM	28
4.3.3.10 SLEEP	29
4.3.3.11 I2C.....	29
4.3.3.12 AMR_AUTOCONF	30
4.3.3.13 AMR.....	30
4.3.3.14 CZAME	31
4.3.3.15 VARIABLES.....	32
4.3.3.16 DEFINITIONS	32
4.3.3.17 MAIN	32
4.3.4 VERSIONEN	33



5. VALIDIERUNG UND TESTS	35
5.1 TESTPROGRAMM	35
5.2 PRAKTISCHE TESTS	36
5.3 VERBESSERUNGEN	38
5.3.1 RC-FILTER DES VERSTÄRKERAUSGANGS	38
5.3.2 INITIALISIERUNG DER DIGITALEN POTENTIOMETER	39
5.3.3 VERSTÄRKUNGSGRAD DER VERSTÄRKER	40
5.3.4 OFFSETVERLUST DES DIGITALEN POTENTIOMETERS	40
5.3.5 ANPASSUNG LADUNGSPUMPE	40
5.3.6 DYNAMISCHE AUTOKALIBRATION	41
5.3.7 VERBESSERUNG SET/RESET	41
5.3.8 ÄNDERUNG FAHRZEUGSERKENNUNGSGRUNDLAGENALGORITHMUS	42
5.3.9 SONSTIGES	42
6. FAZIT UND AUSSICHTEN	43
7. SCHLUSSFOLGERUNG UND BEMERKUNGEN	44
8. QUELLENVERZEICHNIS	45
9. ABKÜRZUNGSVERZEICHNIS	46
10. ANHANG	47



I. VERFASSEN

Michel Gemmet

Laboratoire IMS - Bât. A31
351, Cours de la libération
33405 Talence Cedex - France

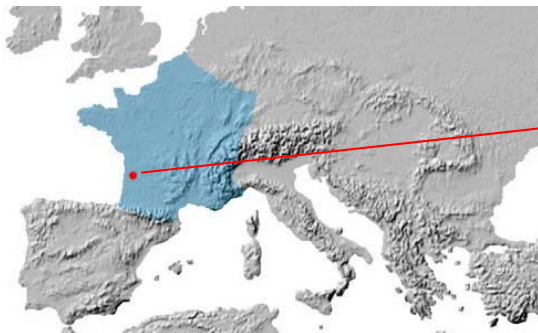
2. EINLEITUNG UND ZIELSETZUNGEN

Dieses Projekt mit dem Titel „Sensor zur Erkennung der Anwesenheit eines Fahrzeugs auf Basis der Standards IEEE 802.15.4 und ZigBee (CEP)“ wurde im Rahmen einer (Erasmus-)Diplomarbeit von der Unternehmung RAVEL der Hes-so Wallis vorgeschlagen. Die folgenden Abschnitte definieren den genauen Rahmen des Projektinhaltes.

2.1 VORSTELLUNG UNTERNEHMUNG RAVEL

Im folgenden Abschnitt wird die Unternehmung RAVEL vorgestellt, von welcher der Projektvorschlag dieser Diplomarbeit kommt. Sämtliche praktische Arbeiten wurden hier ausgeführt.

2.1.1 STANDORT



Réseau Aquitain Véhicules ELectriques
Laboratoire IMS - Bât. A31
351, Cours de la libération
33405 Talence Cedex (Bordeaux) – France

☎ +33 (0) 5 40 00 88 05

📠 +33 (0) 5 40 00 28 00

✉ ravelec@ixl.fr

🌐 <http://www.ravel-vehicule-electrique.com>

2.1.2 FIRMENBEZEICHNUNG, RECHTSSTELLUNG UND STRUKTUR

Die Unternehmung RAVEL (Réseau Aquitain Véhicules ELectriques) ist angelehnt an das Mikroelektronik-Labor IXL (🌐 <http://www.ixl.fr>) bzw. IMS (🌐 <http://www.ims-bordeaux.fr>) und bildet eine Zelle für den Technologie-Transfer.

Seine Aufgabe ist es, auf industrielle Probleme zu antworten, indem sie eine Verbindung zwischen Industrie und Forschung bildet.

RAVEL ist eine Technologie-Plattform, auf welche sich die industrielle Umgebung abstützen kann, um ihre Projekte in den Bereichen der Leistungselektronik, der eingebetteten Systeme und des Energiemanagement zu definieren, zu konzipieren und zu fabrizieren.



Sie kann aus der Erfahrung und dem Fachwissen, sowie der technischen Mittel, des Mikroelektronik-Labors IXL profitieren, um im Elektro- und Hybridfahrzeugbereich zu arbeiten.

Durch die Unterstützung und Führung des Leiters der Zelle, werden sämtliche Tätigkeiten als Team-Projekte durchgeführt. Diese Durchführungsart gestattet eine schnelle Reaktionszeit und erlaubt daher eine Garantie für eine minimale Verzögerungszeit an die Kundengemeinschaft.

Die Partnerschaft mit der Industrie konkretisiert sich im Allgemeinen durch Forschungsverträge, Studienverträge, Testverträge, Gutachten, aber auch durch die Bereitstellung von Ressourcen und technischen Mitteln durch das Mikroelektronik-Labors IXL.

Die Struktur wird vom Verband ADERA (Association pour le Développement de l'Enseignement, et des Recherches auprès des universités, des centres de recherche et des entreprises d'Aquitaine) geleitet. (<http://www.adera.fr>)

2.1.3 TÄTIGKEITSBEREICH

Der Tätigkeitsbereich von RAVEL ist der folgende:

Eingebettete Systeme

- Anwendungen auf Basis von Mikroprozessoren und Mikrocontrollern (PIC, HC12, HC08, ARM, PowerPC, Intel XScale, TI MSP430)
- Feldbus (CAN, LIN, ISO9141, ...)
- Datenspeicher
- Ortungssysteme
- Technologien GSM / GPRS
- Technologie GPS
- CEM
- Echtzeitsysteme (Linux)
- CAO Elektronik
- Schnittstellen Mensch-Maschine

Leistungselektronik

- Stromversorgungen und Netzumwandler (1 W bis 100 kW)
- Batterie-Aufladegeräte
- Resonanzwandler
- AC/DC Wandler
- Superkondensatoren
- Vereinigung der elektrischen Energie von Hybridquellen (Energie / Leistung)

Energiemanagement

- Charakterisierung und Verhaltensregelung der Batterien
- Autonome Systeme zur Energieproduzierung
- Batteriebetriebene Überwachungsmodule
- Energiemanagementsysteme
- Solarzellen
- Brennstoffzellen
- Windturbinen

Elektro- und Hybridfahrzeuge

- Elektrofahrzeuge
- Elektroboote
- Elektrolastwagen
- Spezifische Fahrzeuge



2.2 PROJEKTANTRAG

Es soll ein Sensor entwickelt werden, der die Präsenz eines Fahrzeuges auf einem Parkplatz ermitteln kann. Der aktuelle Zustand des Parkplatzes soll über eine drahtlose Verbindung einem Koordinator zugeschickt werden, der diese Daten dann verwaltet und auswertet.

Die Grundidee hinter diesen Sensoren ist in erster Linie die folgende:

In erster Linie soll durch den Einsatz dieser Sensoren in einem Parkhaus ermittelt werden, wie viele Parkplätze zurzeit besetzt sind und wie viele noch frei sind. In einem zweiten Schritt soll einem Fahrzeuglenker, der das Parkhaus betritt, der Weg zum nächsten freien Parkplatz angezeigt werden. Beispielsweise durch ein Licht oder durch andere Wegweiser. Mit diesen Sensoren ist ja eine genaue Zustandsbestimmung der einzelnen Parkfelder möglich und das System weiss somit genau welcher Parkplatz noch frei ist und welcher nicht.

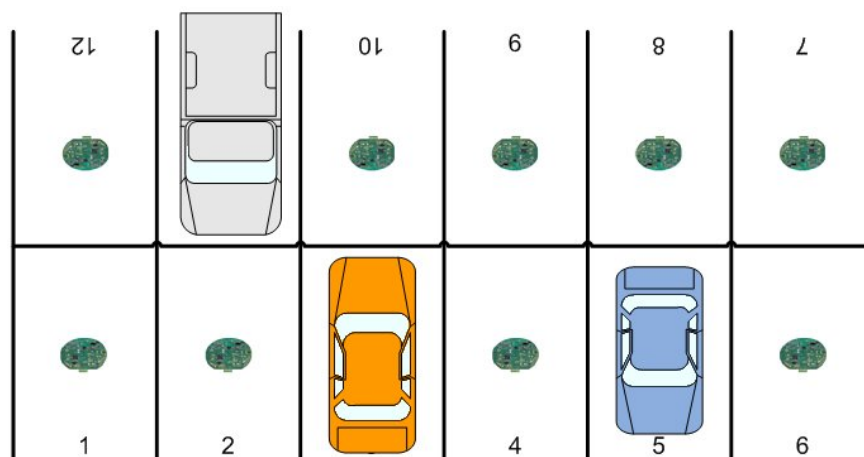


Abb. 1 : Schema Projektantrag - Parkplatz

Der Einsatzbereich dieser Sensoren ist weitläufig und kann daher sicherlich später auch für andere Anwendungen eingesetzt werden.

Beteiligte	verant- wortlich	mitbeteiligt	interessiert	Name	Telefon
Hes-so Wallis (Abteilung Infotonics)	X			Pierre Pompili	+41 (0)27 606'87'58
Projektverantwortlich(e) (RAVEL)		X X		Eric Stempin Jean-Christoph Martin	+33 (0)5 40'00'88'05 +33 (0)5 40'00'27'70
C-Zame Technologies und/oder andere Parkplatzinhaber			X	-	-
Projektart <input checked="" type="checkbox"/> Neulösung <input type="checkbox"/> Erweiterung / Änderung		Nutzung <input checked="" type="checkbox"/> wiederholt <input type="checkbox"/> einmalig		Projektgrösse <input type="checkbox"/> gross <input checked="" type="checkbox"/> mittel <input type="checkbox"/> klein	
Termine		Projektstart: 10.09.2007 Projektabgabe: 21.12.2007 Projektdauer: 15 Wochen			

☐ Der ursprünglich eingegangene Projektvorschlag von RAVEL ist im Anhang 1 beigelegt.



2.3 PFLICHTENHEFT

Wie im Projektantrag (👉 *Kapitel 2.2*) bzw. im Projektvorschlag (📄 *Anhang 1*) angetönt, liegt das Hauptaugenmerk hierbei dem Energieverbrauch. Viele Parkplätze befinden sich ein wenig abgelegen von Stromquellen, so dass meist ein Betrieb mittels Batterien unumgänglich ist. Daher soll der Sensor einen möglichst geringen Energieverbrauch erzeugen, denn die Batterien sollen möglichst so lange wie möglich halten.

Die einzigen präzisen Projekttrichtlinien sind durch den Projektvorschlag (📄 *Anhang 1*) vorgegeben. Diese lassen aber einen relativ grossen Spielraum offen und daher ist es auch nahe liegend, dass das Projektziel während der Durchführung dieser Diplomarbeit das ein oder andere Mal neu überdacht wurde.

Die einzigen klaren und allgemein gültigen Vorgaben sind die folgenden:

- Geringer Energieverbrauch
 - Benutzung des Mikrokontrollers MSP430F169 von Texas Instruments für die Anwendung
 - Benutzung des Transceivers CC2420 von Chipcon für die Partie RF
- Kommunizierung der Sensorzustände mittels dem Standard ZigBee (bzw. IEEE 802.15.4)
- Schluss-Anwendung muss in der IAR Workbench Programmierungsumgebung funktionieren

Im Rahmen dieser Diplomarbeit wird primär die drahtlose Kommunikation zwischen Sensor und Koordinator betrachtet d.h. der Betriebsablauf des Sensors. Der Sensor selber d.h. die Hardware wurde schon in einem Rahmen einer früheren Diplomarbeit erstellt (👉 *Kapitel 4.2*). Als Koordinator / Router dient anfangs ein eingekauftes Modul namens „XBee Pro Serie 1“ von der Firma MaxStream (🌐 <http://www.maxstream.net>). In einem späteren Zeitpunkt, je nach Verlauf der Diplomarbeit noch während dieser Diplomarbeit, wird der Koordinator auch selber erstellt.



Abb. 2 : Hardware (CEP)



Abb. 3 : MaxStream XBee Pro Modul

Die Messung der Präsenz eines Fahrzeugs erfolgt über magnetische Sensoren. Die eingesetzten Sensoren messen die Veränderung des Erdmagnetfelds, das auftritt wenn ein Fahrzeug auftaucht.



Abb. 4 : Erdmagnetfeld bei einem Fahrzeug



2.4 PROJEKTUMRISS

In diesem Abschnitt des Dokuments wird der Projektumriss aufgezeigt. D.h. wer ist im Projekt mit involviert und wie sieht der Zeitplan aus.

2.4.1 STRUKTUR

Das Projekt kann in die zwei Hauptteilbereiche Hardware und Software unterteilt werden.

Die Hardware wurde - wie schon erwähnt - bereits in einer früheren Diplomarbeit erstellt. Als Ansprechpartner für Fragen und Bemerkungen steht diesbezüglich Herr Jean-Christophe Martin zur Verfügung.

Die Software kann wiederum in zwei Teilbereiche unterteilt werden. Der erste Teil ist ein Algorithmus zur Erkennung der Fahrzeuge anhand der magnetischen Sensoren. Dieser Teil wurde ebenfalls in Form einer früheren Projektarbeit bereits erstellt. Jedoch muss er auf die nun zur Verfügung stehende Hardware ein wenig angepasst werden. Als Ansprechpartner für Fragen und Bemerkungen steht mir in diesem Fall Herr Laurent Magdaleine zur Verfügung. Der zweite Teil ist die Anwendung für die RF-Kommunikation mittels ZigBee-Protokollstapel. Dieser Teil ist die Hauptaufgabe dieser Projektarbeit.

Projektleiter ist Herr Eric Stempin.

Zum Systemtest und für allgemeine beratende Gespräche im Zusammenhang mit diesem Projekt stehen zusätzlich die Herren Stéphane Koehler und Adrian Favot zur Verfügung.

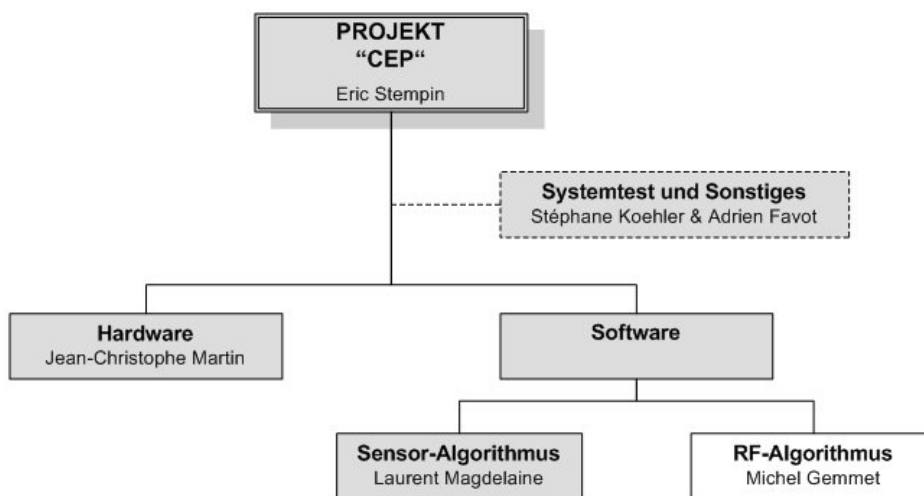


Abb. 5 : Projektstruktur

2.4.2 ZEITPLAN

Der Zeitplan gibt einen Überblick über den geplanten Ablauf des Gesamtprojekts:

Tätigkeit	Sept. 2007			Okt. 2007					Nov. 2007				Dez. 2007		
	10.	17.	24.	01.	08.	15.	22.	29.	05.	12.	19.	26.	03.	10.	17.
Einarbeitung															
Ferien / Frei															
Entwicklung															
Systemtest															
Dokumentation															

Abb. 6 : Projektzeitplan



2.5 SPEZIFIKATION

In diesem Abschnitt des Dokuments gilt es die allgemein gültigen Regeln zum Projekt zu definieren. D.h. welche Software wird benutzt, wie sieht die Syntax und die Struktur aus.

2.5.1 SOFTWARE

Lösungsvarianten :

- IAR Embedded Workbench for MSP430 v3.41
(<http://www.iar.com>)



- MSPGCC – GCC Toolchain for MSP430
(<http://mspgcc.sourceforge.net>)



- usw.

Aufgrund der umfassenderen Anwendermöglichkeiten und damit ein gewisser Industriestandard eingehalten wird, wurde die Programmierumgebung „IAR Embedded Workbench“ gewählt, um das Projektvorhaben umzusetzen.

Der Hauptvorteil vom kostenpflichtigen „IAR Embedded Workbench“ gegenüber der Freeware-Tool „MSPGCC“ ist die Debug Möglichkeit.

Es ist vielleicht noch zu vermerken, dass es vom kostenpflichtigen „IAR Embedded Workbench“ auch eine Gratis-Version mit dem Namen „IAR Embedded Workbench KickStart“ gibt. Mit dieser Version lassen sich aber nur kleine Anwendungen kompilieren (max. 4 KByte).

2.5.2 SYNTAX

Die Syntax der Anwendung wird folgendermassen definiert:

Typ	Definition	
Methode / Funktion / Operation	<code>getMethodName</code> <code>get_method_name</code>	[Beginn mit Kleinbuchstabe] [Trennung durch _]
Attribut / Variable	<code>attributName</code> <code>gAttributName</code> (global)	[Beginn mit Kleinbuchstabe] [Beginn mit kleinem g]
Konstante	<code>cConstName</code>	[Beginn mit kleinem c]
Makro	<code>MAKRO_NAME</code>	[Grossbuchstaben]
Definition	<code>DEFINITION_NAME</code>	[Grossbuchstaben]
Enumeration	<code>eEnumerationName</code>	[Beginn mit kleinem e]
Union	<code>uUnionName</code>	[Beginn mit kleinem u]
Structure	<code>structureName_s</code>	[Ende mit kleinem _s]
Typedefinition	<code>typedefName_t</code>	[Ende mit kleinem _t]
Pointer	<code>pPointerName</code>	[Beginn mit kleinem p]
...



3. KONZEPT

Im Konzept wird die Idee des Aufbaus und die Hard- und Softwareumgebung aufgezeigt.

3.1 HARD- UND SOFTWAREUMGEBUNG

Auf der Hardwareseite stehen folgende Komponenten zur Verfügung:

- 2 CEPs Version 2.0 (mit MSP430F169 Mikrocontroller und CC2420 RF Transceiver)
- 7 CEPs Version 3.0 (mit MSP430F169 Mikrocontroller und CC2420 RF Transceiver)
- 7 Batteriegehäuse für/mit 2 D-Batterien
- RS-232 Interface
- XBee Pro Serie 1 inkl. Development Board USB (Typ : XBP24-AWI-001) inkl. USB Kabel
- XBee Pro Serie 1 inkl. Development Board RS-232 (Typ : XBP24-AWI-001) inkl. RS-232 Kabel
- Tektronix Oszilloskop (Typ : DPO 4054)
- MSP430 USB-Debug-Interface (JTAG) inkl. USB Kabel zum PC
- 2 Agilent Power Supplys
- etc.

Seitens der Software wird folgendes benutzt:

- IAR Embedded Workbench für MSP430 v.3.41
- MSPGCC – GCC Toolchain for MSP430
- MSYS – Minimal SYStem v.1.0.10
- X-CTU (XBee Software) von Digi-Maxstream
- Windows Hyperterminal für Testausgaben und Debugs
- Microsoft Visual C Sharp Express
- Microsoft Visual C++ Express
- Desktop Activity Recorder für Systemtests
- etc.

3.2 AUFBAU

Dieser Abschnitt des Dokuments zeigt die grundlegende Aufbaustruktur des Projektes in Form der Softwarearchitektur und eines Modells.

3.2.1 SOFTWAREARCHITEKTUR

Die Kommunikation zwischen Mikrocontroller und RF Transceiver erfolgt mittels SPI (Serial Peripheral Interface). Diesbezüglich ist folgende Architektur vorgesehen:

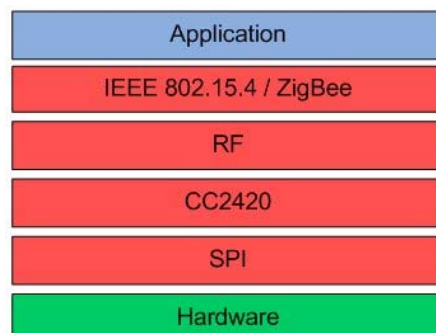


Abb. 7 : Softwarearchitektur



4. REALISIERUNG

Dieser Abschnitt dokumentiert alle praktischen Arbeiten, die während der Durchführung des Projekts getätigt wurden. Es wird versucht die Idee hinter den vollzogenen Arbeiten, sowie auch deren Implementation, Validierung und der durchgeführten Tests (👉 *Kapitel 5*), zu erläutern. Des Weiteren sind mögliche Verbesserungsvorschläge oder weiterführende Gedankengänge aufgeführt (👉 *Kapitel 6*).

4.1 GRUNDLAGEN DER STANDARDS IEEE 802.15.4 UND ZIGBEE

Im folgenden Abschnitt werden die Standards IEEE 802.15.4 und ZigBee in ihren Grundlagen erläutert, dies allerdings ohne zu Tief in die Details zu gehen.

Es gilt vorgängig zu bemerken, dass wenn man von ZigBee spricht, dies den Standard IEEE 802.15.4 eigentlich mit beinhaltet. In den folgenden Abschnitten wird also mit ZigBee der ganze Protokollstapel gemeint und es wird nicht weiter zwischen IEEE 802.15.4 und ZigBee unterschieden.

4.1.1 CHARAKTERISTIKEN UND KENNDATEN

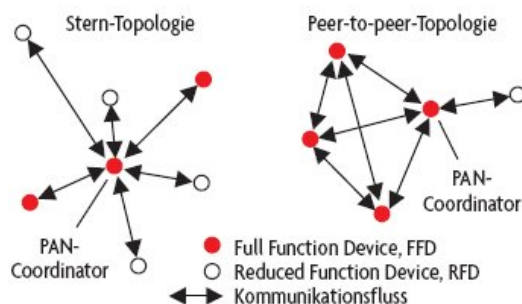
ZigBee (und sein zugrunde liegender Standard IEEE 802.15.4) ist ein offener Funknetz-Standard für zuverlässige, kostengünstige und verlustleistungsarme Sensor- und Aktor-Netzwerke, der sich gegenwärtig teilweise noch in der Markteinführung befindet.

Die allgemeinen Charakteristiken von ZigBee sind die folgenden:

- Datenübertragungsrate von 20 bis 250 kBit/s
- Reichweite bis zu 100 m
- 3 Frequenzbereiche mit insgesamt 26 Kanälen

Bereich	Frequenzband	Region	Kanalnummer	Datenrate	Modulation
868 MHz	868 – 838,6 MHz	Europa	0	20 kBit/s	BPSK
915 MHz	902 – 928 MHz	Amerika	1-10	40 kBit/s	BPSK
2.4 GHz	2400 – 2483,5 MHz	weltweit	11-26	250 kBit/s	O-QPSK

- Störungssicher
- Unterstützt verschiedene Netzwerktopologien



Auf dieser Grundlage lassen sich nun weitere leistungsfähige und flexible vermaschte Netzwerke aufbauen wie z.B. „Cluster-Trees“.

Abb. 8 : Grundlegende Netzwerktopologien

- Kurze Verbindungszeiten : < 25 ms
- Protokollstapel von 25 bis 60 kBytes
- 128-Bit AES Verschlüsselung und Authentifizierung
- Sendeleistung bis 1 mW
- Schiedsrichteralgorithmus CSMA/CA
- etc.

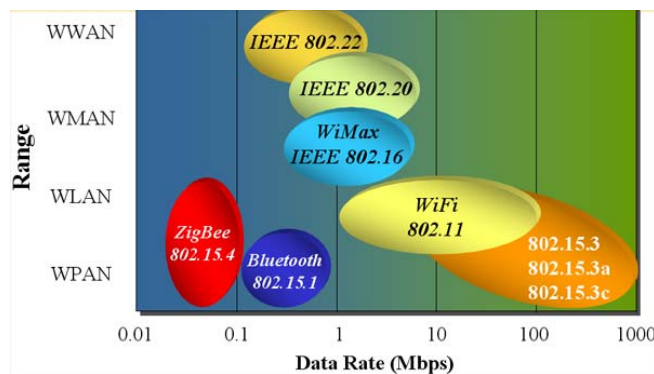


Abb. 9 : Positionierung in Bereich und Datenrate

4.1.2 KOMPONENTEN

Grundsätzlich kann man die Geräte eines „Low Data Rate – Wireless Personal Area Networks“ (LD-WPAN) - wie ZigBee es ist - in zwei Gruppen einteilen:

- FFD (Full Function Device)
- RFD (Reduced Function Device)

Ein FFD beherrscht die volle Funktionalität des Protokollstapels, während ein RFD nur eine reduzierte Funktionalität aufweist.

FFDs können sowohl mit RFDs, als auch mit anderen FFDs kommunizieren, während RFDs nur mit FFDs Daten austauschen können.

In einem ZigBee-Netzwerk gibt es folgende 3 Komponenten:

- Koordinator
- Router
- Endgerät

In einem LR-WPAN nach dem IEEE 802.15.4 Standard muss als PAN Koordinator immer ein FFD fungieren. Der Koordinator stellt administrative Funktionen bereit. Diese Funktionen beinhalten unter Anderem die Adressierung der einzelnen Endgeräte und Synchronisation der Datenübertragung bei Verwendung von „Slotted CSMA-CA“ (Anhang 1). Dabei übernimmt er je nach Netzwerktopologie weitere Aufgaben, wie Routing oder Sicherheitsfunktionen.

Der PAN Koordinator ist für die Zugriffskontrolle des Netzes zuständig. Er kann zusätzlichen Endgeräten erlauben dem Netzwerk beizutreten und diese auch wieder aus dem Netz weisen.

Die Router in einem LR-WPAN sind optional. Ihre Existenz hängt von der Netzwerktopologie ab. In gleicher Weise wie der Koordinator muss ein Router als FFD fungieren. Seine Hauptaufgabe liegt in der Weiterleitung der über ihn gesendeten Nachrichtenpakete.

Ein Endgerät ist meist dann der Sensor bzw. „das Arbeitstool“ welches seinerseits meist eine Messung durchführt und deren Resultat dann an den Koordinator schickt. Der während dieser Diplomarbeit zu programmierende Sensor ist ein solches Endgerät.

Endgeräte können sowohl als FFDs als auch als RFDs fungieren.



4.1.3 PROTOKOLLSTAPEL

Die Architektur des ZigBee-Protokollstapels basiert auf dem OSI-Modell (7 Schichten). Jede Schicht stellt seinen benachbarten Schichten eine gewisse Anzahl Primitive zur Verfügung, welche durch den Standard [01] und [02] spezifiziert sind.

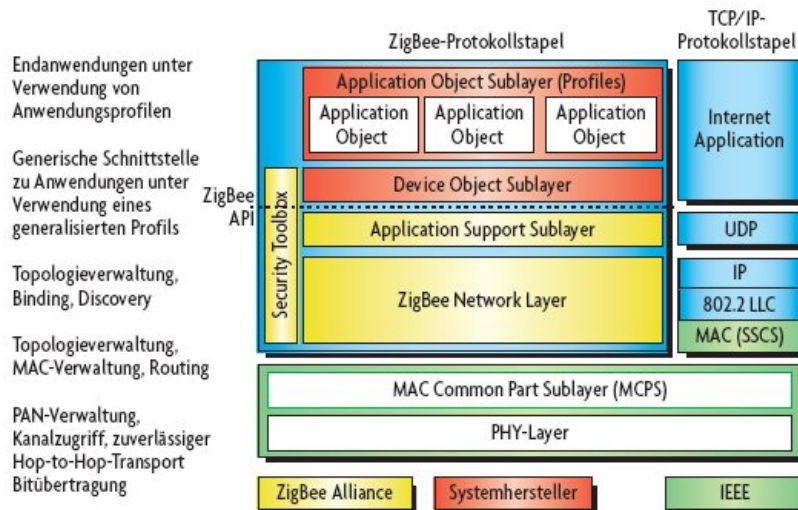


Abb. 10 : ZigBee-Protokollstapel

Wie in Abbildung 10 ersichtlich ist, basiert der ZigBee-Protokollstapel auf dem Standard IEEE 802.15.4 [01]. Dieser definiert die untersten 2 Schichten - die physikalische Schicht (PHY) und die MAC Schicht – und wird spezifiziert von der IEEE¹.

Aufbauend auf diese beiden Schichten definiert die ZigBee Allianz² die höher gelegenen Netzwerk- (NWK) und Applikations-Schichten (APL) [02].

Der Applikationsrahmen bleibt dem Systemhersteller überlassen.

Die einzelnen Schichten haben die folgenden Aufgabenbereiche:

PHY-Layer

- Senden und Empfangen von PPDU's über den Radio-Kanal:
- Aktivieren und Deaktivieren der Sende-Empfangseinheit
- Signaldetektion
- Kanalqualitätsanzeige
- Kanalselektion
- Kanalbelegung
- etc.

MAC-Layer

- Aufbau der logischen Kanäle:
- Beacon Management
- Kanalzugriff mit garantierten Zeitschlitzten
- Fehlerbehandlung mit Bestätigung
- Sicherheitsfunktionen (Der Standard unterstützt zwar Verschlüsselung auf MAC Layer Ebene, den Austausch der Schlüssel wird aber an höhere Schichten delegiert.)
- etc.

¹ IEEE : Das Institute of Electrical and Electronics Engineers ist ein weltweiter Berufsverband von Ingenieuren aus den Bereichen Elektronik und Informatik (<http://www.ieee.org>).

² ZigBee Allianz : Die ZigBee Allianz ist ein Zusammenschluss von derzeit mehr als 150 Unternehmen, welche die weltweite Entwicklung dieser Technologie vorantreiben (<http://www.zigbee.org>).



NWK-Layer

- Vergabe der 16-Bit Netzwerkadressen
- Aufbau des Netzwerks
- Teilnahme und Verlassen von Geräten in bzw. aus dem Netz
- Sicherheit des zu übertragenden Frames
- Routing in einem Mesh- oder Tree-Netzwerk
- etc.

APL-Layer

- Definition des logischen Geräte Typs
- Multiplexing der eingehenden Daten
- Anwendung/Entfernung von Sicherheitsmechanismen auf dem Applikation Layer
- Nachrichten Reflexion für indirekte Adressierung
- Verwaltung der Binding-Tabelle
- Weiterleitung der Nachrichten zwischen Geräten (welche über Binding verbunden)
- etc.

ZigBee beschreibt alle sieben Schichten des OSI-Modells, wobei festgelegt ist, dass die unteren drei Schichten durch den Standard IEEE 802.15.4 abgedeckt werden. Die Schichten vier bis sechs werden dann durch den ZigBee-Protokollstapel abgedeckt, während die siebte Schicht die eigentliche Anwendung darstellt. Die folgende Abbildung zeigt eine grafische Darstellung der Zuordnung der ZigBee-Protokolle zum OSI-Modell.



Abb. 11 : ZigBee im OSI-Modell

Der ZigBee Protokollstapel ist streng modular aufgebaut, so dass der Anwender-Software möglich ist, auf jeder beliebigen Schicht aufzusetzen. Daraus ergeben sich eine Vielzahl von Implementierungsmöglichkeiten, die in der folgenden Abbildung dargestellt sind.

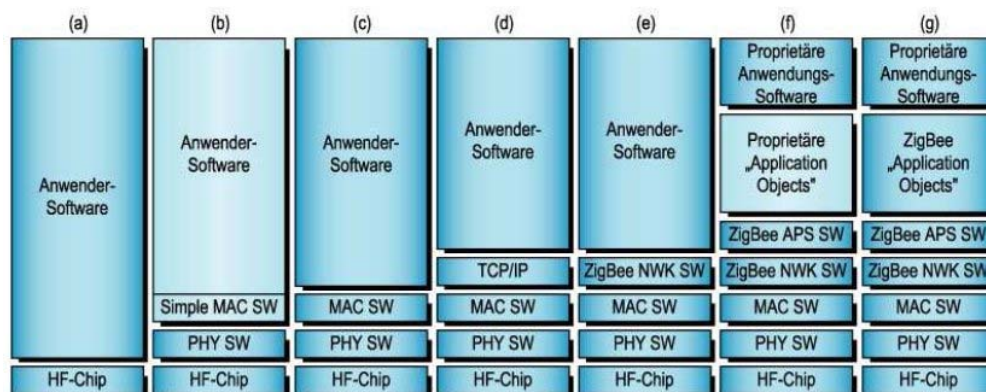


Abb. 12 : Implementierungsmöglichkeiten auf dem ZigBee-Protokollstapel

In diesem Projekt wird schlussendlich die Implementierungsmöglichkeit (c) angewandt (👉 Kapitel 4.3).



4.1.4 FRAME-STRUKTUR

Hier wird der Frameaufbau bzw. die Frame-Struktur der Schichten NWK, MAC und PHY des ZigBee-Protokollstapels kurz betrachtet.

NWK-Layer

Auf Network-Ebene stehen zwei verschiedene Rahmenarten zur Verfügung:

- Data
- NWK-Command

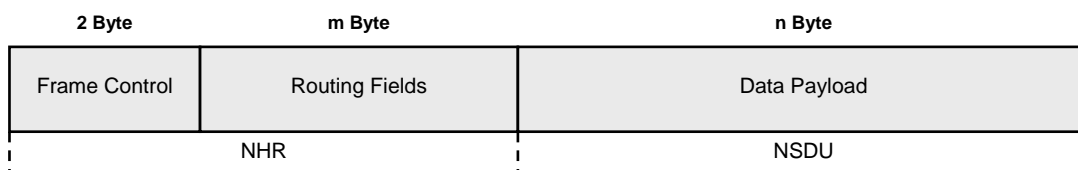


Abb. 13 : Daten-Rahmen auf NWK-Layer-Ebene

Die Daten-Rahmen beinhalten die Daten auf NWK-Ebene oder den Rahmen-Inhalt der höheren Ebene.

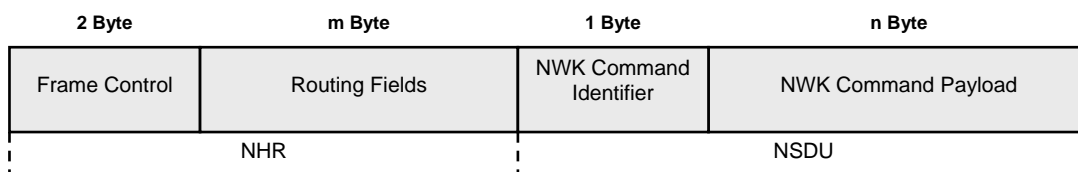


Abb. 14 : NWK-Command-Rahmen auf NWK-Layer-Ebene

Die NWK-Command-Rahmen erlauben eine Realisierung einer zentralisierten Verwaltung eines Netzwerks.

☐ Ein detaillierterer Beschrieb zu den einzelnen Rahmenstrukturen ist in [02] nachzulesen.

MAC-Layer

Auf MAC Ebene stehen vier verschiedene Rahmenarten zur Verfügung:

- Beacon
- Data
- ACK
- MAC-Command

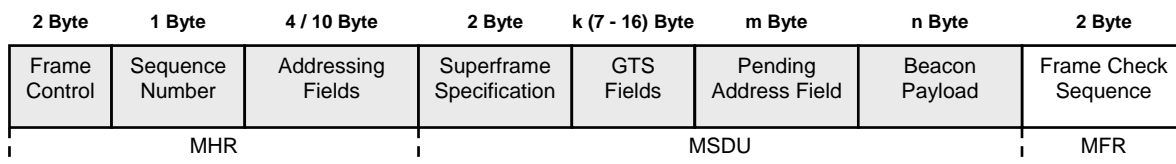


Abb. 15 : Beacon-Rahmen auf MAC-Layer-Ebene

Die Beacon-Rahmen erlauben die Synchronisation der Netzteilnehmer.

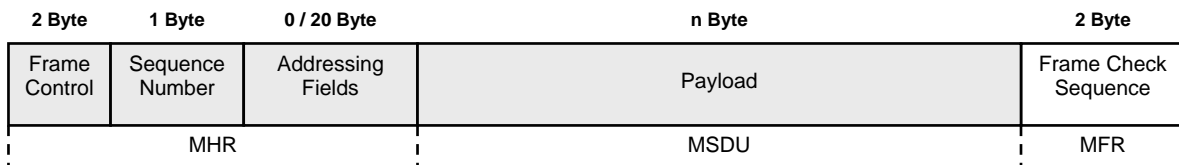


Abb. 16 : Daten-Rahmen auf MAC-Layer-Ebene

Die Daten-Rahmen beinhalten die Daten auf MAC-Ebene oder den Rahmen-Inhalt der höheren Ebene.

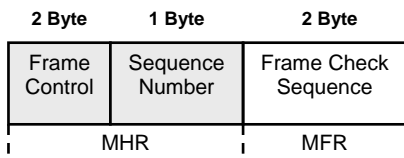


Abb. 17 : Acknowledge-Rahmen auf MAC-Layer-Ebene

Die Acknowledge-Rahmen melden den erfolgreichen oder fehlerhaften Empfang eines Datenpakets an den Sender zurück.

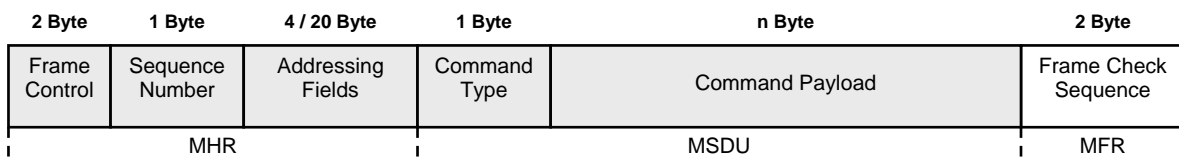


Abb. 18 : MAC-Command-Rahmen auf MAC-Layer-Ebene

Die MAC-Command-Rahmen stellen einen Mechanismus zur Steuerung und Konfiguration von Knoten zur Verfügung. Darüber hinaus erlauben die Beacon-Rahmen eine zusätzliche Erweiterung der Netzfunktionalität.

Ein detaillierterer Beschrieb zu den einzelnen Rahmenstrukturen ist in [01] nachzulesen.

PHY-Layer

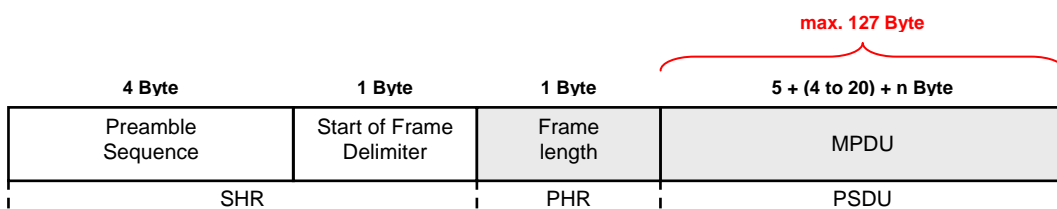


Abb. 19 : Rahmen auf PHY-Layer-Ebene

Der PHY-Layer-Rahmen ergänzt den zu übertragenden MAC-Layer-Rahmen um layerbezogene Steuerinformationen. D.h. der MAC-Layer-Rahmen wird mit einem Synchronisations-Header ergänzt, der, wie auch bei drahtgebundenen Systemen, die Synchronisation des Empfängertakts auf den Sendetakt ermöglicht. Des Weiteren wird noch die Länge des MAC-Layer-Rahmens hinzugefügt. Die maximale Grösse auf MAC-Ebene beträgt 127 Bytes, jedoch definiert ZigBee darüber hinaus auch die Möglichkeit grössere Pakete fragmentiert zu versenden.

Ein detaillierterer Beschrieb zu den einzelnen Rahmenstrukturen ist in [01] nachzulesen.



4.2 DESIGN DES HARDWAREMODULES

Wie bereits weiter oben in diesem Dokument erwähnt, wurde das Hardwaremodule während einer früheren Projektarbeit erstellt.

Zu Beginn der Arbeit stand die Revision 2 der Hardwareplatine bereit - die Revision 3 war gerade in Bearbeitung. Der Unterschied dieser beiden Revisionen liegt aber nur beim Speisungsteil der Schaltung. Revision 3 kann nun mit Batterien betrieben werden.

Anmerkung: Die Revision 1 wurde nur zur Entwicklung des Algorithmus für die Erkennung eines Fahrzeugs benutzt. Der RF-Teil wurde aber hier nicht implementiert, da bei der Entwicklung des Algorithmus schon erste „notwendige“ Verbesserungen erkannt wurden.

4.2.1 DIE PLATINE

Hier wird die Platine (Revision 3) aufgezeigt und die wichtigsten Komponenten darauf erläutert:

Vorderansicht

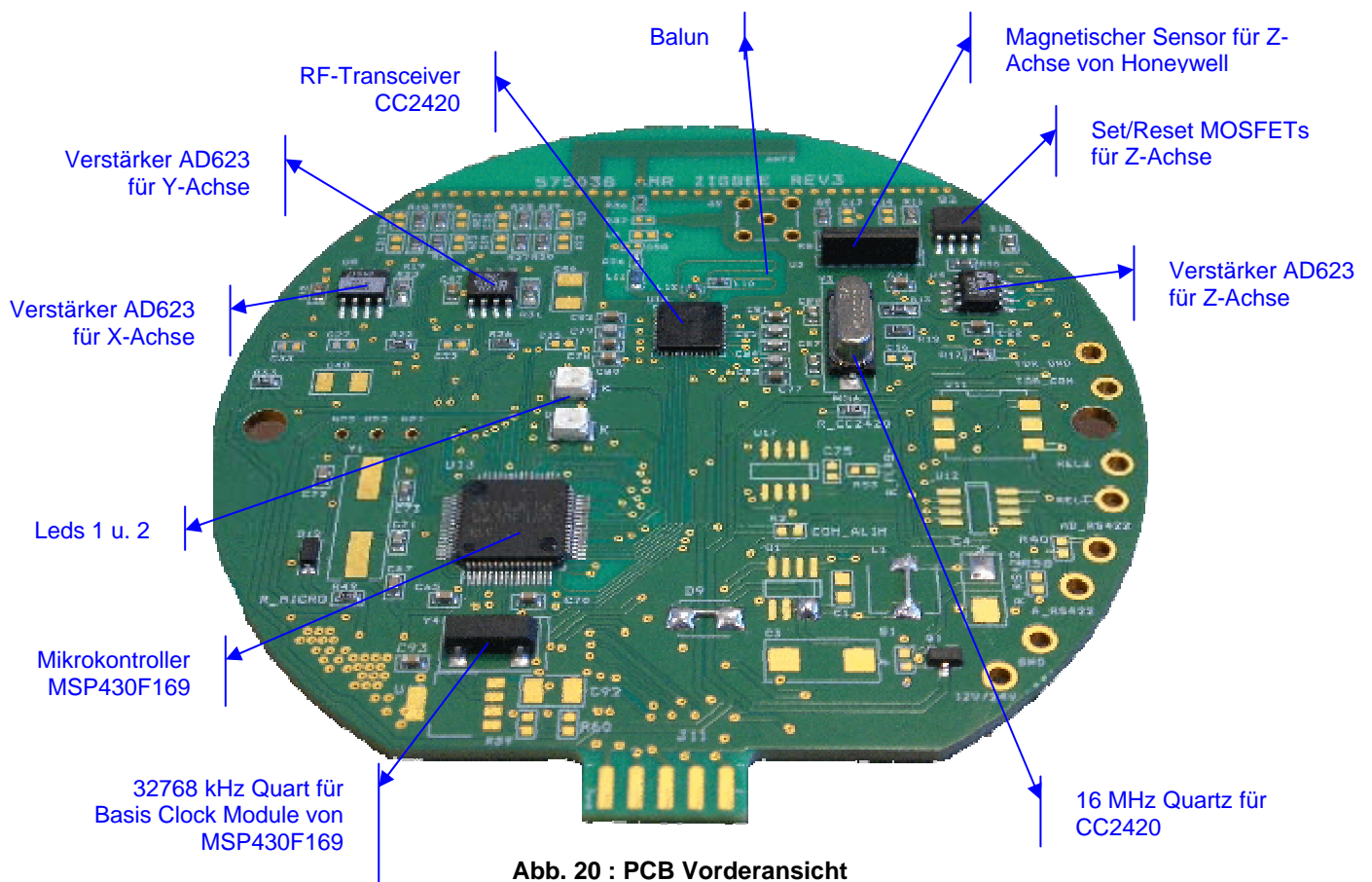


Abb. 20 : PCB Vorderansicht



Hinteransicht

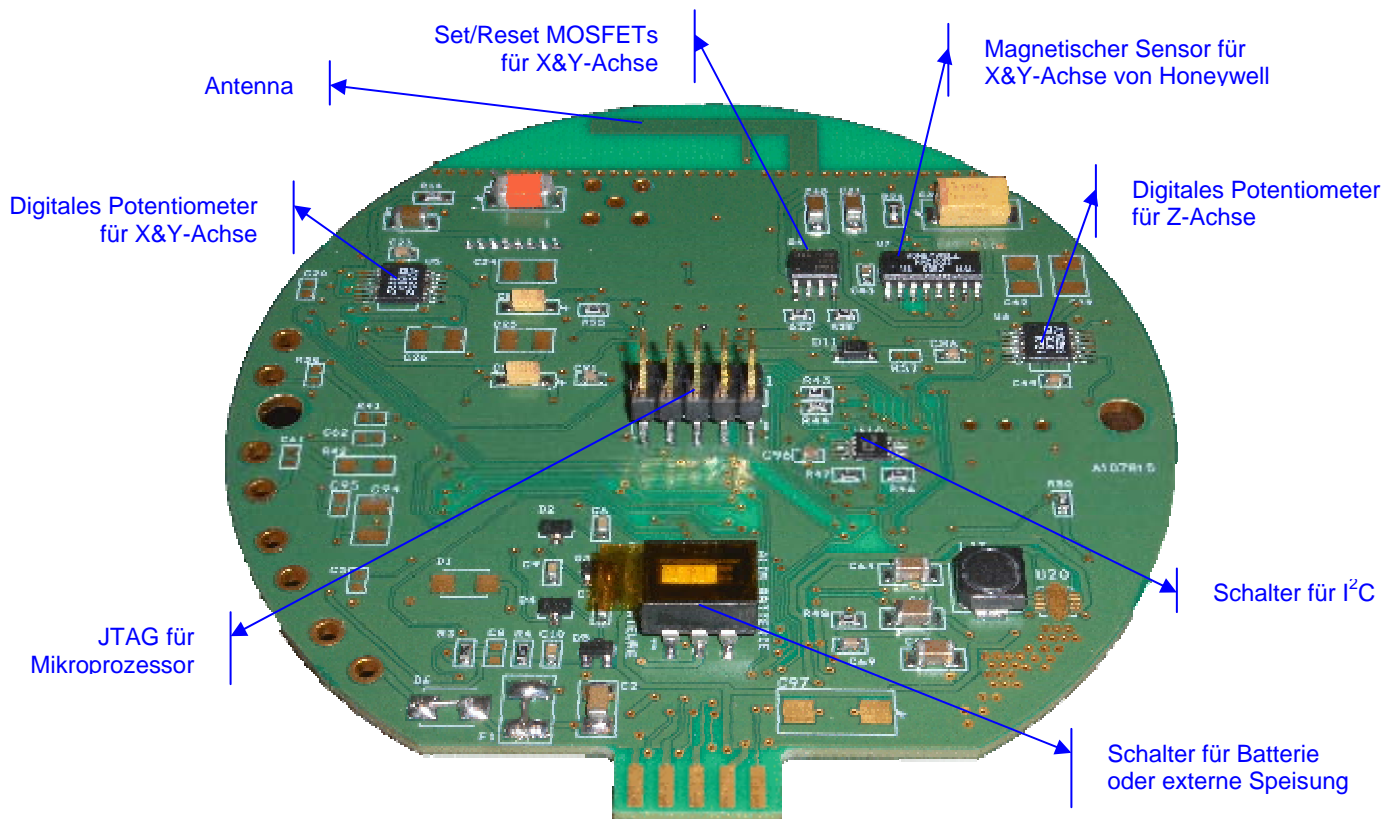


Abb. 21 : PCB Hinteransicht

4.2.2 DAS SCHEMA

Um eine gute Software-Anwendung zu schreiben, ist es nötig die allgemeine Funktionsweise der Hardware zu verstehen.

Daher zeigt dieser Abschnitt die wichtigsten Teile des Hardwareschemas auf und erklärt die allgemeine Funktionsweise.

A) Partie RF

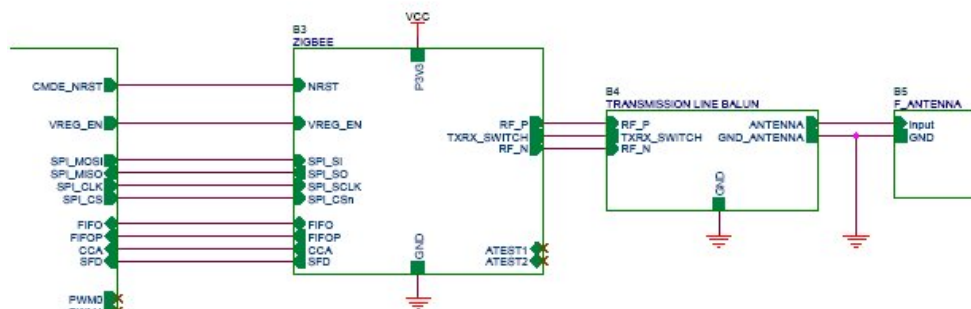


Abb. 22 : Partie RF des Elektroschemas

Der RF-Transceiver CC2420 von Chipcon [05] kommuniziert mit dem Mikrokontroller MSP430F169 [03] [04] von Texas Instruments grundsätzlich mittels SPI-Bus.



Der CC2420 hat zwei FIFO-Buffer mit einer Grösse von 128 Bytes. Einer ist für den Empfang (RXFIFO) und der andere für den Versand (TXFIFO) von ZigBee-Paketen vorgesehen. Der Inhalt des TXFIFO wird über ein Balun (Anhang 1) zur Antenne zum Versand gesendet. Empfängt der CC2420 ein gültiges ZigBee-Paket, so legt er es in den RXFIFO und indiziert dem Mikrokontroller über die Pins (Flags) FIFO, FIFOP, CCA und SFD diesen Empfang. So weiss der Mikrokontroller, dass er über den SPI-Bus den RXFIFO auslesen muss.

Mittels Pin VREG_EN kann der CC2420 ausgeschaltet werden. Um eine möglichst geringe Energiekonsumation zu haben ist es zwingend den CC2420 während Sendepausen auszuschalten.

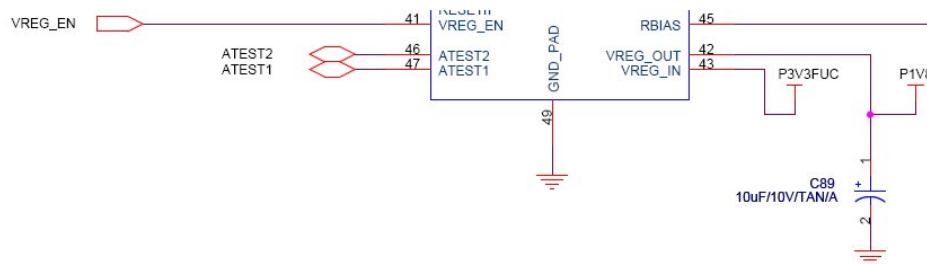


Abb. 23 : Speisung vom RF-Transceiver CC2420

Über den Pin VREG_IN wird der CC2420 mit 3.3 Volt gespeisen. Der CC2420 transformiert dann diese Spannung von 3.3 Volt in eine Spannung von 1.8 Volt um und gibt diese an Pin VREG_OUT aus. Dies aber nur, wenn der Pin VREG_EN aktiv ist. Ansonsten wird an VREG_OUT keine Spannung ausgegeben. Dies ist dann gleichbedeutend mit der Abschaltung von CC2420, denn die Ausgangsspannung an VREG_OUT betreibt den CC2420.

Das detaillierte Elektroschema zum Studium des gesamten Ablaufs ist im Anhang 2 beigelegt. Die Beschreibung zum CC2420 ist in [05] nachlesbar.

B) Partie Magnetsensoren

Das folgende Schema zeigt die Funktionsweise der Magnetsensoren auf. Das Prinzip ist für beide Sensoren, d.h. für den Sensor für die Z-Achse, sowie wie für den 2-Achsen-Sensor für die X- und Y-Achse, das Selbe.

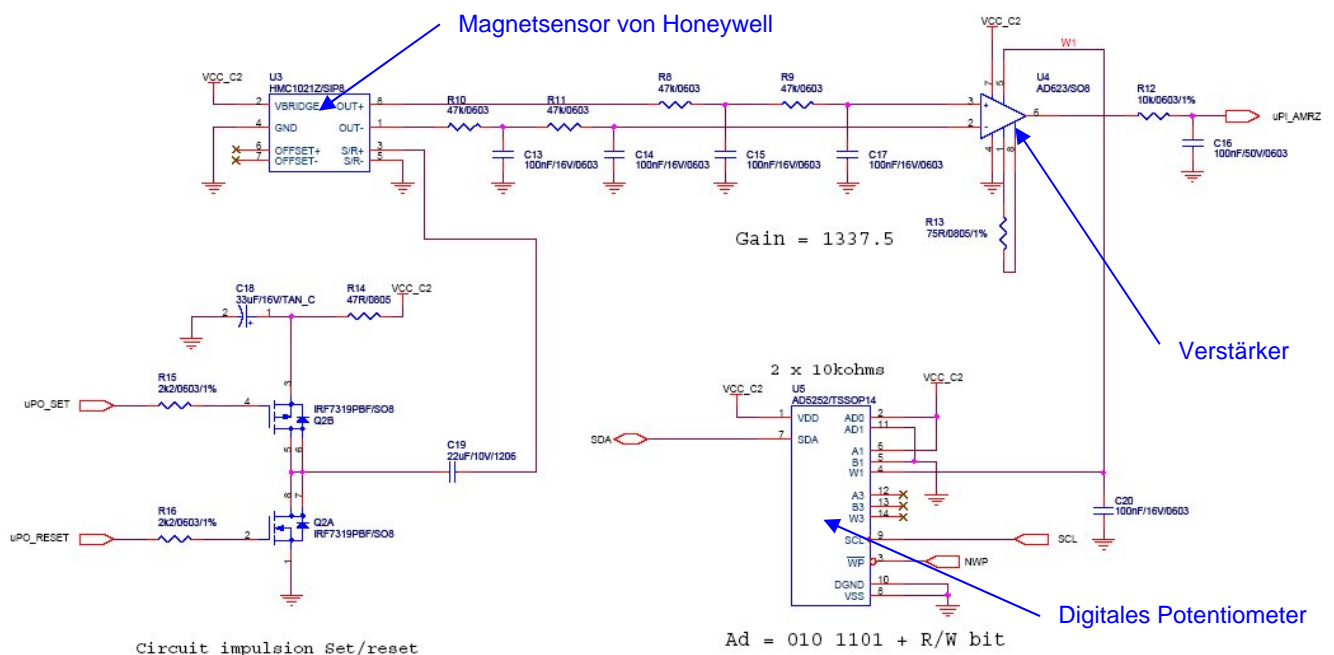


Abb. 24 : Magnetsensor-Partie des Elektroschemas



Der Magnetsensor von Honeywell (<http://www.honeywell.com>) misst beim Erhalt einer Betriebsspannung das Magnetfeld in seiner unmittelbaren Umgebung und gibt es in Form einer analogen Spannung an seinen Pins $OUT+$ und $OUT-$ aus.

Da dieser Spannungswert sich im Millivolt-Bereich befindet, wird er mittels Verstärker verstärkt, so dass eine Spannung im Volt-Bereich erzielt wird. Die verstärkte Ausgangsspannung am Verstärker wird dann für die Verarbeitung bzw. Kalkulation des Erkennungsalgorithmus der Fahrzeuge benutzt. Mittels Analog-Digital Konverter (ADC) konvertiert der Mikrokontroller dieses Signal in einen digitalen Wert um, der den aktuellen Wert des Magnetfeldes indiziert.

Der Verstärker wird mit einem Offset versehen, welcher von einem digitalen Potentiometer bestimmt wird. Das Potentiometer wird so eingestellt, dass der Offset für den Verstärker so eingestellt ist, dass das verstärkte Sensorsignal schlussendlich bei einem „ruhigen“ Umfeld, d.h. bei einem Umfeld ohne Fahrzeug in unmittelbarer Umgebung (Messbereich), schön in der Mitte des Spannungsbereichs liegt.

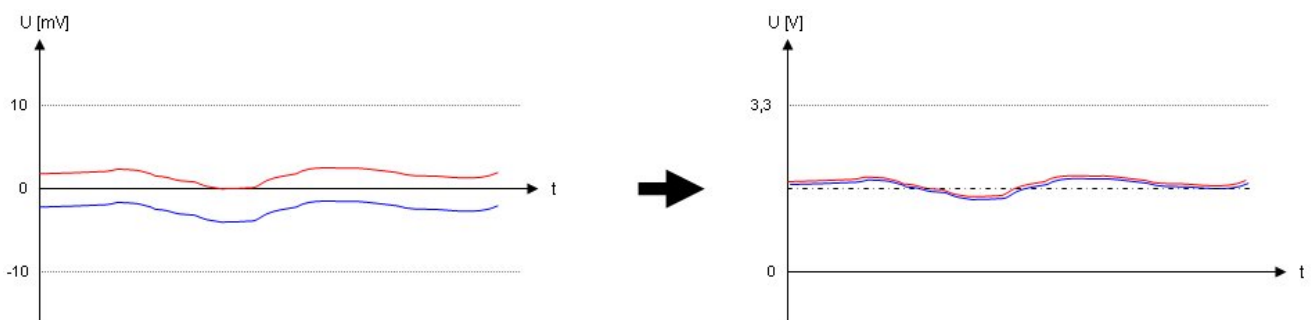


Abb. 25 : Verstärkung Sensorsignale

Das digitale Potentiometer wird über den I^2C -Bus konfiguriert.

Von Zeit zu Zeit ist es notwendig den Magnetsensor nachzustellen. Dies wird mit einem Set/Reset-Impuls gemacht. Mit einem Set-Impuls wird ein Stromimpuls in eine Richtung auf den Sensor geschickt. Mit dem Reset-Impuls wird dann auf die andere Richtung ein Stromimpuls geschickt. Dies hat zum Zweck, dass die Sensorelemente wieder geordnet ausgerichtet werden.

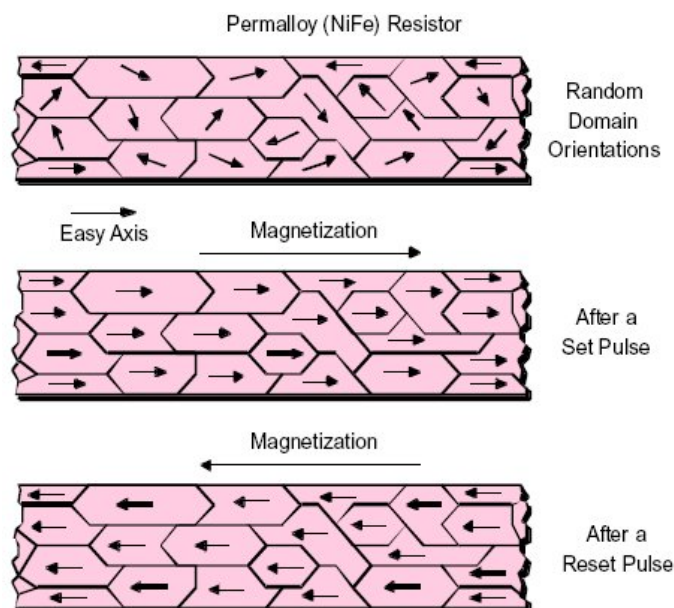


Abb. 26 : Set/Reset Vorgang des Magnetsensors

☐ Das detaillierte Elektroschema zum Studium des gesamten Ablaufs für beide Magnetsensoren ist im Anhang 2 beigelegt.



C) Ladungspumpe

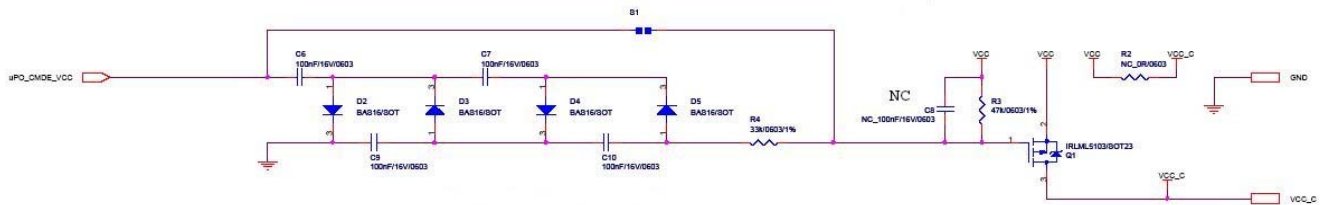


Abb. 27 : Ladungspumpe

Um einen möglichst geringen Energiekonsum zu gewährleisten, wurde eine Ladungspumpe hinzugefügt, die die Spannung für die Komponenten der Magnetsensoren liefert. Mittels PWM-Signal wird die Ladungspumpe „gefüttert“. Um die Komponenten der Magnetsensoren bei Nichtbenutzung auszuschalten, genügt es, das PWM-Signal zu unterbrechen.

D) I²C - Switch

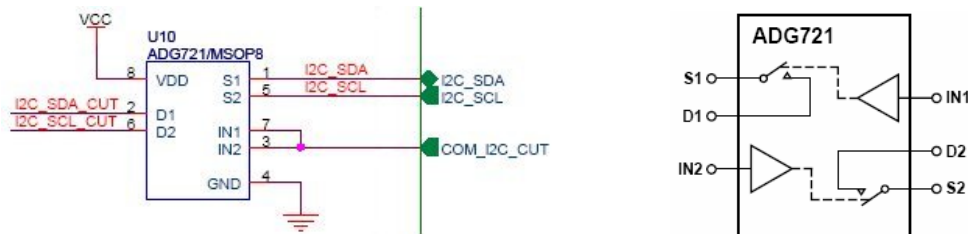


Abb. 29 : Switch für I²C-Signal

Um sicher zu gehen, damit das digitale Potentiometer bei dessen Ausschaltung auch wirklich ausgeschaltet wird und nicht über die I²C-Pins noch Kurzgeschlossen wird, wurde als reine Vorsichtsmaßnahme ein analoger Schalter zur Abklemmung der I²C-Signale eingebaut.

Über den Pin COM_I2C_CUT des Mikrokontrollers kann nun bestimmt werden, ob die I2C-Signale aktiv sind oder nicht. D.h. ob sie bis zu den Potentiometern durchkommen oder nicht.

E) Mikrokontroller

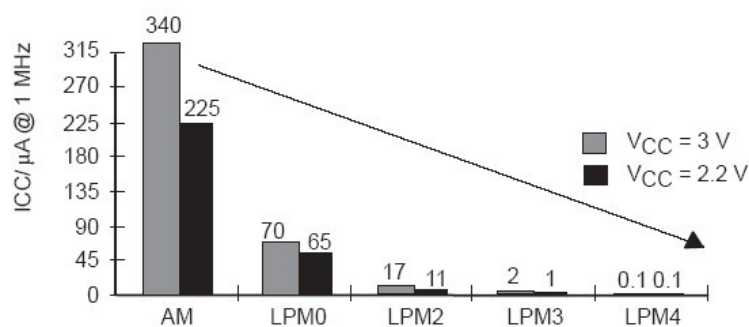


Abb. 28 : Betriebsmodi des Mikrokontrollers

Der Mikrokontroller eignet sich ausgezeichnet für Anwendung mit geringer Energiekonsumation, weil er in insgesamt sechs verschiedene Modi gesetzt werden kann. Neben dem Aktivmodus (AM) kann er in fünf verschiedene Low-Power-Modi (LPMx) geschaltet werden, damit weniger Energie verbraucht wird.

Für mehr Informationen siehe hierzu auch Kapitel 4.3 oder [03] und [04]



4.2.3 DIE INSTALLATION

Die Installation vor Ort sieht wie folgt aus:

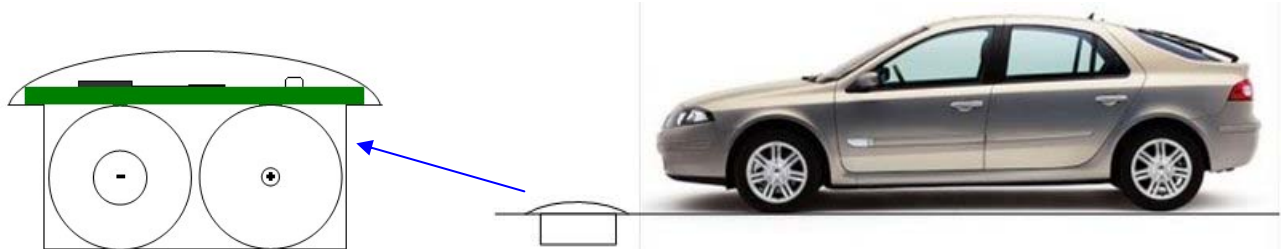


Abb. 29 : Installationsplan des Sensors

Bei jedem Parkplatz wird ein Loch in den Boden gemacht, um den CEP hineinzusetzen.

Der Aufbau sieht so aus, dass zu unterst zwei Batterien des Typs D (🌐 <http://www.varta.com>) platziert sind. Sie haben eine elektrische Ladung von 16,5 Ah. Darüber kommt die Hardwareplatine installiert und zu guter letzt wird das Ganze mit einem stabilen Deckel abgedeckt.



Abb. 30 : Installationsaufbau



4.3 SOFTWARE DESIGN

Der folgende Abschnitt dokumentiert die verschiedenen Aspekte der erstellten Software. Dies ist der grundlegende Teil dieser Diplomarbeit.

4.3.1 DER MIKROKONTROLLER MSP430F169

Wie weiter oben bereits mehrfach erwähnt wurde als Mikrokontroller der MSP430F169 von Texas Instruments eingesetzt. In diesem Abschnitt werden kurz die wichtigsten Eigenschaften dieses Mikrokontrollers erläutert.

Kenndaten

Als Kenndaten gibt es folgende Aspekte zu erwähnen:

- 16-Bit RISC CPU Architektur
- Tiefer Netzspannungsbereich : 1.8 V bis 3.6 V
- 6 Betriebsmodi mit geringer Energiekonsumation
- 2 serielle Kommunikationsschnittstellen
 - USART0
 - Asynchron* : *UART*
 - Synchron* : *I²C oder SPI*
 - USART1
 - Asynchron* : *UART*
 - Synchron* : *SPI*
- Flexibles Clock System
 - MCLK
 - SMCLK
 - ACLK
- 2 16-Bit Timer
 - Timer A
 - Timer B
- 12-Bit Analog-Digital Konverter
- 12-Bit Digital-Analog Konverter
- Watchdog Timer
- Flash Memory Kontroller
- DMA Kontroller
- Netzspannungsüberwachung
- 6 digitale I/O Ports
- Spannungsvergleicher
- ...



Betriebsmodi

Wie bereits erwähnt, hat der Mikroprozessor 6 verschiedene Betriebsmodi. Einen Aktiv Modus (AM) und fünf Low-Power-Modi (LPM0-4). Durch einen Interrupt-Event kann der Mikroprozessor vom Low-Power-Modus wieder in den Aktiv Modus zurückgeschaltet werden.

Folgend sind die verschiedenen Modi und deren Eigenschaften aufgeführt:

Active Mode (AM)	Low-Power Mode 0/1 (LPM0 u. LPM1)	Low-Power Mode 2 (LPM2)	Low-Power Mode 3 (LPM3)	Low-Power Mode 4 (LPM4)
Alle Clocks sind aktiv	<ul style="list-style-type: none"> - MCLK deaktiviert - SMCLK aktiv - ACLK aktiv (- DCO deaktiviert) 	<ul style="list-style-type: none"> - MCLK deaktiviert - SMCLK deaktiviert - ACLK aktiv - DCO aktiv 	<ul style="list-style-type: none"> - MCLK deaktiviert - SMCLK deaktiviert - ACLK aktiv - DCO deaktiviert 	<ul style="list-style-type: none"> - MCLK deaktiviert - SMCLK deaktiviert - ACLK deaktiviert - DCO deaktiviert - Oszillator gestoppt

Pinnbelegung

Die Belegung der einzelnen Pins des MSPF169 ist wie folgt definiert:

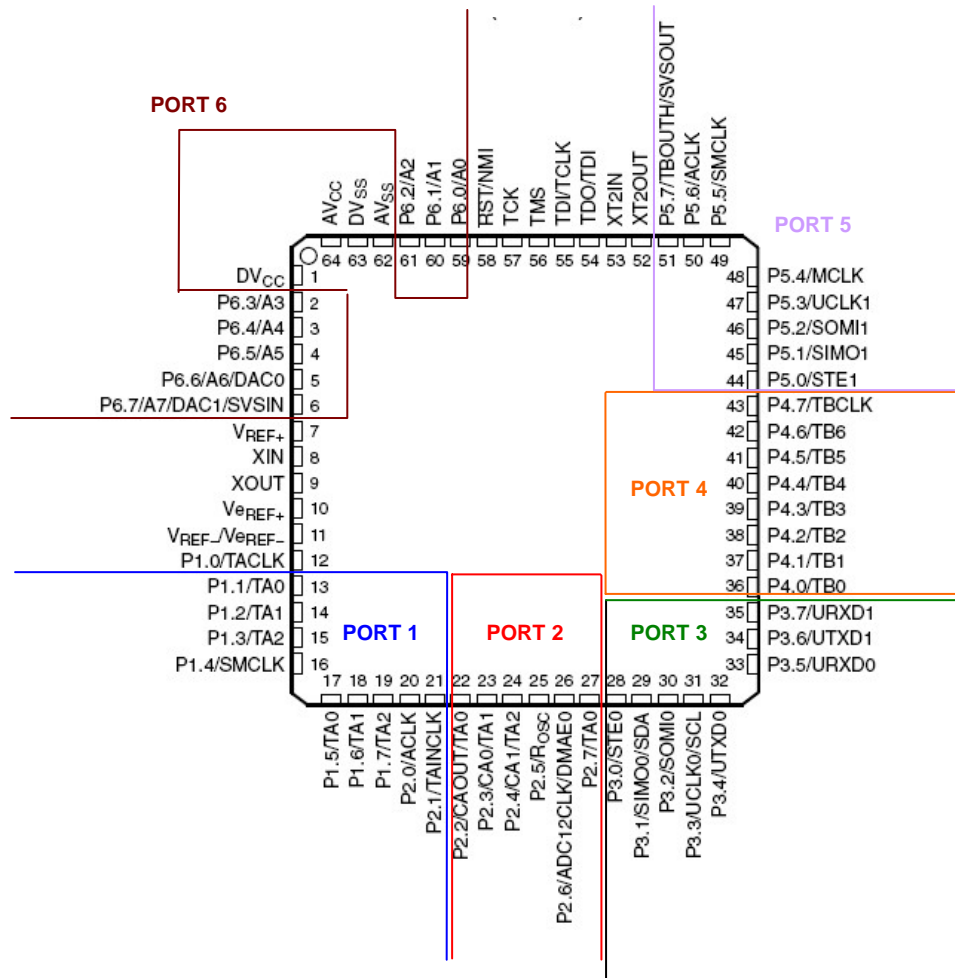


Abb. 31 : Pinnbelegung des MSP430F169

☐ Für die exakte Belegung der Hardwarekomponente siehe das Elektroschema im Anhang 2 oder für mehr Informationen betreffend Funktionalität siehe [03] und [04]



4.3.2 PROJEKTENTWICKLUNG

Die ursprüngliche Projektidee zu Beginn dieser Diplomarbeit war die folgende:

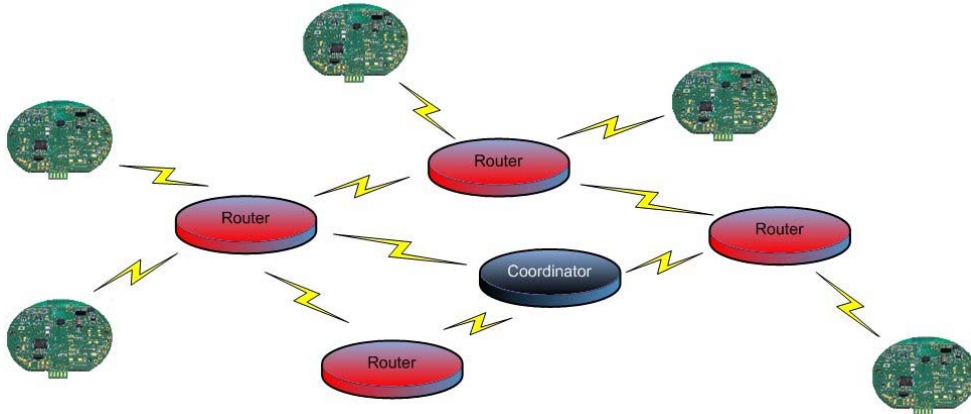


Abb. 32 : Idee der ursprünglichen Realisierungsform (ZigBee)

Der ZigBee Standard befindet sich aber zurzeit noch im Entwicklungsstadium und es ist daher relativ schwierig geeignete Komponenten zu finden. Online sind zwar einige Komponenten auffindbar, doch sind diese entweder noch gar nicht, nur im Asiatischen Raum oder nur in Amerika verfügbar. Beispielsweise hat sich ergeben, dass die „XBee Pro“-Module der Serie 1, welche in unserem Fall erstmals als Koordinator eingesetzt werden sollen, nur den Standard IEEE 802.15.4 unterstützen und erst ab Serie 2 auch den Standard ZigBee unterstützen würden. Leider sind die Serie 2 Modelle aber noch nicht erhältlich.

Des Weiteren wurde einige Zeit investiert, um nach bereits bestehenden ZigBee-Stacks zu suchen und gegebenenfalls diese zu implementieren. Es wurde von TI bereits ein spezifischer ZigBee-Stack erstellt, der für Mikroprozessoren des Typs MSP430F mit dem RF-Transceiver CC2420 gedacht ist. Die Anwendung/Anpassung dieses Stacks zu unserer Hardware erwies sich aber als unmöglich. Die Ressourcen des MSP430F169 sind zu klein in Anbetracht des kompilierten Stacks:

Gerätetyp	Grösse Flash	Grösse RAM	MSP430F169
Koordinator	50 kBytes	4.3 kByte	Flash : 60 kByte RAM : 2 kByte
Router	49 kBytes	4.3 kByte	
Endgerät	38 kBytes	3.6 kByte	

Weitere Stacks wurden analysiert, alle jedoch ohne gewünschtes Resultat.

Eine entsprechende Realisierung auf dem Standard ZigBee bedarf also zurzeit noch eines relativ grossen Zeitaufwands. Da aber diese entsprechende Zeit nicht zur Verfügung steht, wurde nun für eine erste Version die Idee der ursprünglichen Realisierungsform auf folgendes System vereinfacht:

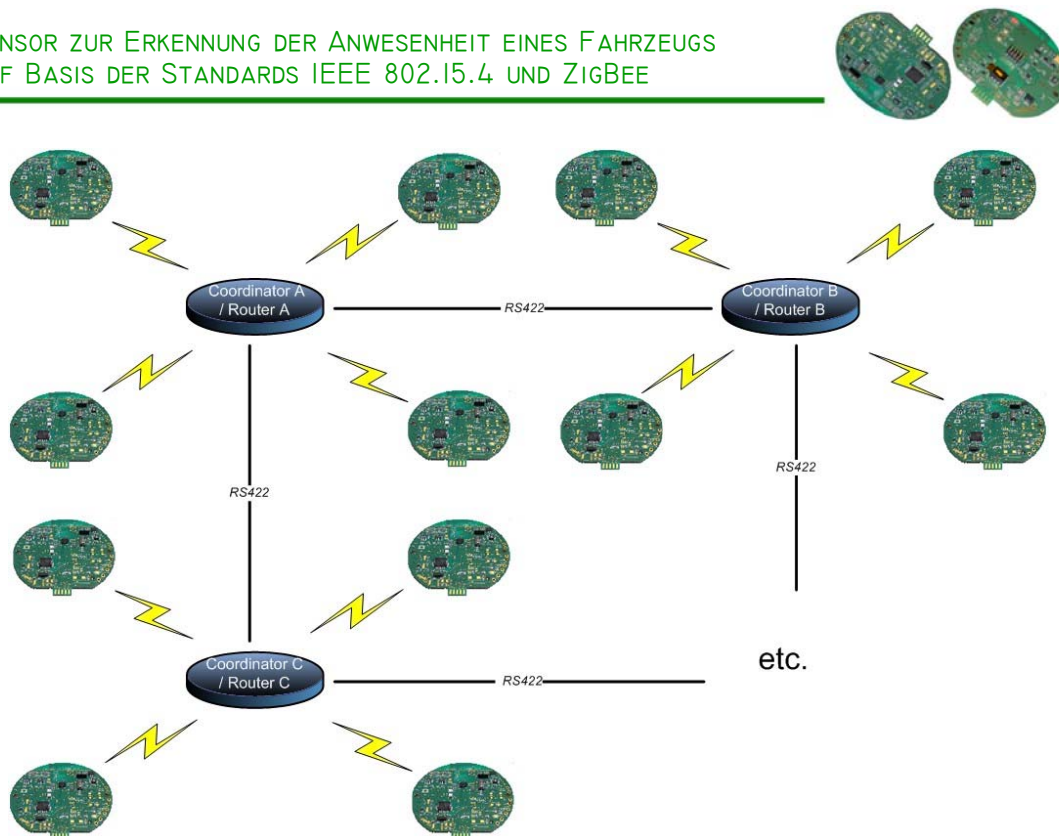


Abb. 32 : Idee der neuen Realisierungsform (IEEE 802.15.4)

4.3.3 KLASSEN

In diesem Abschnitt wird aufgezeigt, welche Klassen erzeugt oder übernommen wurden, um eine funktionsfähige Anwendung zu erreichen.

4.3.3.1 CLock

Hier wird die Klasse „clock“ genauer erklärt.

Beschrieb

Diese Klasse definiert das „Basic Clocking Sub-system“ für den MSP430. D.h. hier werden die Frequenzen der drei Clocks MCLK, SMCLK und ACLK definiert.

Die Clocks sollen auf folgende Frequenzen eingestellt werden:

MCLK : 4 MHz
SMCLK : 1 MHz
ACLK : 32768 kHz

Funktionen

- `void clock_init()`
(Initialisierung der Basic Clocks)

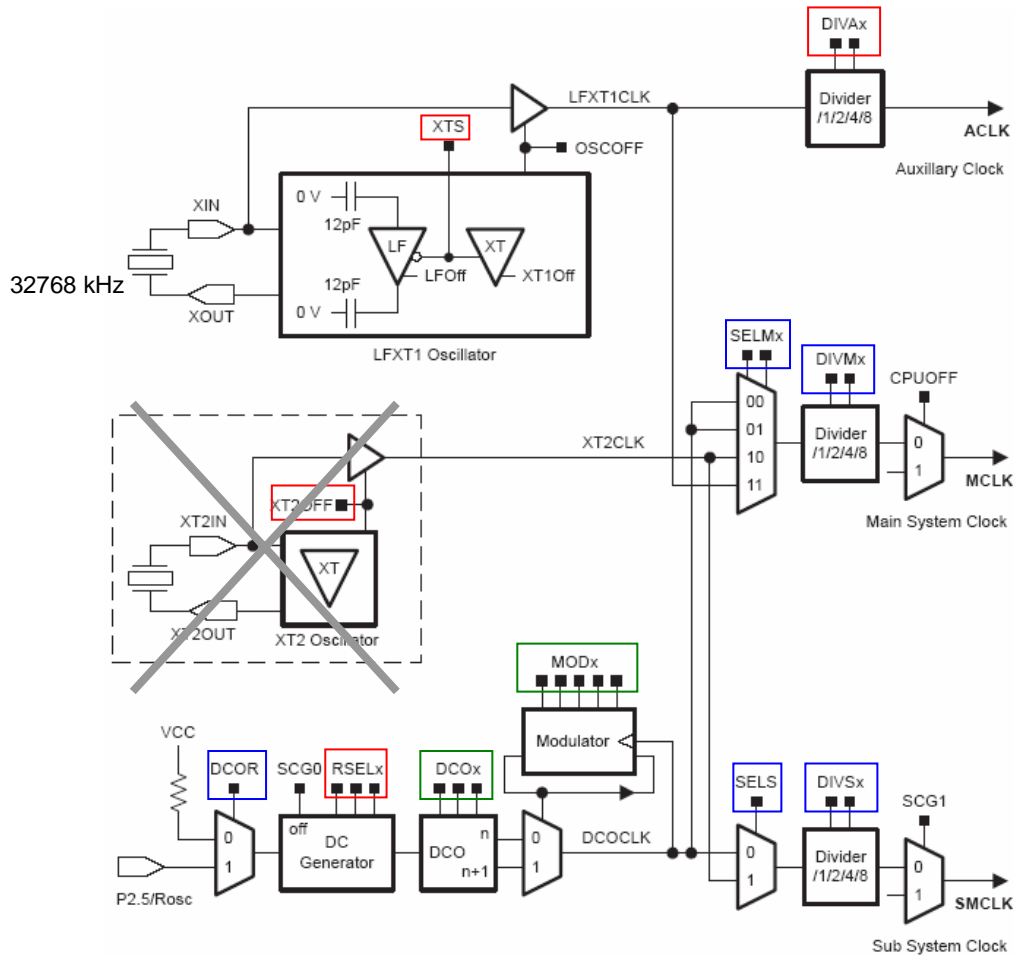


Abb. 33 : Basic Clock Blockdiagramm

DCOCTL =

7	6	5	4	3	2	1	0
DCOx				MODx			
rw-0	rw-1	rw-1	rw-0	rw-0	rw-0	rw-0	rw-0

$(DCO2 + DCO0 + MOD4 + MOD2)$

BCSCTL1 =

7	6	5	4	3	2	1	0
XT2OFF	XTS	DIVAx	XT5V	RSELx			
rw-(1)	rw-(0)	rw-(0)	rw-(0)	rw-0	rw-1	rw-0	rw-0

$(XT2OFF + RSEL2 + RSEL1 + RSEL0)$

BCSCTL2 =

7	6	5	4	3	2	1	0
SELMx		DIVMx		SELS	DIVSx		DCOR
rw-(0)	rw-(0)	rw-(0)	rw-(0)	rw-0	rw-0	rw-0	rw-0

$(0x04)$

☞ Für eine genauere Beschreibung der einzelnen Register des Basic Clock Moduls siehe [03]



4.3.3.2 SPI

Hier wird die Klasse „spi“ genauer erklärt.

Beschrieb

Diese Klasse verwaltet die SPI-Kommunikation zwischen dem Mikrokontroller und dem RF-Transceiver CC2420.

Anmerkung : Da für die digitalen Potentiometer der I2C-Bus benötigt wird und dieser nur auf der seriellen Kommunikationsschnittstelle USART0 zur Verfügung steht, wurde USART1 für die SPI Kommunikation gewählt.

Funktionen

- `void spi_init(void)`
(Initialisierung von SPI auf der seriellen Kommunikationsschnittstelle USART1)
- `void spi_send(char)`
(Versenden eines Charakters – Setzen eines Charakters auf den TX Buffer)
- `char spi_receive(void)`
(Lesen eines Charakters vom RX Buffer)

☐ Für eine genauere Beschreibung der einzelnen Register des USART1 siehe [03].

☐ Eine kurze Beschreibung zum SPI-Bus ist im Anhang 1 beigefügt.

4.3.3.3 CC2420

Hier wird die Klasse „cc2420“ genauer erklärt.

Beschrieb

Diese Klasse definiert die Schnittstelle zum RF-Transceiver CC2420 von Chipcon und ist aufbauend auf der Klasse „spi“ (☞ Kapitel 4.3.3.2).

Funktionen

- `void cc2420_init(void)`
(Initialisierung des Mikrokontrollers für die Nutzung des CC2420 RF-Transceivers)
- `void cc2420_set_reg(uint8_t addr, uint16_t data)`
(Schreiben von Daten in ein Register des CC2420)
- `uint16_t cc2420_get_reg(uint8_t addr)`
(Auslesen eines Registerinhalts des CC2420)
- `uint8_t cc2420_get_status(void)`
(Liest den aktuellen Status des CC2420)
- `void cc2420_write_fifo(uint8_t len, uint8_t * data)`
(Schreiben in den TX-Buffer – Versand eines RF-Datenpakets)
- `void cc2420_read_fifo(uint8_t len, uint8_t * data)`
(Lesen des RX-Buffers – Erhalt eines RF-Datenpakets)
- `void cc2420_strobe(uint8_t cmd)`
(Aufrufen eines Stroberegisters [Befehlsregister])



- `void cc2420_set_reg_ram(uint8_t addr, uint8_t len, uint16_t * data)`
(Schreiben in den RAM des CC2420)
- `void cc2420_get_reg_ram(uint8_t addr, uint8_t len, uint16_t * data)`
(Lesen vom RAM des CC2420)
- `interrupt(PORT1_VECTOR) port1_isr(void)`
(Interrupt für Erhalt eines RF-Datenpakets)

📖 Für eine genauere Beschreibung des CC2420 siehe [05]

4.3.3.4 RF2

Hier wird die Klasse „rf2“ genauer erklärt.

Beschrieb

Diese Klasse verwaltet die Nutzung des RF-Moduls über den CC2420 von Chipcon. Sie ist aufbauend auf der Klasse „cc2420“ (👉 Kapitel 4.3.3.3).

Funktionen

- `void rf2_init(void)`
(Initialisierung des CC2420 RF-Transceivers)
- `void rf2_power_on(void)`
(Einschalten des CC2420)
- `void rf2_power_off(void)`
(Ausschalten des CC2420)
- `void rf2_sleep(void)`
(CC2420 schlafen legen – Oszillator stoppen)
- `void rf2_idle(void)`
(CC2420 aufwecken – Oszillator starten)
- `uint8_t rf2_send(uint8_t len)`
(Schreiben von Daten in den RX Buffer des CC2420 – Senden eines RF-Rahmens)
- `void rf2_receive_on(void)`
(CC2420 in Empfangsmodus setzen)
- `void rf2_receive_off(void)`
(CC2420 von Empfangsmodus zurücksetzen)
- `static void rf2_set_channel(uint8_t channel)`
(Sendekanal (Frequenzband im 2.4 GHz - Bereich) wählen bzw. setzen)

📖 Für eine genauere Beschreibung der einzelnen Register des CC2420 siehe [05]

4.3.3.5 MAC_SEND

Hier wird die Klasse „mac_send“ genauer erklärt.

Beschrieb

Diese Klasse stellt die korrekten MAC-Layer Daten-Rahmen (nach IEEE 802.15.4 Standard) zusammen, um Daten über den RF-Transceiver zu versenden. Sie ist aufbauend auf der Klasse „rf“ (👉 Kapitel 4.3.3.4).



Funktionen

- `void mac_send(uint8_t event)`
(Sendet eine IEEE 802.15.4 MAC-Layer Daten-Rahmen über den CC2420 RF-Transceiver)
- `static void mac_send_set_state(uint8_t * buf)`
(Stellt ein Daten-Rahmen mit Parkplatz-Nummer und aktuellem Zustand zusammen)
- `static void mac_send_set_vizgraph(uint8_t buf, uint8_t x, uint8_t y, uint8_t z)`
(Stellt ein Daten-Rahmen mit Parkplatz-Nummer, aktuellem Zustand und den aktuellen Sensorwerten in x-, y- und z-Richtung zusammen)

☞ Für eine genauere Beschreibung der Zusammensetzung eines MAC-Layer Daten-Rahmens siehe [01]

4.3.3.6 RS232

Hier wird die Klasse „rs232“ genauer erklärt.

Beschrieb

Diese Klasse verwaltet die RS232 Kommunikation zwischen dem Mikrokontroller und einem externen seriellen Empfänger wie beispielsweise dem PC.

Anmerkung : Da die SPI Kommunikation schon über die serielle Kommunikationsschnittstelle USART1 läuft, wurde USART0 für die RS232 Kommunikation gewählt. Es gilt aber zu beachten, dass der I2C Bus für die Kommunikation mit den digitalen Potentiometern auch auf dem USART0 läuft und somit diese Schnittstelle geteilt werden muss.

Diese Klasse wurde übernommen und nach unserem Gebrauch abgeändert.

Funktionen

- `void rs232_init(void)`
(Initialisierung von RS232 auf der seriellen Kommunikationsschnittstelle USART0)
- `void rs232_putc(char c)`
(Versenden eines Charakters – Setzen eines Charakters auf den TX Buffer)
- `void rs232_printf(const char * fmt, ...)`
(Versenden einer Nachricht (Charakter-Array, String) in Anlehnung an die Methode „rs232_putc()“)
- `static void rs232_getEvent(void)`
(Kalkulierung und Ausführung eines Events aufgerufen durch einen Interrupt (Erhalt von Daten über RS232))
- `interrupt (USART0RX_VECTOR) rs232_isr(void)`
(Interrupt für Erhalt eines Charakter über RS232 (USART0))

☞ Für eine genauere Beschreibung der einzelnen Register des USART0 siehe [03]



4.3.3.7 VTXPRINTF

Hier wird die Klasse „vtxprintf“ genauer erklärt.

Beschrieb

Diese Klasse stellt eine abgespeckte Version der Funktion „printf()“ dar, welche in der Standard I/O (stdio.h) Bibliothek vorhanden ist. Sie ist speziell auf eingebettete Systeme zugeschnitten.

Anmerkung : *Diese Klasse wurde übernommen.*

Funktionen

- `void vtxprintf(void (* tx_char)(char), const char * fmt, va_list ap)`
(Stellt das gewünschte Ausgabeformat des Charakter-Arrays bzw. Strings zusammen)

4.3.3.8 RAVELFUNCLIB

Hier wird die Klasse „ravelfunclib“ genauer erklärt.

Beschrieb

Diese Klasse beinhaltet verschiedene Funktionen, die allgemein nützlich sind aber nicht einer konkreten Klasse zugehören.

Anmerkung : Die hier enthaltene Funktion ist für RS232-Ausgabetestzwecke erstellt worden.

Funktionen

- `uint8_t setAsciiToDecHexValue(uint8_t ascii)`
(Berechnet aus einem Ascii-Hexadezimalzahlenwert den hexadezimalen Wert im Dezimalformat)

4.3.3.9 PWM

Hier wird die Klasse „pwm“ genauer erklärt.

Beschrieb

Diese Klasse verwaltet die Steuerung bzw. Erzeugung eines PWM Signals, welches für die Ladungspumpe (👉 *Kapitel 4.2.2 C*) verwendet wird. Hierfür wird der Timer A des Mikrokontrollers beansprucht.

Funktionen

- `void pwm_on(void)`
(Startet die Erzeugung und Ausgabe eines PWM-Signals)
- `void pwm_off(void)`
(Stoppt die Ausgabe des PWM-Signals)

📖 *Für eine genauere Beschreibung der einzelnen Register des Timers A siehe [03]*



4.3.3.10 SLEEP

Hier wird die Klasse „sleep“ genauer erklärt.

Beschrieb

Diese Klasse stellt den Mikroprozessor in einen „Schlafmodus“. D.h. wird der Mikroprozessor nur minimal benutzt kann er in einen Low-Power-Modus (☞ *Kapitel 4.3.1*) gesetzt werden. Des Weiteren werden die einzelnen Pins und Ports zurückgesetzt, d.h. soweit als möglich als Inputs definiert, da sie so weniger Energie verbrauchen.

Funktionen

- `void sleep(void)`
(Setzt den Mikroprozessor in einen Modus wo er wenig Energie verbraucht)

4.3.3.11 I2C

Hier wird die Klasse „i2c“ genauer erklärt.

Beschrieb

Diese Klasse verwaltet die I2C Kommunikation zwischen dem Mikrokontroller und den digitalen Potentiometern und dem seriellen EEPROM.

Anmerkung : Eine I2C Kommunikation ist nur über die serielle Kommunikationsschnittstelle USART0 Möglich. Daher wurde USART0 gewählt.
Die RS232 Kommunikation benutzt aber ebenfalls den USART0, da der USART1 schon vom SPI besetzt wird. Diese Schnittstelle wird also zwischen I2C und RS232 geteilt.

Diese Klasse wurde übernommen und nach unserem Gebrauch abgeändert.

Funktionen

- `void i2c_init(void)`
(Initialisierung von I2C auf der seriellen Kommunikationsschnittstelle USART0)
- `void i2c_write(uint8_t addr, uint8_t n, ...)`
(Versenden von Charakteren über den I2C-Bus auf einen gewünschten Empfänger)

☞ Für eine genauere Beschreibung der einzelnen Register des USART0 siehe [03]

☞ Die genaue Definition ist in [06] nachzulesen



4.3.3.12 AMR_AUTOCONF

Hier wird die Klasse „amr_autoconf“ genauer erklärt.

Beschrieb

Diese Klasse ist für die Konfiguration des Offsets des Verstärkers für das Sensorsignal verantwortlich. Die digitalen Potentiometer werden mit verschiedenen Offsets versehen und so nach dem idealen Mittelwert der Ausgabe abgetastet. Einmal gefunden werden die Potentiometer mit diesem gefundenen Wert programmiert.

Anmerkung : *Diese Klasse wurde übernommen.*

Funktionen

- `void amr_autoconf(void)`
(Konfiguriert bzw. sucht und definiert das ideale Offset für die digitalen Potentiometer)
- `static void amr_scan_offset(void)`
(Durchläuft den Offsetbereich der Potentiometer zum Suchen des idealen Offsets)

☞ Für eine genauere Beschreibung der digitalen Potentiometer siehe [07]

4.3.3.13 AMR

Hier wird die Klasse „amr“ genauer erklärt.

Beschrieb

Diese Klasse verwaltet den Zugriff auf die Magnetsensoren bzw. die Analog-Digital Konverter.

Anmerkung : *Diese Klasse wurde übernommen.*

Funktionen

- `void amr_init(void)`
(Initialisiert den 12-Bit Analog-Digital Konverter zur Benutzung der Magnetsensoren)
- `void amr_set_x_ofs(uint8_t i)`
(Schreibt bzw. setzt einen Offsetwert auf das digitale Potentiometer für die x-Achse)
- `void amr_set_y_ofs(uint8_t i)`
(Schreibt bzw. setzt einen Offsetwert auf das digitale Potentiometer für die y-Achse)
- `void amr_set_z_ofs(uint8_t i)`
(Schreibt bzw. setzt einen Offsetwert auf das digitale Potentiometer für die z-Achse)
- `uint8_t amr_get_x_ofs(void)`
(Gibt den aktuellen Offsetwert des Potentiometers für die x-Achse zurück)
- `uint8_t amr_get_y_ofs(void)`
(Gibt den aktuellen Offsetwert des Potentiometers für die y-Achse zurück)
- `uint8_t amr_get_z_ofs(void)`
(Gibt den aktuellen Offsetwert des Potentiometers für die z-Achse zurück)
- `void amr_degauss(void)`
(Erzeugt eine Set/Reset-Impuls für die Magnetsensoren)



- `void amr_start(void)`
(Startet die Abtastung des Analog-Digital Konverters zum Erhalt der aktuellen Werte in Anlehnung an den Timer B des Mikrokontrollers)
- `void amr_stop(void)`
(Stoppt die Abtastung des Analog-Digital Konverters – Ausschaltung Timer B)
- `interrupt (TIMERB0_VECTOR) timerb_isr(void)`
(Interrupt bei Überlauf des Timers B)
- `interrupt (ADC12_VECTOR) adc12_isr(void)`
(Interrupt des Analog-Digital Konverters - Konvertierung des analogen Signals)

☞ Für eine genauere Beschreibung des Analog-Digital Konverters siehe [03]

4.3.3.14 CZAME

Hier wird die Klasse „czame“ genauer erklärt.

Beschrieb

Diese Klasse stellt den Algorithmus dar, der aus den Abtastwerten des Analog-Digital Konverters die Präsenz eines Fahrzeugs berechnet.

Oberflächlich und einfach erklärt, stützt sich dieser Algorithmus auf zwei Parameter. Der erste wird durch die Geschwindigkeit der Signaländerung definiert und der zweite stützt sich auf das Integral des Signals. Je steiler die Signaländerung und je grösser das Integral sind, desto schneller indiziert der Algorithmus dass ein Fahrzeug präsent ist.
Eine Callback-Funktion zeigt dann eine berechnete Zustandsänderung an.

Anmerkung : *Diese Klasse wurde übernommen.*

Funktionen

- `void czame_config(const char * str)`
(Initialisiert die Parameter (Zeichenkette) des Algorithmus)
- `void czame_init(uint8_t i)`
(Initialisation der Variablen des Algorithmus)
- `void czame_play(uint16_t x, uint16_t y, uint16_t z)`
(Fütterung des Algorithmus mit Zustandswerten)
- `static void clear(uint8_t * tgt)`
(Initialisierung bzw. Rücksetzung des Zustandvektors bzw. -arrays)
- `static void copy(uint8_t * tgt, const uint8_t * src)`
(Führt eine Kopie des Zustandvektors bzw. -arrays durch)
- `static void forward(uint8_t * s, const uint8_t * e, uint8_t obsrv)`
(Zustandsänderung vorwärts in Zustand „vielleicht ein Fahrzeug“)
- `static void backward(const uint8_t *e, uint8_t best)`
(Zustandsänderung rückwärts in Zustand „vielleicht ein Fahrzeug“)
- `static void viterbi(uint8_t obsrv)`
(Wiederherstellung des wahrscheinlichsten Zustands)
- `static uint16_t isqrt(uint32_t x)`
(Berechnung der Quadratwurzel)
- `static uint16_t length(uint16_t x, uint16_t y, uint16_t z)`
(Berechnung der Norm eines Vektors)



4.3.3.15 VARIABLES

Hier wird die Klasse „variables“ genauer erklärt.

Beschrieb

Diese Klasse beinhaltet keine Funktionen. Hier werden alle globalen Variablen definiert und initialisiert.

Funktionen

- keine
(-)

4.3.3.16 DEFINITIONS

Hier wird die Klasse „definitions“ genauer erklärt.

Beschrieb

Diese Klasse beinhaltet keine Funktionen. Hier werden alle globalen Definitionen und Makros definiert.

Funktionen

- keine
(-)

4.3.3.17 MAIN

Hier wird die Klasse „main“ genauer erklärt.

Beschrieb

Diese Klasse ist die Hauptklasse der gesamten Anwendung. Von hier aus wird alles initialisiert und gesteuert.

Funktionen

- `int main(void)`
(Main-Funktion : Leitfaden der Anwendung)
- `void init_uc(void)`
(Initialisierung des Mikrokontrollers)
- `void notify(uint16_t report)`
(Callback-Funktion des Fahrzeugerkennungsalgorithmus)

📄 *Der gesamte Quellcode ist im Anhang 3 als Quellcode beigelegt.*



4.3.4 VERSIONEN

Es wurde eine Anwendung für die vorhandene Hardware für folgende drei Typen erstellt:

- Koordinator
- Router
- Endgerät

Endgerät (Sender)

Das Endgerät ist die eigentliche Hauptaufgabe.

Seine Aufgaben sind die Abtastung des Magnetfelds der Umgebung, die Berechnung der Präsenz eines Fahrzeugs mittels dieser Abtastwerte und schlussendlich der Versand des aktuellen Zustands via ZigBee-Rahmen an einen Koordinator/Router.

Folgende Klassen wurden für die Umsetzung dieser Version benutzt:

- amr (👉 *Kapitel 4.3.3.13*)
- amr_autoconf (👉 *Kapitel 4.3.3.12*)
- cc2420 (👉 *Kapitel 4.3.3.3*)
- clock (👉 *Kapitel 4.3.3.1*)
- czame (👉 *Kapitel 4.3.3.14*)
- definitions (👉 *Kapitel 4.3.3.16*)
- i2c (👉 *Kapitel 4.3.3.11*)
- mac_send (👉 *Kapitel 4.3.3.5*)
- main (👉 *Kapitel 4.3.3.17*)
- pwm (👉 *Kapitel 4.3.3.9*)
- rf2 (👉 *Kapitel 4.3.3.4*)
- sleep (👉 *Kapitel 4.3.3.10*)
- spi (👉 *Kapitel 4.3.3.2*)
- variables (👉 *Kapitel 4.3.3.15*)

Koordinator (Empfänger)

Der Koordinator wurde für Testzwecke erstellt und ersetzt/unterstützt das eingekaufte Modul XBee Pro von Maxstream Serie 1.

Seine Aufgabe ist der Empfang der ZigBee-Rahmen der Endgeräte und Router und die anschließende Ausgabe dieser Daten über die RS232-Schnittstelle an einen PC. Der Koordinator wurde aber nicht auf einen geringen Energieverbrauch konzipiert.

Folgende Klassen wurden für die Umsetzung dieser Version benutzt:

- cc2420 (👉 *Kapitel 4.3.3.3*)
- definitions (👉 *Kapitel 4.3.3.16*)
- main (👉 *Kapitel 4.3.3.17*)
- ravelfunclib (👉 *Kapitel 4.3.3.8*)
- rf2 (👉 *Kapitel 4.3.3.4*)
- rs232 (👉 *Kapitel 4.3.3.6*)
- spi (👉 *Kapitel 4.3.3.2*)
- variables (👉 *Kapitel 4.3.3.15*)
- vtxprintf (👉 *Kapitel 4.3.3.7*)



Router

Der Router wurde anschliessend für weitere Testzwecke erstellt.

Seine Aufgabe ist ebenfalls der Empfang der ZigBee-Rahmen der Endgeräte und Router, doch dieser gibt die empfangenen Daten anschliessend nicht per RS232 aus, sondern schickt sie in einem neuen ZigBee-Rahmen an den Koordinator weiter. Seine Aufgabe ist also die Weiterleitung von ZigBee-Rahmen. So wird die Reichweite zwischen Endgerät und Router erhöht. Der Router wurde ebenfalls nicht auf einen geringen Energieverbrauch konzipiert.

Folgende Klassen wurden für die Umsetzung dieser Version benutzt:

- cc2420 (👉 *Kapitel 4.3.3.3*)
- definitions (👉 *Kapitel 4.3.3.16*)
- mac_send (👉 *Kapitel 4.3.3.5*)
- main (👉 *Kapitel 4.3.3.17*)
- rf2 (👉 *Kapitel 4.3.3.4*)
- spi (👉 *Kapitel 4.3.3.2*)
- variables (👉 *Kapitel 4.3.3.15*)



5. VALIDIERUNG UND TESTS

Dieser Abschnitt widmet sich der Validation der Anwendungen anhand einiger Tests und Versuchen.

5.1 TESTPROGRAMM

Eigens Testzwecken wurde mit dem Programm „C Sharp“ ein Testprogramm geschrieben, welches eine einfache Anzeige der aktuellen Sensor und Zustandswerte ausgibt.

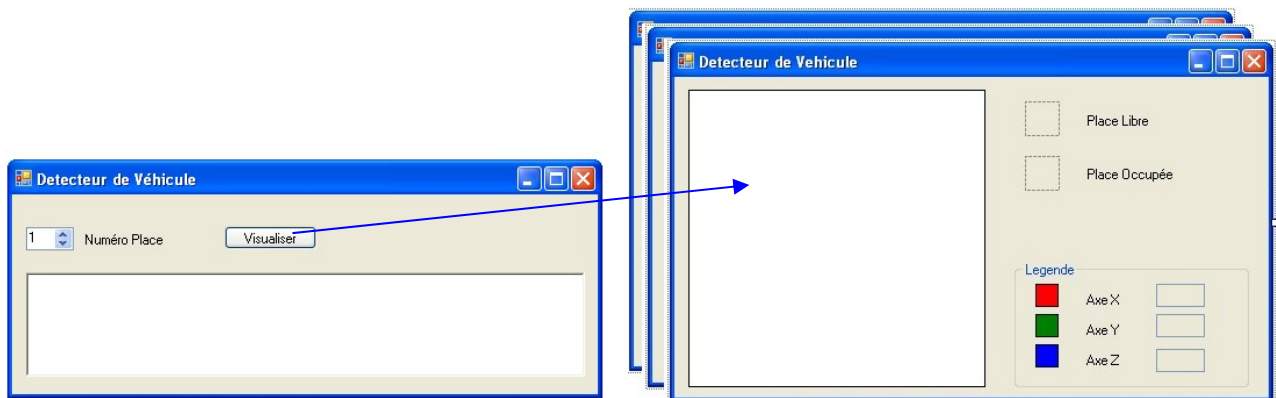
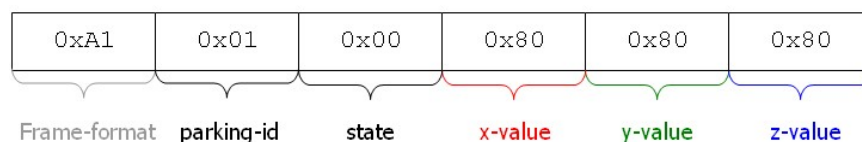


Abb. 35 : Grafische Oberfläche des Testprogramms (Version 3)

Dieses Testprogramm wird mit den Ausgabewerten des Koordinators mittels einer RS232 Verbindung gefüttert. Die RS232-Datenpakete wurden wie folgt definiert:



Beschreibung

Frame-format :	Zeigt den Start eines neuen Rahmens an	[konstanter Wert : 0xA1]
Parking-id :	Parkplatz Nummer	[0 - 255]
State :	Aktueller Zustand	[0 : frei - 1 : besetzt]
x-value :	Sensorwert der X-Achse	[0 - 255]
y-value :	Sensorwert der Y-Achse	[0 - 255]
z-value :	Sensorwert der Z-Achse	[0 - 255]
		} Reset-Wert 128

Abb. 36 : RS232-Testprotokoll

Der grosse Vorteil dieses Testprogramms ist seine Reichweite. Es kann einerseits der Koordinator getestet werden, d.h. ob er alle Datenpaket erhält und diese dann auch richtig ausgibt. Es können die Sensoren getestet werden. Die aktuellen Sensorwerte werden grafisch angezeigt und man erkennt relativ schnell Kuriositäten.

Wie in Abbildung 35 ersichtlich ist, besteht das Testprogramm aus 2 Hauptfenstern. Das kleinere Fenster (links) zeigt in einer Liste die aufgetretenen Zustandsänderungen auf, wie ein Log-File. Hier kann für jeden Sensor ein separates Ausgabefenster (rechts) erzeugt werden, indem die Sensornummer gewählt wird und auf den Knopf „Visualiser“ gedrückt wird.



5.2 PRAKTISCHE TESTS

Die Tests in einer praktischen Umgebung wurden auf zwei verschiedene Arten ausgeführt.

- Simulation mittels magnetischer Komponenten im Labor
- Echtzeit-Simulation auf verschiedenen vorhandenen Parkplätzen

A) Simulation mittels magnetischer Komponenten im Labor

Bevor man sich an Echtzeit-Simulationen in wirklichen Einsatzgebieten vorwagt, bedarf es zuerst einer gründlichen Austestung der gesamten Anwendung im Labor bzw. beim Arbeitsplatz.

Schema

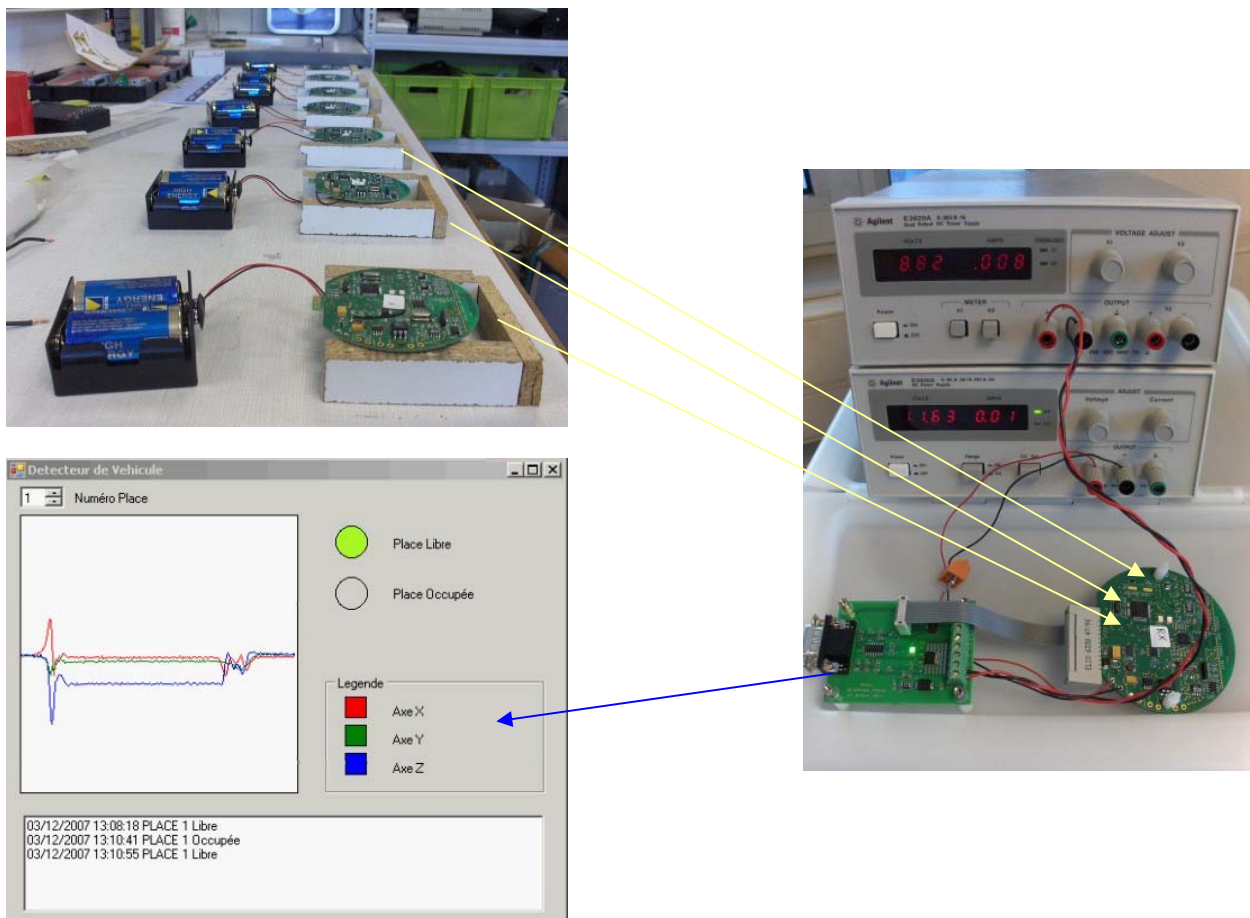


Abb. 37 : Aufbauschema Tests im Labor

Die einzelnen Endgeräte wurden im Labor aufgebaut und initialisiert. Damit die Initialisierung (Klasse `amr_autoconf` (👉 Kapitel 4.3.3.12)) korrekt durchgeführt werden kann, muss die Platine stabil stehen und es muss darauf geachtet werden, dass nichts in unmittelbarer Umgebung das System stören könnte.

Mit einer magnetischen Komponente wird nun die Umgebung der einzelnen Sensoren gestört, wie es bei einem Fahrzeug auch der Fall wäre. Vielleicht sogar noch ein wenig extremer, so dass das System näher an die Grenzen gebracht wird.

Ein Koordinator fängt alle (an ihn adressierten) ZigBee-Rahmen auf und gibt sie wie weiter oben erwähnt mittels RS232 an das Testprogramm (👉 Kapitel 5.1) weiter. Auf dem Bildschirm des PCs kann nun die Entwicklung der Sensormesswerte grafisch beobachtet werden.



B) Echtzeit-Simulation auf verschiedenen vorhandenen Parkplätzen

Nach einer gründlichen Austestung der gesamten Anwendung im Labor bzw. beim Arbeitsplatz ist man nun bereit für Echtzeit-Simulationen auf verschiedenen Parkplätzen.

Schema

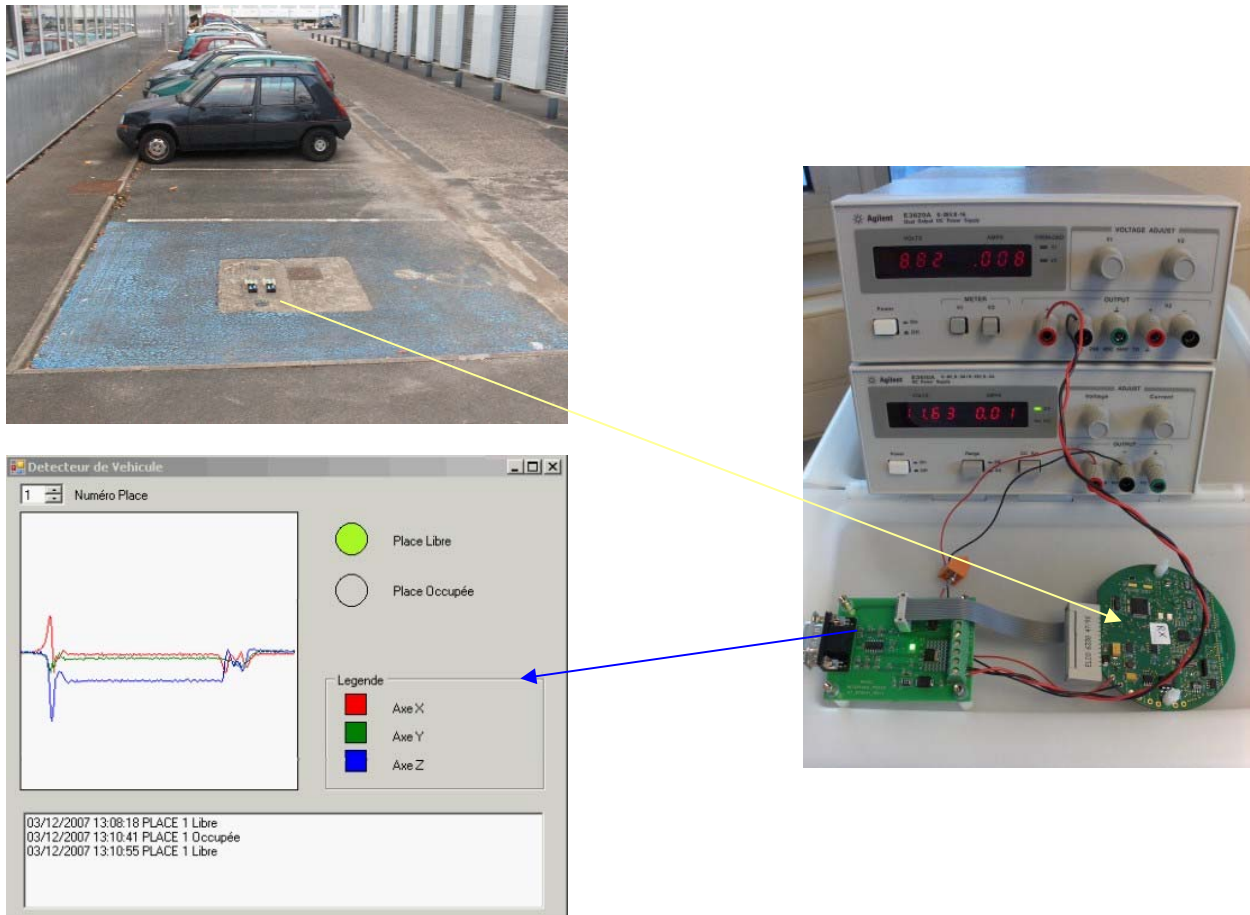


Abb. 38 : Aufbauschema auf Parkplatz

Vom Prinzip her läuft der Aufbau gleichermassen, nur wird dieses Mal mit echten Autos in einer echten Umgebung (Parkplätze) getestet. Damit die Messungen anschliessend analysiert werden konnten, wurde der Vorgang am Parkplatz mittels Kamera gefilmt und von den Auswertungskurven am PC wurde mittels des Programms „Desktop Activity Recorder“ ebenfalls ein Film erzeugt.

Folgend einige Beispiele von Testformationen, welche durchgeführt wurden:

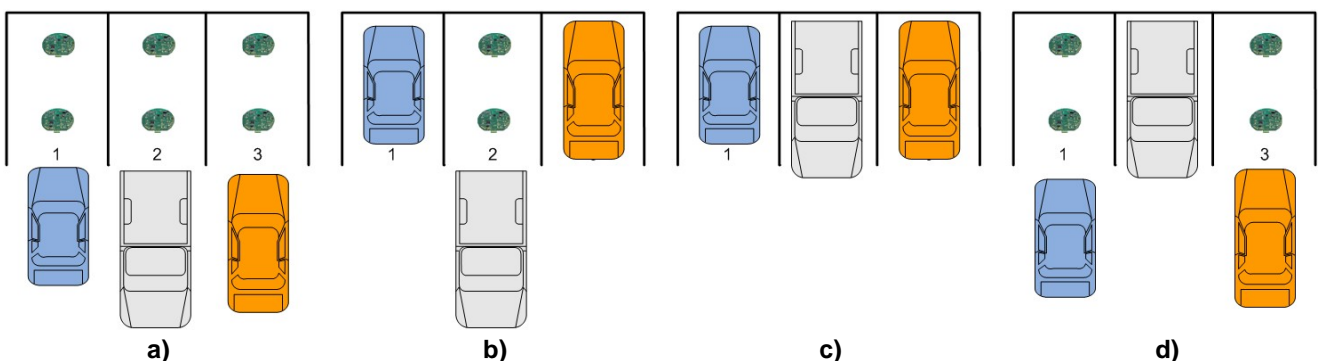


Abb. 39 : Testformationen



5.3 VERBESSERUNGEN

Durch die zahlreichen Tests und Versuche stiess man auf Probleme und Unstimmigkeiten allerlei Formen. Nach der Jagd nach Ampères bzw. Mikroampères wurde ebenfalls das ein oder andere Detail entdeckt, dass es zu Verbessern gibt.

Dieser Abschnitt zeigt die wichtigsten Verbesserungsvorschläge auf, die es zu machen gab und noch zu machen gibt.

5.3.1 RC-FILTER DES VERSTÄRKERAUSGANGS

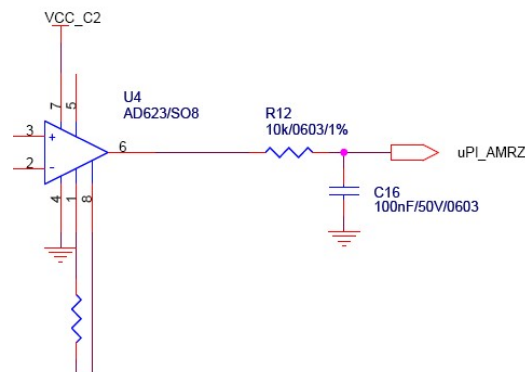


Abb. 40 : RC Filter des Verstärkerausgangs

Bei der Suche nach Verbesserungen in Fragen der Energiekonsumation ist man auf das Problem gestossen, dass der RC-Filter am Ausgang des Verstärkers viel zu langsam ist. D.h. die Ladung und Entladung des Kondensators braucht zu viel Zeit.

Diese Lade- und Entladezeit kann folgendermassen ausgerechnet werden:

Die Ladezeit des Kondensators ist proportional zur Grösse des Widerstands R und zur Kapazität C des Kondensators. Das Produkt von Widerstand und Kapazität nennt man die Zeitkonstante τ .

$$\tau = R \cdot C$$

Theoretisch dauert es unendlich lange, bis $U(t)=U_{\max}$ ist. Für praktische Zwecke kann man als Ladezeit t_L verwenden, nach der der Kondensator näherungsweise als vollständig (mehr als 99%) geladen angesehen werden kann.

$$t_L = 5 \cdot \tau$$

Für die Entladung des Kondensators gelten dieselben zeitlichen Limiten.

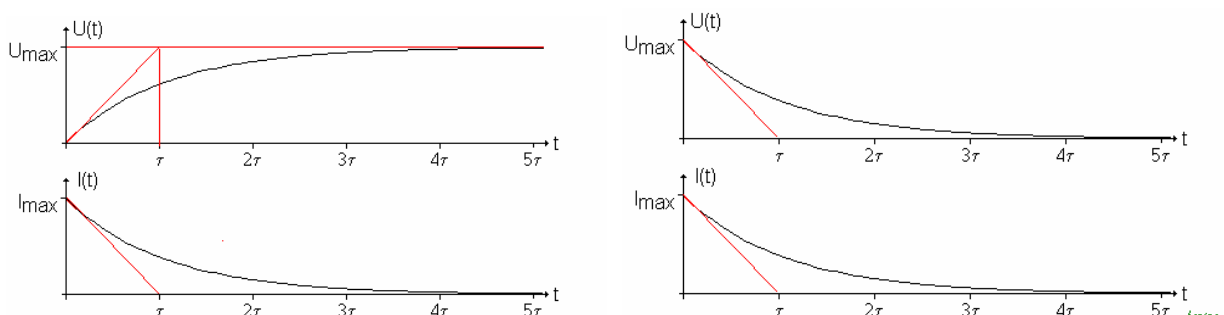


Abb. 41 : Lade- und Entladungskurve eines Kondensators in einem RC-Glied



In unserem Fall bedeutet dies also folgendes: $\tau = R \cdot C = 10 \text{ k}\Omega \cdot 100 \text{ nF} = 1 \text{ ms}$
 $t_L = 5 \cdot \tau = 5 \cdot 1 \text{ ms} = 5 \text{ ms}$

Soll derselbe Tiefpassfilter beibehalten werden, so gibt es wohl keine Möglichkeit die Zeit zu senken. So wurde entschieden den Filter zu entfernen und eine Filterung per Software zu machen.

Der Softwarefilter wurde mittels gleitenden Mittelwerts erzeugt.

5.3.2 INITIALISIERUNG DER DIGITALEN POTENTIOMETER

Der Algorithmus der Initialisierung der digitalen Potentiometer (Klasse „amr_autoconf“ (👉 Kapitel 4.3.3.12)) sieht so aus, dass alle möglichen Offsets des Potentiometer „durchgescannt“ werden und schlussendlich des Potentiometer mit dem Offset versetzt wird, mit welchem das verstärkte Sensorsignal in der Mitte des Spannungsbereichs des Analog-Digital Konverters (ADC) liegt.

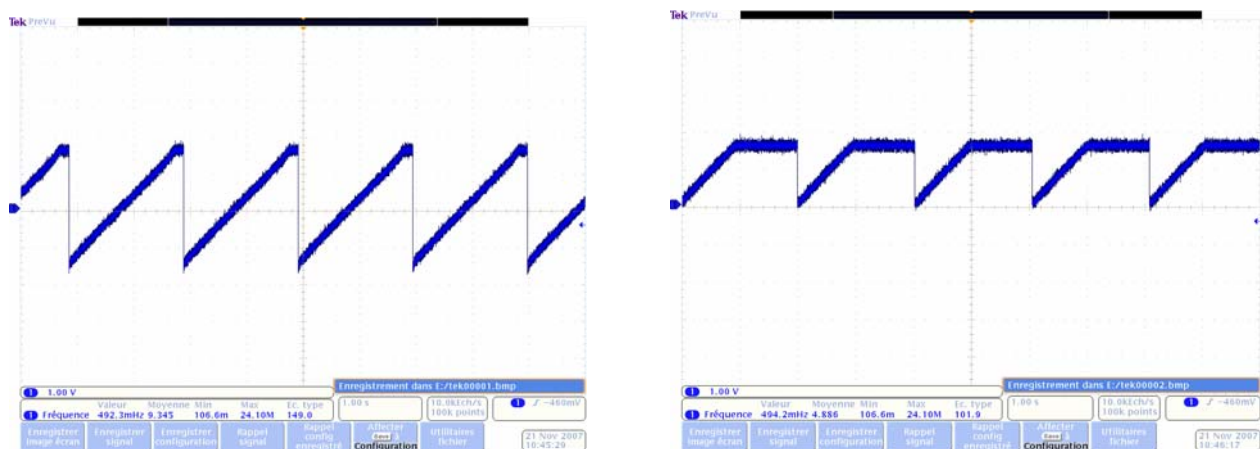


Abb. 42 : Ausgangsspannung bei Offsetdurchlauf des Potentiometers

Bei der Herstellung bzw. bei der Auslieferung der Magnetsensoren haben nicht alle Sensoren das gleiche Ausgangsoffset. Nun kann es vorkommen, dass bei keinem einzigen Offsetwert des digitalen Potentiometers das verstärkte Sensorsignal in der Mitte des Spannungsbereichs des Analog-Digital Konverters zu liegen kommt (siehe Abb. 42 Bild rechts).

In diesem Fall endet die Initialisierung der digitalen Potentiometer nie. D.h. der Initialisierungsalgorithmus muss neu überdacht werden.

Die neue Lösung soll nach dem Prinzip der Dichotomie funktionieren.

Das schlussendlich beste Offset wird dann im Potentiometer gesetzt und zusätzlich mit einem weiteren Offset in Form einer globalen Variablen versehen.

Die Klasse „amr_autoconf“ verändert sich damit wie folgt:

Funktionen

- `void amr_init_calibration(void)`
(Konfiguriert bzw. sucht und definiert das ideale Offset für die digitalen Potentiometer)
- `void amr_average(void)`
(Erstellt verschiedene gleitende Mittelwerte der Sensorwerte)
- `static void amr_capture(void)`
(Misst die Resultate mit dem aktuellen Offset um das ideale Offset zu finden)



5.3.3 VERSTÄRKUNGSGRAD DER VERSTÄRKER

Der aktuelle Verstärkungsgrad liegt bei $G = 667$.

Die Sensoroffsets der Magnetsensoren liegen laut Datenblatt zwischen ± 10 mV. Bei einer Verstärkung von 667 ergeben sich Ausgangsspannungen von ± 6.67 V, was in Anbetracht unserer Betriebsspannung von 3.3 V bzw. 3 V viel zu hoch ist.

Somit muss die Verstärkung geändert werden. Die neue Verstärkung wird auf $G = 166$ festgesetzt, d.h. eine Verminderung der Verstärkung um den Faktor 4.

Um diese neue Verstärkung zu erreichen, müssen die Widerstände R13, R23 und R31 wie folgt verändert werden:

$$R = \frac{100k\Omega}{G-1} \Rightarrow R = 606\Omega$$

Somit ergeben sich Ausgangsspannungen von ± 1.66 V, was innerhalb unserer Betriebsspannung liegt.

5.3.4 OFFSETVERLUST DES DIGITALEN POTENTIOMETERS

Durch die Ein- und Ausschaltung der Magnetsensorenkomponenten ist jeweils das aktuelle Offset des digitalen Potentiometers verloren gegangen.

Der Grund hierfür liegt darin, dass in den Funktionen `amr_set_x_ofs(offset)`, `amr_set_y_ofs(offset)` und `amr_set_z_ofs(offset)` der Klasse „amr“ (Kapitel 4.3.3.13) das aktuell als Parameter übergebene Offset jeweils nur im RAM (RDACx Register) abgespeichert wurde. Schaltet man nun das digitale Potentiometer aus, indem man ihm die Betriebsspannung entzieht, so geht der Wert im RAM verloren.

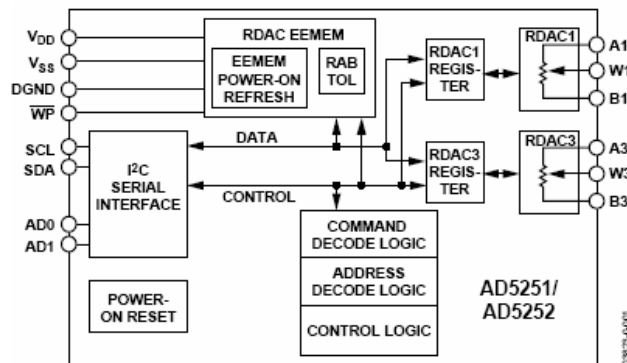


Abb. 43 : Blockdiagramm des digitalen Potentiometers

Wie in Abbildung 43 ersichtlich ist, verfügt das digitale Potentiometer auch über ein ROM (RDAC EEMEM). Beim Aufstart bzw. der Einschaltung des Potentiometers wird der Wert im ROM ins RAM geschrieben. Somit genügt es, wenn die Funktionen so abgeändert werden, damit der aktuelle Offsetwert auch jeweils ins ROM geschrieben wird.

5.3.5 ANPASSUNG LADUNGSPUMPE

Die Ladungspumpe gilt es zu verbessern:

- Die Kondensatoren C6, C7, C9 und C10 werden von 100 nF auf 1 nF herabgesetzt
- Ein weiterer Kondensator / Diodenblock wird angefügt



5.3.6 DYNAMISCHE AUTOKALIBRATION

Es wurde häufig beobachtet, dass die Sensormesswerte bei der Rückkehr in den Ausgangszustand nicht mehr ganz exakt zurück auf den Ursprungswert (ideal Mittelwert des Spannungsbereichs) kommen. Manchmal nicht einmal mehr nach einem Set/Reset-Impuls.

Der Grund hierbei liegt an der Sensibilität der Magnetsensoren, die durch eine zu starke Störung ein wenig verändert werden.

Um diesem Phänomen entgegenzuwirken wurde die Klasse „amr_autoconf“ (Kapitel 4.3.3.12) um eine weitere Funktion erweitert, die, falls kein Fahrzeug detektiert wurde, alle 10 Sekunden den aktuellen Sensorsignalwert um eine ADC-Einheit zum Mittelwert hin korrigiert.

Zusätzliche Funktionen

- `void amr_dyn_calib(void)`
(Korrigiert den globalen Offsetwert der Magnetsensoren)

5.3.7 VERBESSERUNG SET/RESET

Die vorgeschlagenen Schaltungen für den Set/Reset-Impuls sind so gedacht, dass eine Spannungsspitze von 5 Volt und mehr vorliegt. Die Betriebsspannung auf dieser Platine liegt bei 3.3 V bzw. 3 V was für den Set/Reset-Impuls nicht unbedingt ideal ist.

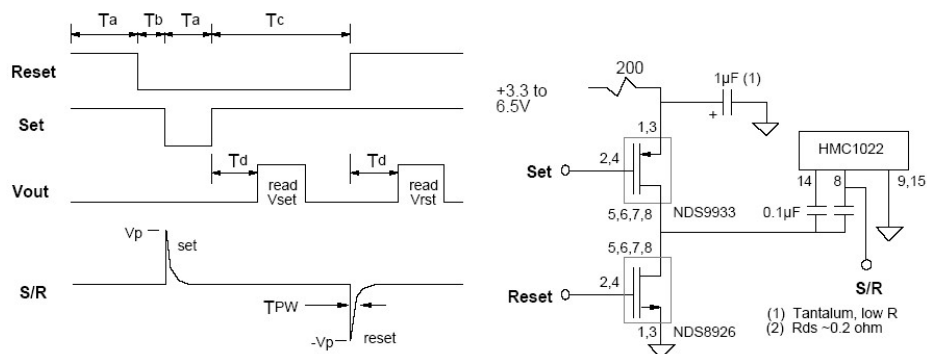


Abb. 44 : Angewandte Set/Reset Schaltung

Es gilt hier vielleicht eine Lösung zu finden den Set/Reset-Mechanismus zu Verbessern indem bei den Impulsen eine höhere Spannung erzeugt werden kann.

Zurzeit wird einmal pro Minute ein Set/Reset Impuls ausgeführt. Ein guter Set/Reset ist für diese Anwendung das A und O. Es bildet den Rückgrad für eine gut funktionierende Anwendung.

Für eine Revision 4 der Hardwareplatine könnte evtl. die folgende Schaltung interessant sein:

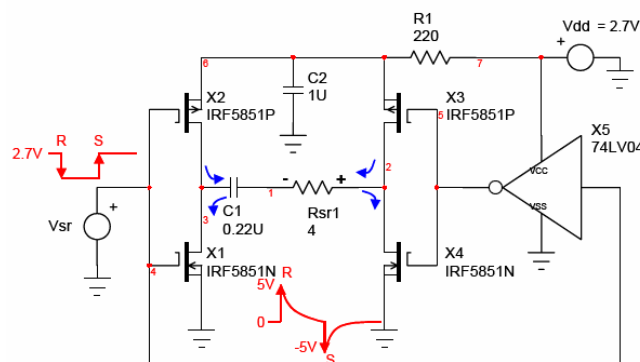


Abb. 45 : Verbesserte Set/Reset Schaltung (H-Brücke)



5.3.8 ÄNDERUNG FAHRZEUGSERKENNUNGSLGORITHMUS

Es konnte festgestellt werden, dass Störquellen mit einer Frequenz von 50 Hz (z.B. Signalgenerator, etc.) das System stören können. Dies macht sich auf den Signalwerten der Magnetsensoren bemerkbar indem sie in dieser Störfrequenz schwingen.

Mit Hilfe eines Filters in Form eines gleitenden Mittelwerts kann umgangen werden, doch wird somit der Algorithmus der Fahrzeugerkennung (Klasse „czame“ (👉 *Kapitel 4.3.3.14*)) unbrauchbar. Wendet man aber keinen Filter an, reicht diese Schwingung aus, dass der Algorithmus ein Fahrzeug identifiziert. Dies ist in dieser Form natürlich nicht brauchbar, denn können auch bei Parkplätzen solche Störquellen vorkommen. Die 50 Hz Form ist häufig, ist überall vorhanden.

Aus diesem Grund war man gezwungen den Algorithmus der Fahrzeugerkennung zu überdenken:

In einer ersten Lösung wurden nun einfache Schwellwerte implementiert. Werden diese überschritten, so bedeutet dies, dass ein Fahrzeug vorhanden ist. Diese Schwellwerte sind aus Erfahrungswerten einiger Tests mit verschiedenen Fahrzeugen zustande gekommen.

Der Klasse „amr_autoconf“ (*Kapitel 4.3.3.12*) wurde eine weitere Funktion hinzugefügt, die eben diesen neuen Algorithmus der Fahrzeugerkennung beherbergt.

Zusätzliche Funktionen

- `void amr_detection(void)`
(Kalkuliert den Zustand des Parkplatzes)

5.3.9 SONSTIGES

Da der eingebaute Spannungswandler, der die Batteriespannung von 3 V auf 3.3 V erhöhen sollte, zuviel Energie konsumiert, wird zurzeit einfach mit 3 V gearbeitet. Mit einem Kabel wird der Spannungswandler überbrückt, jedoch wäre für eine Revision 4 eine Brücke oder eine Komponentenänderung wünschenswert.

Die Dauer einer SPI Kommunikationsperiode konnte um einiges verringert werden indem eine unnötig als volatile deklarierte Variable als non-volatile umdeklariert wurde.

Mittlerweile gibt es einen 3-Achsen Magnetsensor von Honeywell auf dem Markt, bzw. er ist angekündigt. Ein solcher sollte für eine Revision 4 auch ins Auge gefasst werden.



6. FAZIT UND AUSSICHTEN

Nach vielen Tests und Versuchen läuft der Algorithmus nun mittlerweile ziemlich stabil. Trotzdem ist die Revision 3 in dieser Form noch nicht bereit um einem Kunden zu übergeben, der diese bereits einsetzen oder weiterverkaufen möchte.

Als nächster Schritt sollte vielleicht die Umsetzung der Revision 4 der Hardwareplatine ins Auge gefasst werden.

Auch wurden nie Tests mit der schlussendlichen Installationsform gemacht. D.h. dass der Sensor auf die Batterien gelegt wird und mit einem Deckel versehen wird. Dies gilt es unbedingt nachzuholen.

Weiterhin bleiben aber noch einige Sachen zu definieren und implementieren. Beispielsweise blieb die Frage offen, wie auf die einzelnen Sensoren nach der Installation und bei Betrieb zugegriffen werden kann, um beispielsweise eine Adress- oder sonstige Parameteränderung vorzunehmen.

Auch das Thema Verschlüsselung der Kommunikation sollte nicht vergessen werden. Für einen Hacker wäre es im Moment wohl nicht allzu schwierig die Kommunikation zu stören.

Ein vielleicht noch ziemlich wichtiger Aspekt der auch noch nicht gross bedacht wurde, ist die Frage der Temperatur. Es bedarf noch einiger Tests und wohl auch Anpassungen um zu gewährleisten, dass das System sowie im Sommer bei 30°C als auch im Winter bei -5°C läuft.

In der Frage der Energiekonsumation steht man aber soweit ganz gut da:

Messungen an neun Sensoren mit folgender Charakteristik haben einen durchschnittlichen Verbrauch von ca. 350 uA aufgezeigt:

- Set/Reset-Impuls : 60 s
- Sendeimpuls : 1 s
- Sensorabtastfrequenz des ADC : 12 Hz

Mit den derzeitig eingesetzten Batterien, welche eine Elektrische Ladung von 16.5 Ah (Ampèrestunden) aufweisen, ergibt dies eine hochgerechnete Betriebsdauer von ca. 5.3 Jahren.

Kann der Set/Reset-Impuls verbessert werden und es bedarf nicht mehr in jeder Minute einen solchen Impuls, so kann der Verbrauch noch verringert werden.



7. SCHLUSSFOLGERUNG UND BEMERKUNGEN

Während dieser Diplomarbeit sind also folgende Arbeiten durchgeführt worden:

- Studium der Standards ZigBee und IEEE 802.15.4
- Einlesen und Studium der Hardwarekomponenten MSP430, CC2420, Magnetsensoren, digitale Potentiometer, Verstärker, etc. mittels Datenblätter und des Elektroschemas
- Verstehen vorhandener Software-Programmteile
- Kennenlernen der IAR Workbench Programmierungsumgebung und sonstigen Tools z.B. wie C Sharp
- Konzeption und Erstellung von Softwareteilen
- Aufbau und Durchführung von Tests und Versuchen
- Fehlersuche in Hard- und Software
- Dokumentation

Allgemein gilt zu sagen, dass eine Fahrzeugerkennung mittels Magnetsensoren nicht ganz leicht zu bewerkstelligen ist. Nach vielen Tests ist das Gefühl da, dass der ganze Erkennungsalgorithmus zwar ziemlich stabil läuft, d.h. zu vielleicht 97 % das Richtige anzeigt, doch darf man den Aspekt „Zukunft“ nicht vergessen. In der Zukunft gibt es evtl. vermehrt Technologien, die auf der Basis des Magnetismus aufbauen. Wie sich die vermehrten Magnetfelder auf dieses Produkt auswirken ist schwer abzuschätzen.

Vielerorts liest und hört man, dass ZigBee die Zukunft für Sensor- und Aktor-Netzwerke ist. Allmählich kommen nun auch Produkte auf den Markt, doch ist zum jetzigen Zeitpunkt die Auswahl noch ziemlich gering. Will man den Rahmen des Standards IEEE 802.15.4 übersteigen und auch die von der ZigBee Allianz vorgeschlagenen Normen nutzen, so braucht es doch noch einigen Zeitaufwand und Geld um sich hier zu Recht zu finden. Die Weichen für die ZigBee-Zukunft sind gelegt, doch wo sie hinführen bleibt noch abzuwarten.

Allen Bedenken zum Trotz war dies ein sehr interessantes Projekt und es bleibt zu hoffen, dass sich dieses nun auch bewähren kann.

Durch die Benutzung neuer Komponenten in Hard- und Software, wie dem IAR Workbench in Sachen Software oder dem MSP430 in Sachen Hardware und vielem mehr konnte viel neue Erfahrung im Bereich der eingebetteten Systeme gewonnen werden. Es war eine gute erste Einführung in die Arbeitswelt eines Ingenieurs.

Eine zusätzlich tolle Erfahrung war die Arbeit im Ausland zu schreiben, wo es doch manchmal vorkommt, dass man einander nicht richtig versteht und man nicht immer allen Erklärungen folgen kann. Doch schlussendlich nach vielleicht auch mehrmaligem Nachfragen kam man auf einen gemeinsamen Nenner.

Michel Gemmet



8. QUELLENVERZEICHNIS

- [01] IEEE 802.15.4 Standard – 2003
- [02] ZigBee Spezifikation – 1. December 2006
- [03] MSP430x1xx Family User's Guide (Rev. F)
- [04] MSP430F15x/16x/161x Mixed Signal Microcontroller (Rev. E)
- [05] CC2420 - 2.4 GHz IEEE 802.15.4 / ZigBee-Ready RF Transceiver (Rev. B)
- [06] I2C-Bus Spezifikation and user manual (Rev. 03)
- [07] Dual 64-and 256-Position I2C Nonvolatile Memory Digital Potentiometers
- [08] Single Supply, Rail-to-Rail, Low Cost Instrumentation Amplifier
- [09] Honeywell - 1 and 2 axis Magnetic Sensors
- [10] Low Voltage 4 ohms Dual SPST Switches
- [11] MaxStream - Product Manual (802.15.4)
- [12] Honeywell – AN213 (Set/Reset function for magnetic sensors)
- [13] Honeywell – AN218 (Vehicle detection using AMR sensors)
- [14] Applications of magneto resistive sensors in navigation systems
- [15] Vehicle detection and compass application using AMR magnetic sensors
- [16] ZigBee – Protokollsoftware und Entwicklungsumgebung
- [17] ZigBee – Grundlagen und Applikation



9. ABKÜRZUNGSVERZEICHNIS

ADC	– Analog Digital Converter
CCA	– Clear Channel Assessment
CSMA/CA	– Carries Sense Multiple Access with Collision Avoidance
FCS	– Frame Check Sequence
FFD	– Full Function Device
GUI	– Graphical User Interface
I ² C	– Inter-Integrated Circuit
LQI	– Link Quality Indication
MAC	– Media Access Control
NWK	– Network
PAN	– Personal Area Network
PHY	– Physical
PWM	– Pulsweitenmodulation (Pulse Width Modulation)
QoS	– Quality of Service
RAM	– Random Access Memory
RF	– Radio Frequency
RFD	– Reduced Function Device
SPI	– Serial Peripheral Interface
USART	– Universal Synchronous Asynchronous Receiver Transmitter



10. ANHANG

- Anhang 1 : Projektvorschlag
Begriffserklärungen
- Anhang 2 : Elektroschema
- Anhang 3 : Quellcodes



INHALTSVERZEICHNIS

1. VERFASSER.....	1
2. PROJEKTVORSCHLAG	1
3. BEGRIFFSERKLÄRUNGEN	2
3.1 BALUN	2
3.2 SPI	3
3.3 I ² C	4
3.4 CSMA/CA	5
3.5 DICHOTOMIE	6



I. VERFASSEN

Michel Gemmet

Laboratoire IMS - Bât. A31
351, Cours de la libération
33405 Talence Cedex - France

2. PROJEKTVORSCHLAG

TITRE	Capteur de détection de présence de véhicule avec interface Zigbee
CONTEXTE	Ce projet met en œuvre la technologie Zigbee :
SUJET	<p>Le ZigBee (IEEE 802.15.4) est une norme de transmission de données sans fil au même titre que le Bluetooth ou Wifi. Ses points forts sont un faible coût (quelques dollars pour une puce ZigBee) et surtout sa faible consommation électrique.</p> <p>L'objectif principal de ce projet est le développement d'un logiciel gérant le protocole de communication Zigbee. Pour ce faire, vous devrez mettre en œuvre un démonstrateur complet en accord avec la norme IEEE 802.15.4. Ce système contiendra un ensemble de capteurs de détection de présence de véhicule avec interface Zigbee.</p>
COMPETENCES	<ul style="list-style-type: none">- microinformatique (microprocesseurs Texas Instrument MSP430, outils IAR)- réseau (Zigbee)- conception électronique (CAO Cadence Orcad)
NIVEAU	Ecole d'ingénieur électronique
DUREE	4 mois
LIEU	Laboratoire IMS Bâtiment A31 – 351, cours de la Libération – 33405 TALENCE Cedex
RESPONSABLE	M. Eric STEMPEIN (Tél. : 05 40 00 27 73) – stempin@ixl.fr M. Jean-Christophe MARTIN (05 40 00 27 70) – martinj@ixl.fr
SOCIETE	ADERA-RAVEL 162, avenue du Dr Schweitzer 33608 PESSAC CEDEX Mme Valérie MOREAU (05 56 15 11 57) – moreau@adera.fr



3. BEGRIFFSERKLÄRUNGEN

Im folgenden Abschnitt werden einige Begriffe näher erklärt, die im Bericht auftauchten, jedoch nicht näher angeschaut wurden.

3.1 BALUN

Ein Balun (von Balanced-unbalanced, n.) ist in der Elektrotechnik und Hochfrequenztechnik ein Impedanzwandler und kann gleichzeitig auch zur Potentialtrennung dienen oder Symmetrierglied sein. Der Begriff Balun ist jedoch umfassender.

Symmetrierglied (Balun) für das L-Band, bestehend aus einer $\lambda/2$ -Umwegleitung aus Semi-Rigid-Koaxialkabeln in der Hochfrequenztechnik und besonders an Senderendstufen hat man oft unterschiedliche Wechselstromwiderstände (Impedanzen, Wellen- oder Quellwiderstände) aneinander anzupassen. Häufig wird hier ein Transformator eingesetzt, der auf die gewünschten Widerstände bzw. Impedanzen oder Wellenwiderstände transformiert.

Im Fall des Balun ist das o.g. jedoch nur eine Aufgabe, und die muss nicht immer die eigentliche Aufgabe sein. Der Transformator ist hier zusätzlich ein Wandler von symmetrischen Leitungssystemen (z.B. 240-Ohm-Flachbandkabel, Zweidrahtleitung) auf Koaxialkabel (Wellenwiderstand 50 oder 75 Ohm).

Flachbandkabel sind verlustärmer als Koaxialkabel, daher verwendet man sie teilweise auch heute noch bei Amateurfunk-Sendeanlagen.

Die Phasenlage auf den zwei Leitern des Flachbandkabels ist gegeneinander um 180° verschoben. Das Balun (Symmetrierglied) kehrt die Phasenlagen gleichsinnig zueinander um und senkt gleichzeitig die Impedanz auf $1/4$.

In der Audiotechnik werden ebenfalls oft symmetrische Leitungsverbindungen (z.B. zwischen Gitarre, Mikrofon und Verstärker) genutzt, um Störungen zu verringern. Die Rückwandlung wird im Mischpult vorgenommen. Dort sitzt ebenfalls ein als Transformator ausgeführtes BALUN.

Es gibt auch Baluns mit einem Impedanzverhältnis von 1:1, dann werden lediglich die Potentialverhältnisse gegen Erde (symmetrisch/unsymmetrisch) transformiert. Ziel ist hierbei meist, Mantelwellen auf koaxialen Kabeln und die damit verbundene Störeinstreuung oder -abstrahlung zu verhindern. Im einfachsten Fall besteht ein solches Balun aus einigen Windungen des Koaxialkabels, aus aufgeschobenen Ferrit-Ringkernen oder aus einer trifilar gewickelte Luftspule.

Baluns werden auch in der Messtechnik verwendet. Sie sind oft Bestandteil zur Impedanzanpassung von Antennenanlagen bei Kurzwelle, UKW und UHF.

Typische Hochfrequenz-Anwendung ist der Übergang mit einem Balun zwischen koaxialen Leitungen (in der Regel Anschlussleitungen) und Zweidrahtleitungen oder anderen symmetrischen Quellen (z. B. ein Dipol). Direkt im Anschlusskasten eines Halbwellen-Schleifendipols (240 Ohm, symmetrisch) ist oft ein Balun (Symmetrierglied) zum Anschluss an ein Koaxialkabel (50...75 Ohm, unsymmetrisch) untergebracht.

Als Balun werden beispielsweise auch impedanzangepasste (100/150 Ohm) Steck-Adapter zwischen RJ45- und IVS-Datenstecker (Typ 1) bezeichnet, die in Token-Ring- sowie Ethernet-Netzwerken verwendet werden. Die Pinbelegung variiert je nach Netzwerktopologie.



3.2 SPI

SPI bedeutet Serial Peripheral Interface – zu Deutsch „serielle Peripherie Schnittstelle“ – und beschreibt einen synchronen seriellen Bus, welcher seines Zeichens von Motorola entwickelt wurde.

Dieser ermöglicht die Anbindung von Peripherien an einen Mikrocontroller. Auch ist die Verbindung mehrerer Mikrocontroller miteinander möglich. SPI erreicht hier sehr hohe Datenübertragungsraten, da das Taktsignal bis in den MHz Bereich reichen kann. Ausserdem werden die Daten in beide Richtungen gleichzeitig übertragen, also Voll-Duplex.

Der Hardware Aufwand bleibt dabei in Grenzen, da neben den Slave-Select- oder Chip-Select-Leitungen nur 1 Steuerleitung für den Takt sowie 2 Datenleitungen benötigt werden. In der Konfiguration (Polarität etc.) ist SPI ebenfalls sehr flexibel.

SPI ist als Master-Slave Bus ausgelegt, d.h. ein Master muss immer die Datenübertragung einleiten sowie die Slaves selektieren. Auch stellt der Master das Taktsignal bereit. Die Daten werden auf 2 Datenleitungen übertragen. Diese sind MISO (Master-In Slave-Out, Dateneingang Master) und MOSI (Master-Out Slave-In, Datenausgang Master). Jeder Slave besitzt ein Slave Select – Signal oder Chip Select – Signal. Diese sind meistens Low-Aktiv. Solange ein Slave nicht ausgewählt – selektiert – ist, sind Taktsignal und die Datensignale im sogenannten TriState-Modus und extrem hochohmig. Es werden also keine Daten / Takte zur SPI-Einheit durchgelassen.

Synchron zum Taktsignal vom Master werden die Daten an den Datenleitungen ausgegeben. Dieses wird über ein Schieberegister realisiert. Meist wird das höchstwertigste Bit (MSB) zuerst ausgegeben, die niederwertigen Bits folgend. Bei manchen Mikrocontrollern kann man einstellen, ob zuerst MSB oder LSB gesendet werden soll. Ein Datenwort beträgt bei der SPI immer 8Bit, sei es in 8, 16 oder 32-Bit Systemen. Die empfangenen Daten liegen nach dem Datentransfer im gleichen Register wie die Sendedaten. Es existiert also nur ein Register für Sende-/Empfangsdaten. Schreibt man ein Datenwort in dieses Register, so wird automatisch eine Datenübertragung eingeleitet. Um festzustellen ob die Übertragung abgeschlossen ist, gibt es Flags in Statusregistern oder man verwendet Interrupts.

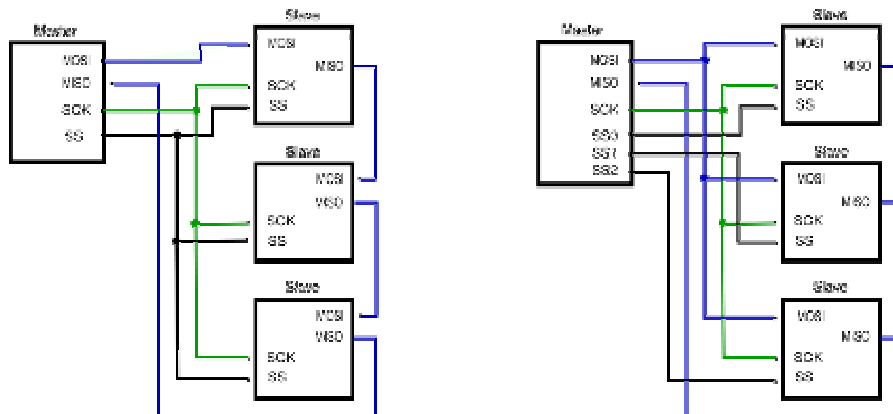


Abb. 1: SPI Verbindung durch Kaskadierung der Slaves (links) und Sternverbindung (rechts)



3.3 I²C

Die meisten 32-Bit Mikroprozessoren besitzen ein Two-Wire Serial Interface (TWI). Diese Schnittstelle ist äquivalent zum I²C-Bus, der, wie „Two Wire“ schon sagt, mit nur zwei Leitungen auskommt. Dieser Bus ist ein serieller Datenbus, der um 1980 von Philips entwickelt wurde, um in Geräten wie Fernsehern mehrere ICs an Mikroprozessoren anschliessen zu können ohne breite Adress- und Datenleitungen zu benötigen. Daher kommt auch die Bezeichnung I²C, was eine Abkürzung für „Inter IC“ ist. Gemeint ist damit, dass der Bus für Verbindungen zwischen ICs gedacht ist. Der Bus hat in der aktuellen I²C-Spezifikation 2.1 von 2001 eine maximale Datenübertragungsrate von 3,4 Mbit/s (High-Speed Modus).

Der grosse Vorteil des Busses ist, dass man mit nur zwei Leitungen viele ICs miteinander verbinden kann. Dazu kommt, dass während einer Datenübertragung der Takt automatisch von den beteiligten Geräten angepasst werden kann, falls eines der Geräte mehr Zeit zur Verarbeitung der Daten benötigt. Es ist ausserdem ein Arbitrationsverfahren vorgesehen. Dieses Verfahren sorgt dafür, dass nur ein Gerät erfolgreich Daten auf den Bus schreiben kann, wenn mehrere Geräte gleichzeitig versuchen eine Verbindung auf dem Bus zu initiieren.

Zur Adressierung der am Bus angeschlossenen Geräte stehen im Allgemeinen wahlweise 7-bit oder 10-bit Adressierung und damit 112 bzw. 1024 Adressen zur Verfügung.

Dadurch, dass es so wenige Adressen gibt, jedoch die Auswahl an ICs mit I²C-Ansteuerung gross ist, kommt es dazu, dass verschiedenen Geräten desselben Typs dieselbe Adresse zugewiesen wird. Problematisch kann dies werden, wenn man beispielsweise mehrere serielle EEPROMs am Bus betreiben möchte, zumal manche I²C-fähigen EEPROMs gleich 8 Adressen belegen, wodurch bei 7-bit Adressierung nur ein einziges EEPROM am Bus betrieben werden kann.

Generell können durch die in der Spezifikation festgelegte maximale Leitungskapazität von 400pF ca. 20 Geräte an einem Bus betrieben werden, alternativ können die Leitungen ca. 10 m lang sein. Durch I²C Repeater o. Ä. kann diese Beschränkung jedoch umgangen werden.

Ablauf einer Verbindung

Der I²C-Bus verwendet zwei Leitungen zur Datenübertragung, dabei ist eine der beiden Leitungen eine Datenleitung, während die andere Leitung eine Taktleitung ist. Entsprechend werden die Leitungen SDA für Serial DATA bzw. SCL für Serial CLOCK genannt. Beide Leitungen sind laut Spezifikation mit Pullups auf High-Level zu halten; die SDA- und SCL-Pins der angeschlossenen ICs sind Open-Drain bzw. Open-Collector. Daher muss ein am Bus angeschlossener IC um eine 1 zu senden die Leitung loslassen und um eine 0 zu senden die Leitung auf Masse ziehen. Es ergibt sich dadurch eine Wired-And Funktion der Busleitungen.

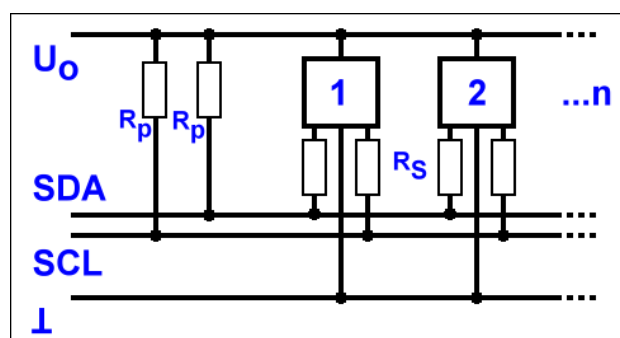


Abb. 2 : I²C Bus

Der Bus ist so ausgelegt, dass ein Busteilnehmer eine Verbindung zu einem anderen Busteilnehmer initiiert und nachher die Verbindung beendet oder eine weitere Verbindung aufbaut. Während einer Verbindung dürfen andere Busteilnehmer nicht auf den Bus zugreifen. Damit die am Bus angeschlossenen Geräte erkennen können, ob der Bus frei oder belegt ist, werden START- und STOP Conditions verwendet, die Anfang und Ende einer Verbindung kennzeichnen.



Eine START-Condition wird ausgelöst durch einen High-Low Übergang auf SDA, während SCL High ist und eine STOP-Condition wird umgekehrt ausgelöst durch einen Low-High Übergang auf SDA, während SCL High ist. Ausser beim Auslösen von START- bzw. STOP-Conditions darf sich SDA während der High-Phase von SCL jedoch nicht verändern.

Die Busteilnehmer können jeweils Master oder Slave, Transmitter oder Receiver sein. Bei einer Verbindung zwischen zwei Busteilnehmern ist jeweils eines der Geräte Master bzw. Slave; gleichermassen ist jeweils eines der Geräte Transmitter oder Receiver. Dabei ist der Master dafür zuständig, die Verbindung zu einem Slave-Gerät zu initiieren und zu beenden, sowie den Takt auf der SCL-Leitung bereitzustellen. Ausserdem bestimmt der Master die Datenrichtung der Verbindung, d. h. welches der beiden Geräte Receiver und welches Transmitter ist. Ein Gerät, das die Rolle eines Slave einnimmt, spricht auf eine Verbindungsanfrage eines Masters an, wenn es die eigene Geräteadresse empfängt. Es reagiert dann abhängig von der Datenrichtung mit dem Senden, bzw. Empfangen von Daten. Zusätzlich hat der Slave die Möglichkeit, die Taktrate auf der SCL-Leitung herabzusetzen, wenn diese zu schnell ist um die empfangenen bzw. zu sendenden Daten abzuarbeiten. Der Transmitter ist das Gerät, das nach erfolgreichem Verbindungsaufbau Daten auf den Bus legt und der Receiver ist das Gerät, das die vom Transmitter gesendeten Daten empfängt.

3.4 CSMA/CA

Der englische Begriff Carrier Sense Multiple Access/Collision Avoidance (CSMA/CA) (zu Deutsch etwa: 'Mehrfachzugriff mit Trägerprüfung mit Kollisionsvermeidung') bezeichnet ein Prinzip für den Zugriff mehrerer Netzwerkstationen auf dasselbe Übertragungsmedium. Es wird häufig u.a. bei drahtlosen Netzwerken (Wireless LANs) eingesetzt, findet aber abgewandelt auch bei Technologien wie ISDN Anwendung, oder bei vielen Technologien, bei denen mehrere Clients Daten auf einen BUS legen und es nicht zu Kollisionen kommen darf.

Drahtlose Netze unterscheiden sich im Bezug auf den gemeinsamen Medienzugriff durch zwei wichtige Faktoren von drahtgebundenen Netzen:

- Der Netzadapter ist nicht notwendigerweise Voll-Duplex-fähig. Während einer eigenen Übertragung kann das Medium nicht überwacht werden. Der Einsatz eines "Collision Detection"-Mechanismus, wie er etwa von CSMA/CD vorgesehen ist und bei Ethernet verwendet wird, würde dann fehlschlagen. Deswegen wurde CSMA/CD zu einem Mechanismus weiterentwickelt, der konsequenter dem Prinzip "listen before talk" ("erst hören, dann sprechen") folgt. An die Stelle der Kollisionserkennung ("CD") sollte die (bestmögliche) Kollisionsvermeidung ("CA") treten. Dadurch lassen sich gleichzeitige Datenübertragungen zwar nicht völlig verhindern, aber doch minimieren.
- Die Reichweite des Signals ist stark begrenzt, da die Signalstärke quadratisch mit der Entfernung abnimmt. Deshalb kann es zu Effekten wie "versteckten" oder "ausgelieferten" Endgeräten kommen.

Versteckte und ausgelieferte Endgeräte

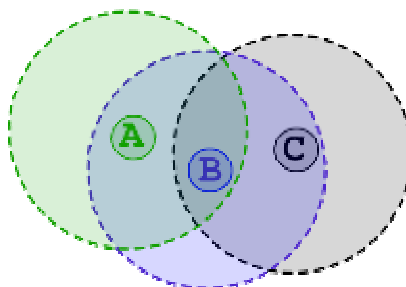


Abb. 3 : Verstecktes Endgerät



Zu einem versteckten Endgerät (engl. Hidden Station bzw. Hidden Terminal) kommt es zum Beispiel bei folgendem Szenario: Die zwei Funkteilnehmer A und C liegen räumlich so weit auseinander, dass sie ihre Funksignale gegenseitig nicht empfangen können. Zwischen ihnen liegt die Station B. A und C senden nun zeitgleich an B und erzeugen dort einen Konflikt, können diesen aber nicht erkennen, da sie die Funksignale des jeweils anderen ja nicht erreichen. A ist für C ein verstecktes Endgerät und umgekehrt.

Unter einem ausgelieferten Endgerät (engl. Exposed Station bzw. Exposed Terminal) versteht man, wenn in unserem vorliegenden Szenario die Station B an A sendet und nun C an irgendeine andere Station (nicht A oder B) senden möchte. C erkennt die Signale von B und wartet, bis die Übertragung zwischen B und A vorbei ist. Da die Funkwellen von C aber A gar nicht erreichen können, wäre es gar nicht nötig zu warten: bei A könnte gar kein Konflikt auftreten. Dennoch ist C den anderen beiden Stationen ausgeliefert.

Protokollablauf

Möchte ein Gerät Daten nach dem CSMA/CA Verfahren versenden, so ist u.a. folgender Ablauf möglich:

1. Zuerst wird das Medium abgehört "horch"("Carrier Sense")
2. Ist das Medium für die Dauer eines IFS frei, wird gesendet
3. Ist das Medium belegt, wird auf einen freien IFS gewartet und zur Kollisionsvermeidung zusätzlich um eine zufällige Backoff-Zeit verzögert
4. Wird das Medium während der Backoff-Zeit von einer anderen Station belegt, bleibt der Backoff-Timer so lange stehen und wird nach Freiwerden des Mediums weitergezählt

Um das Problem der "versteckten" oder "ausgelieferten" Endgeräte zu beseitigen, existiert eine "Request to Send / Clear to Send" (RTS/CTS)-Erweiterung für CSMA/CA. Dabei muss die sendewillige Station den Kanal durch ein RTS-Paket reservieren. Der Empfänger bestätigt diese Reservierung mit einem CTS-Paket. Anschließend ist ein sofortiges Senden der Daten möglich. Andere Stationen speichern die Belegungsdauer, die im RTS- und CTS-Paket gesendet wurde, und senden während dieser Zeit keine Daten

3.5 DICHOTOMIE

Dichotomie bedeutet die Aufteilung in zwei Strukturen oder Begriffe, die nicht miteinander vereinbar sind.

In der Mathematik, der Philosophie, der Logik und der Sprachwissenschaft bezeichnet Dichotomie die Trennung eines Begriffs in zwei Unterbegriffe, die sich gegenseitig ausschliessen.

Das beste praktische Beispiel, welches die Dichotomie erklärt, ist das Spiel wo sich eine Person eine Zahl zwischen 1 und 100 merkt und die andere Person muss sie erraten.

Beispielsweise merkt sich Person A 81 so würde der Ablauf nach Dichotomie wie folgt ablaufen:

Person B rät 50.

Person A erklärt Person B, dass die Zahl grösser sei.

Person B rät 75.

Person A sagt zu Person B, dass die Zahl immer noch grösser sei.

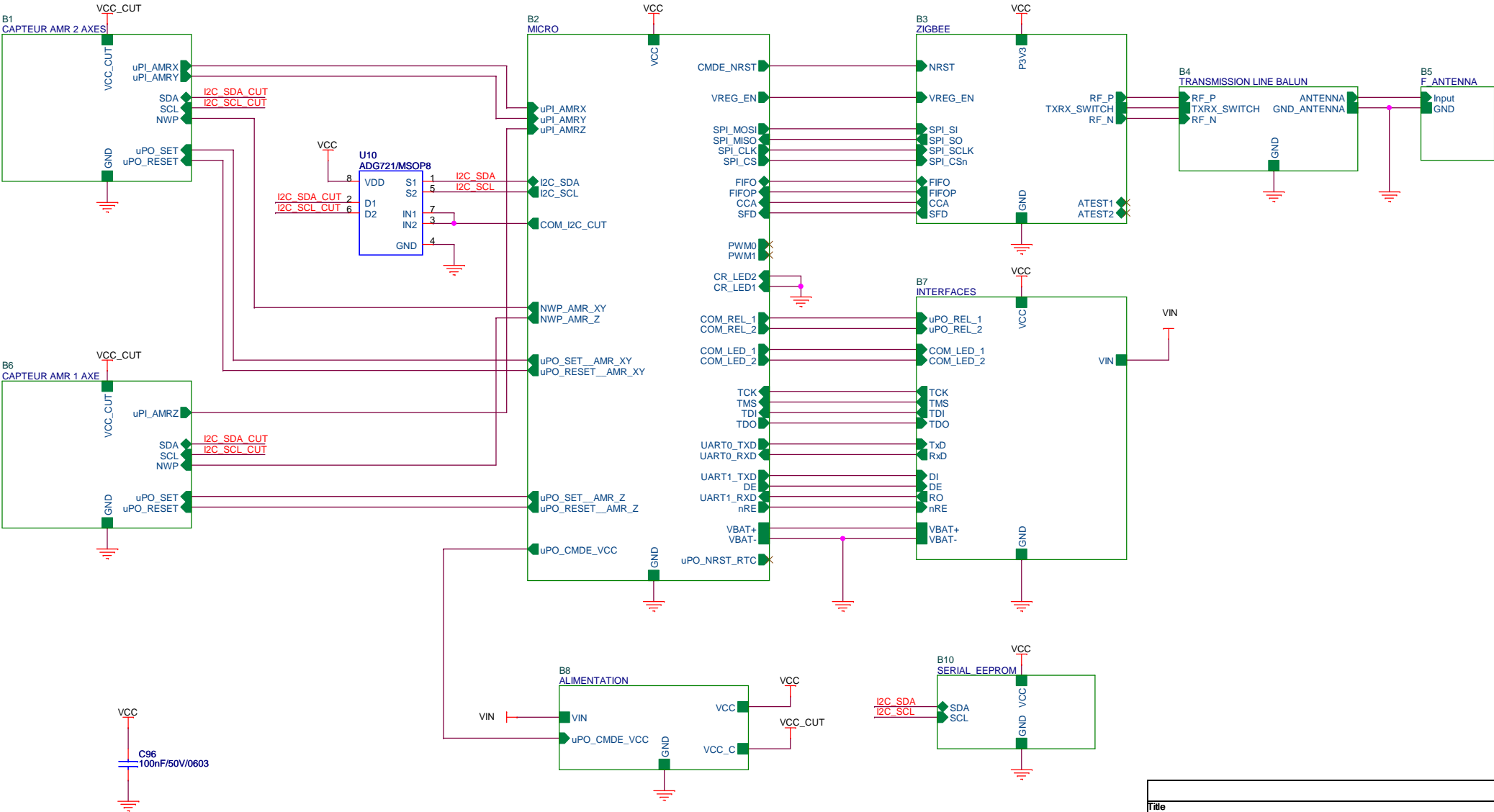
Person B rät 87.

Person A sagt diesmal zu Person B, dass die Zahl kleiner sei.

Person B rät 81.

Bingo!

DETECTEUR VEHICULE

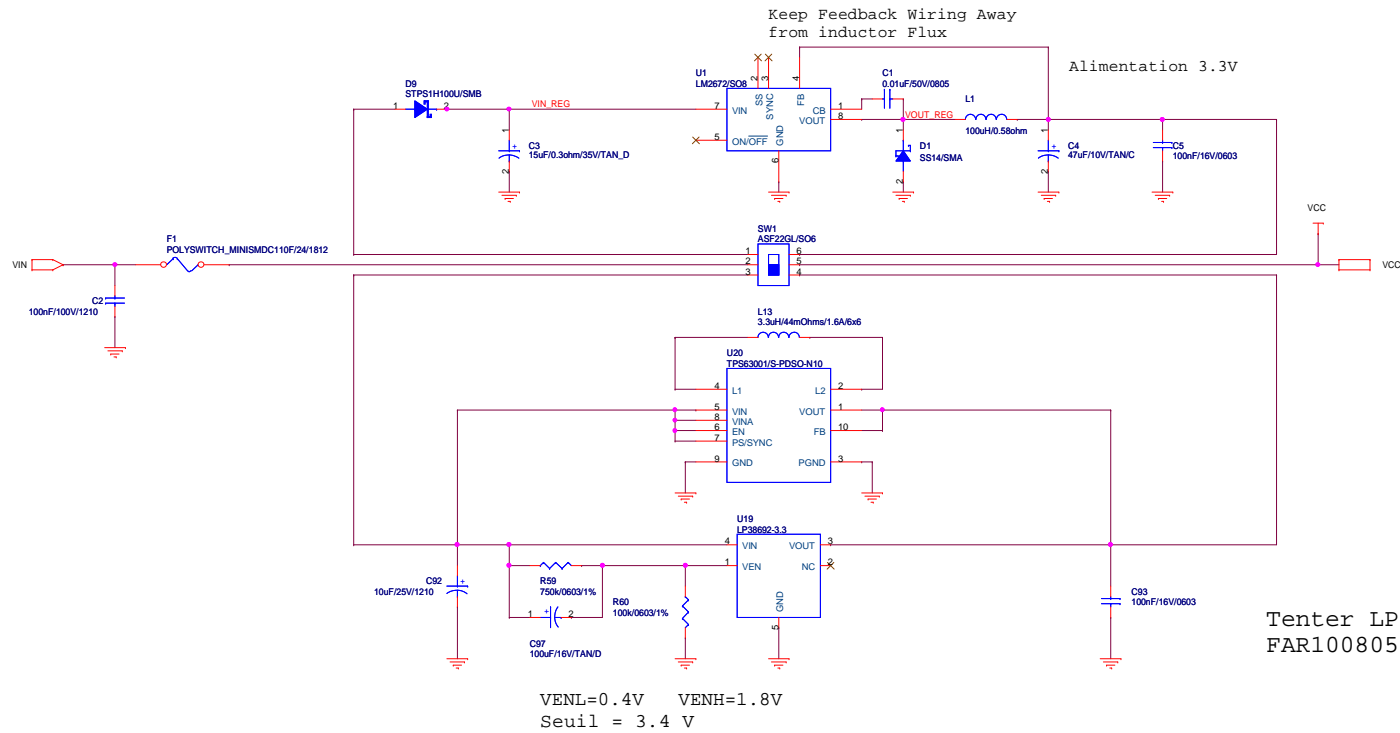


FILTRAGE ADG721

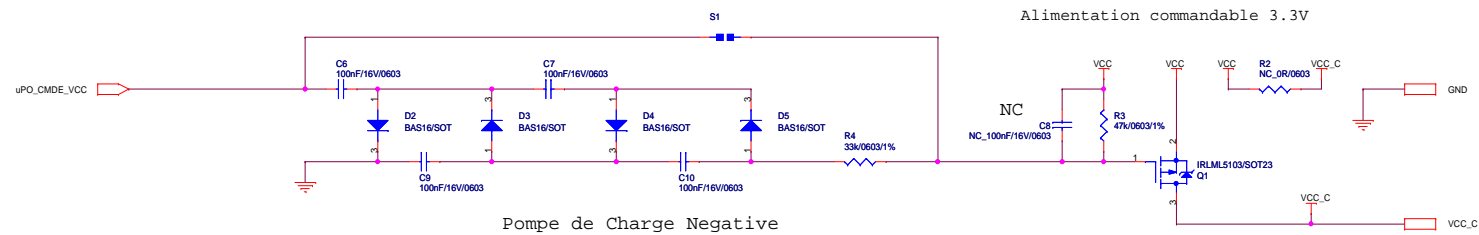
- HOLE1 'np hole ø3mm'
- HOLE2 'np hole ø3mm'
- HOLE3 'np hole ø3mm'
- HOLE4 'np hole ø3mm'

Title			DETECTEUR VEHICULE
Size	Document Number	Rev	
B	<Doc>	<RevCode>	
Date:	Tuesday, November 20, 2007	Sheet	1 of 15

Alimentation 3.3V/1000mA



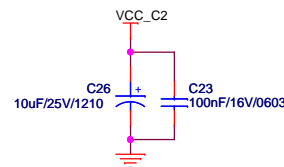
Tenter LP38692MP-3.3
FAR1008056 Iq=100uA



10



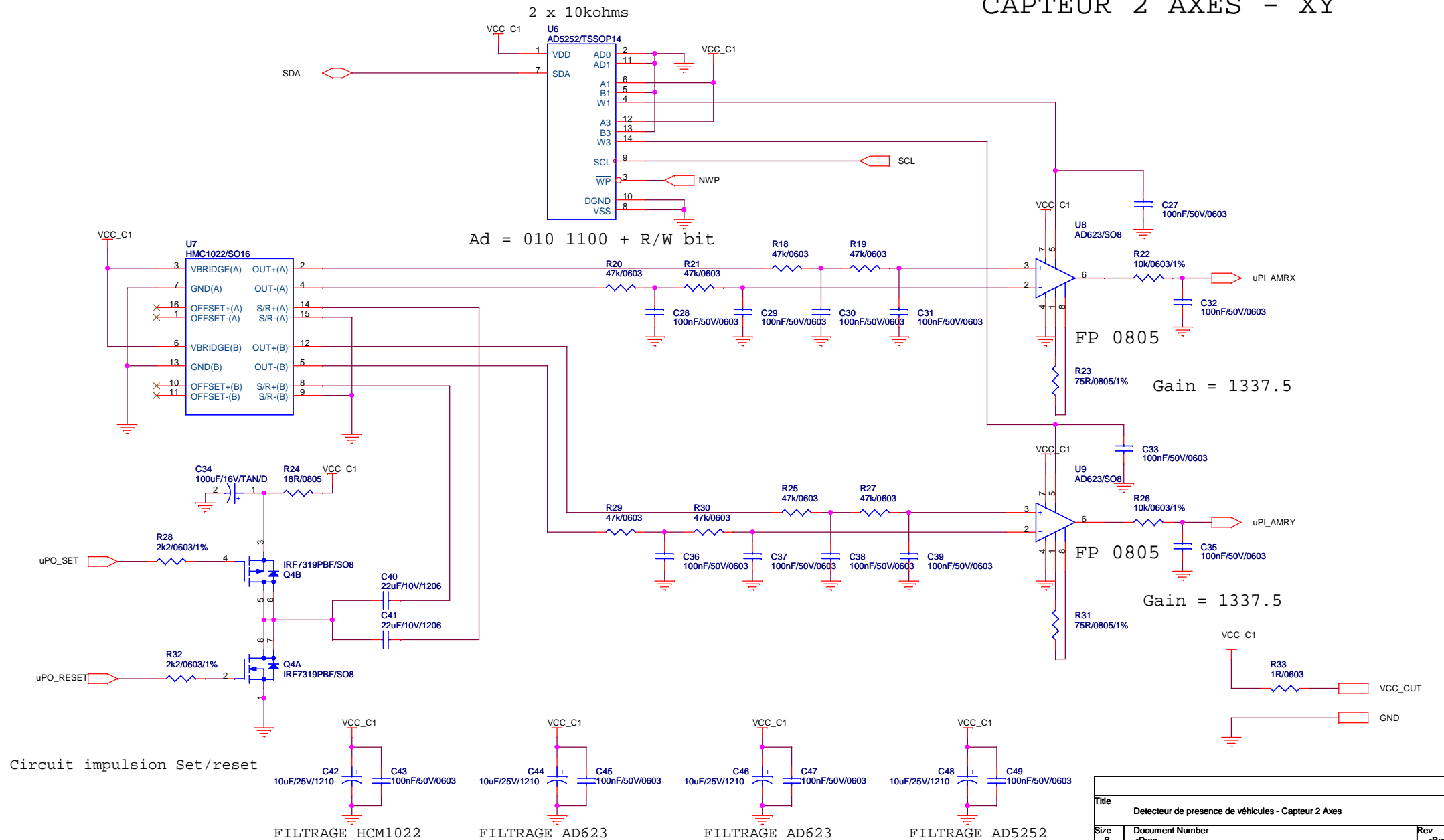
Ad = 010 1101 + R/W bit



FILTRAGE AD5252

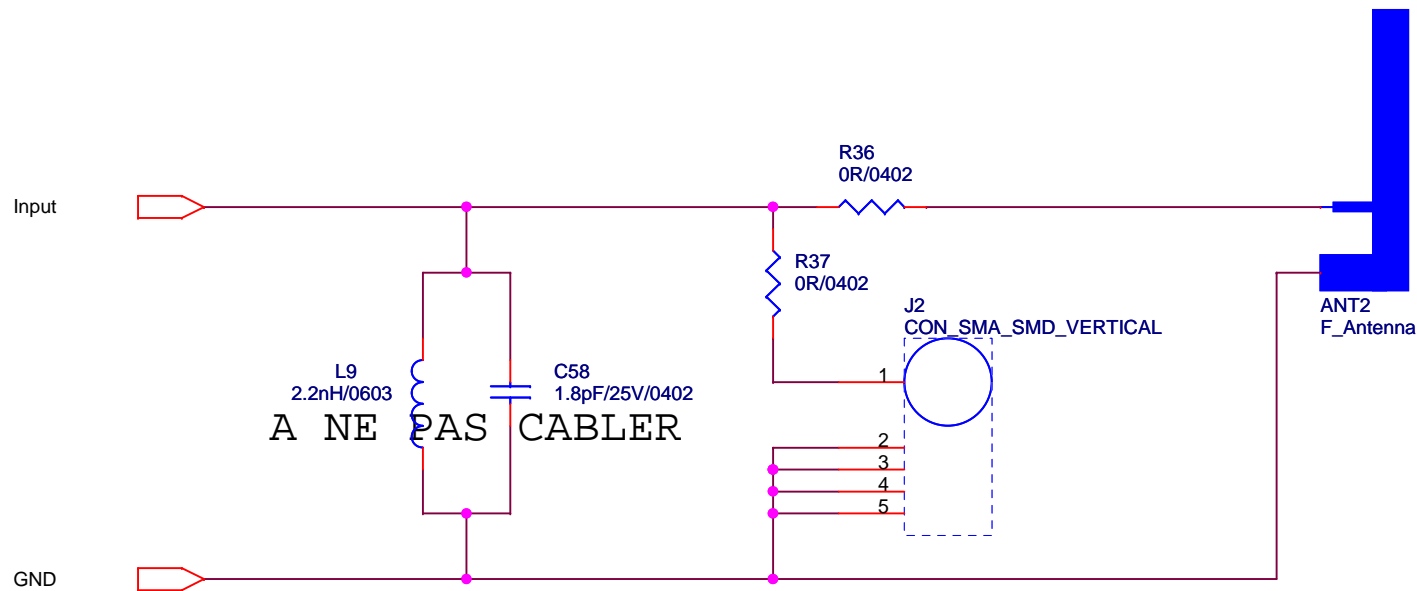
Date: Tuesday, November 20, 2007 Sheet 4 of 15

DETECTEUR PRESENCE VEHICULE CAPTEUR 2 AXES - XY



Title		
Detecteur de presence de véhicules - Capteur 2 Axes		
Size	Document Number	Rev
B	<Doc>	<RevCode>
Date:	Friday, October 19, 2007	Sheet 5 of 15

F ANTENNA

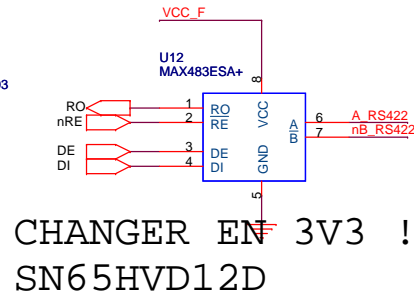
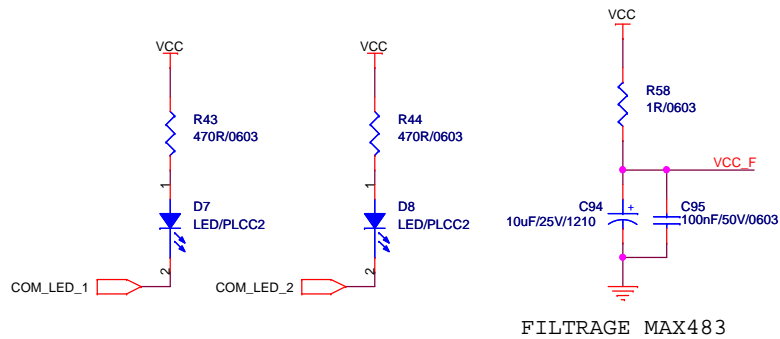
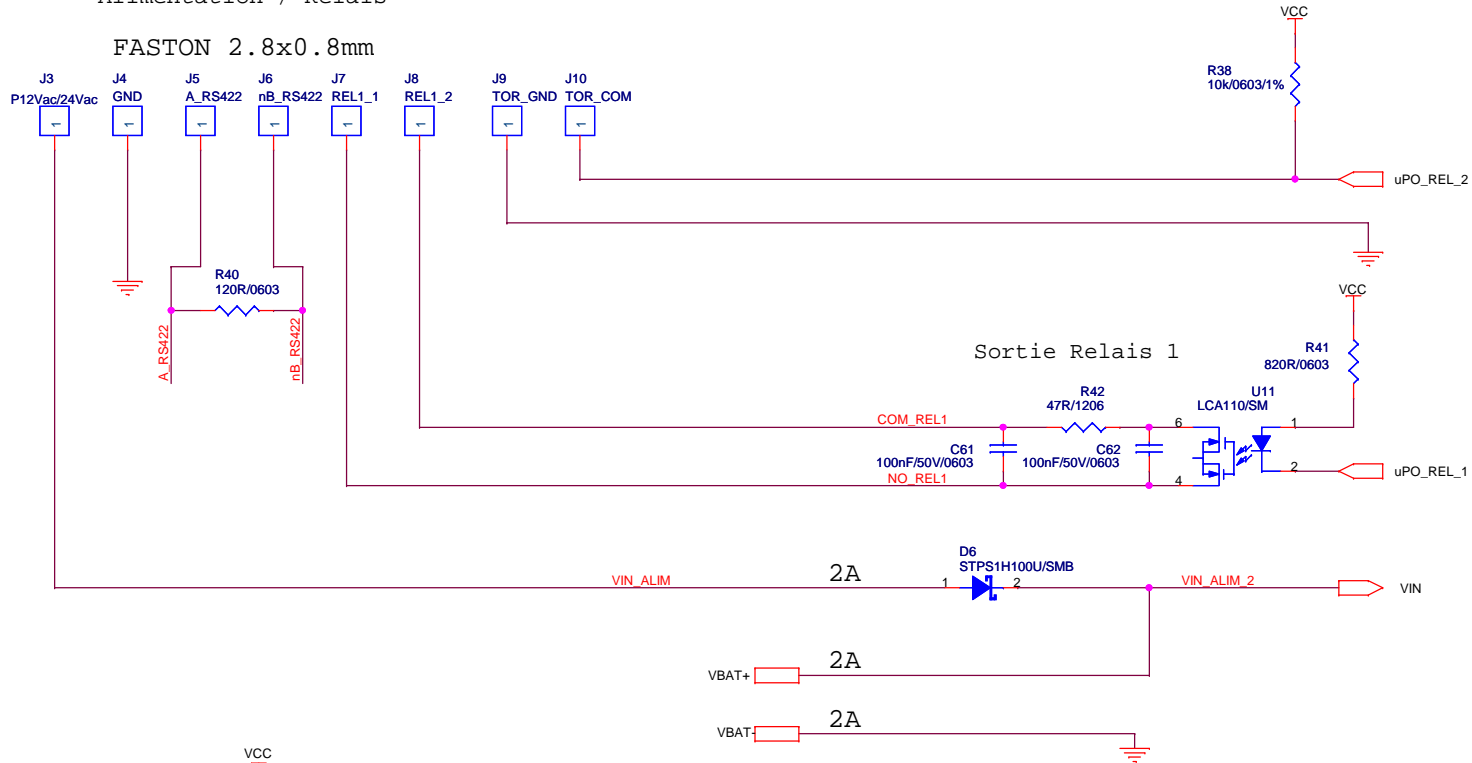


Title			
F ANTENNA			
Size	Document Number		Rev
A	<Doc>		<RevCode>
Date:	Friday, October 19, 2007		Sheet 9 of 15

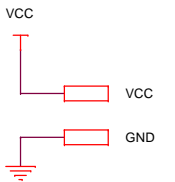
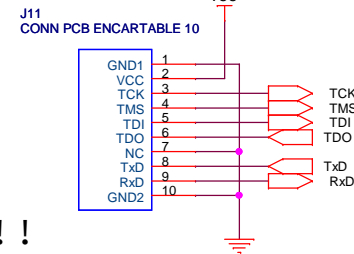
INTERFACES

Connecteur
Alimentation / Relais

FASTON 2.8x0.8mm



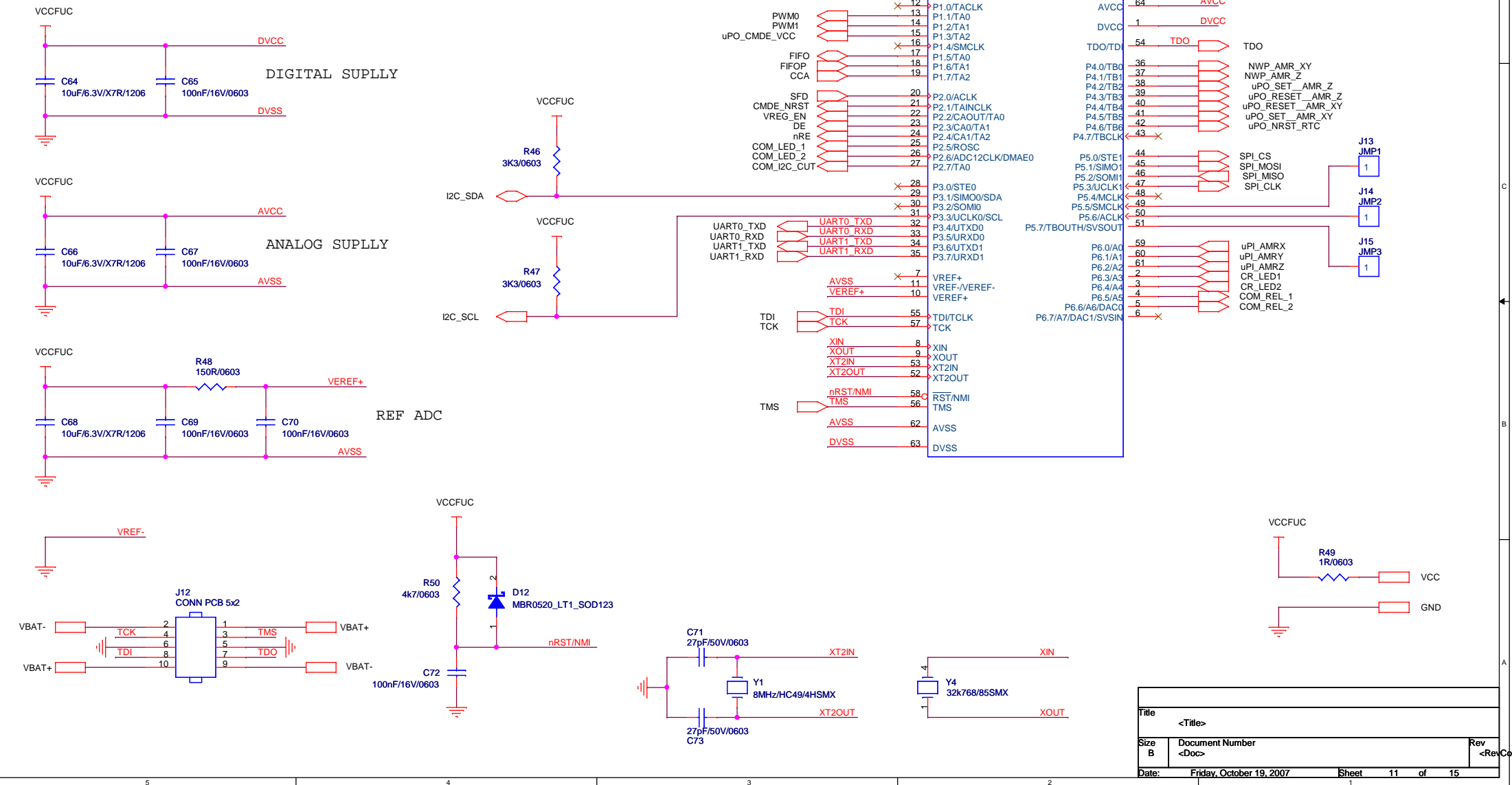
Connecteur Carte



Title		
Interfaces		
Size B	Document Number <Doc>	Rev <RevCode>
Date:	Tuesday, November 20, 2007	Sheet 10 of 15

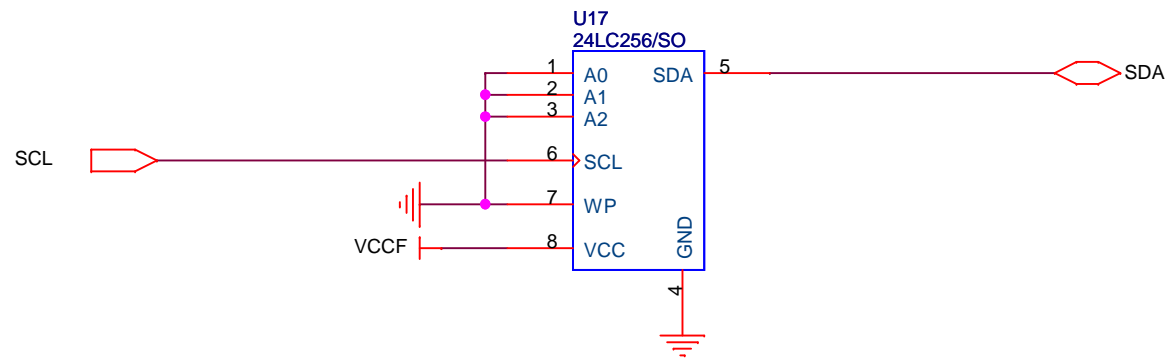
MICROCONTROLEUR

Alimentation 3.3V

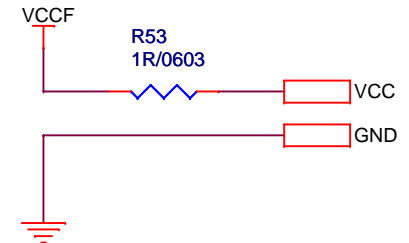
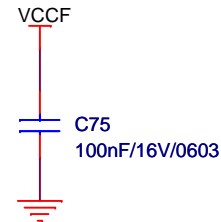


Title			<Title>
Size	Document Number	Rev	
B	<Doc>	<RevCode>	
Date:	Friday, October 19, 2007	Sheet	11 of 15

SERIAL EEPROM

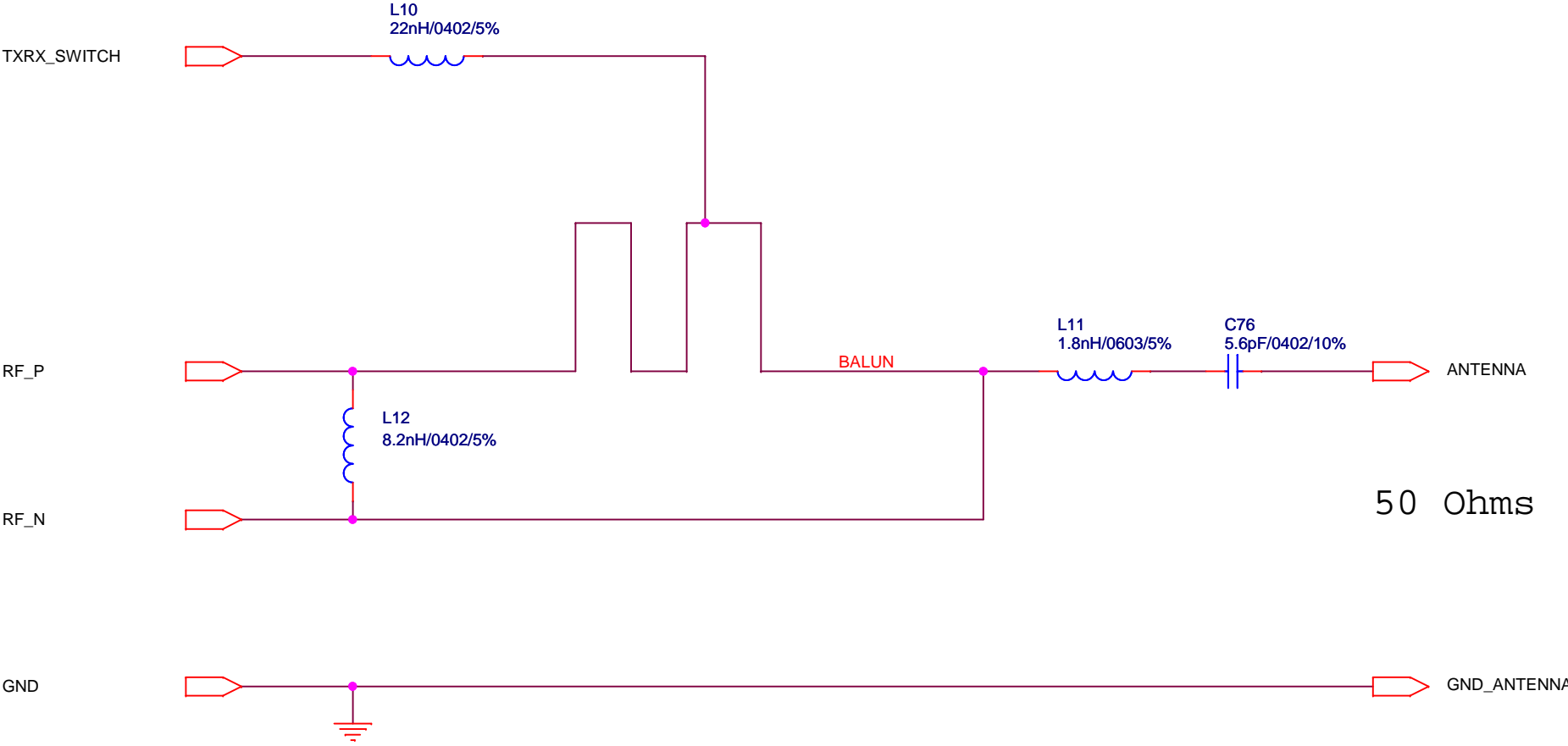


AD : 1010 000+R/W



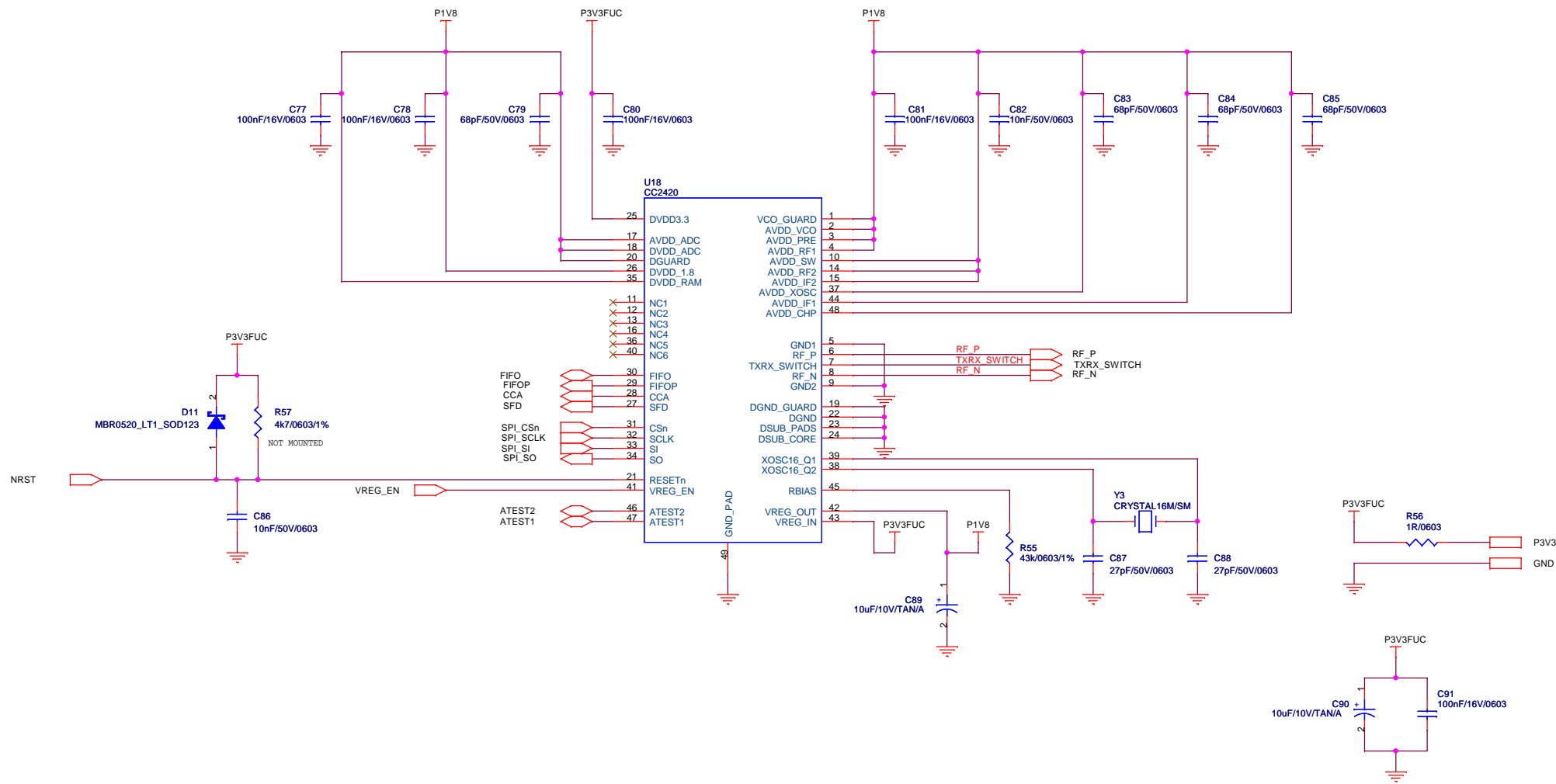
Title			
SERIAL EEPROM			
Size	Document Number		Rev
A	<Doc>		1
Date:	Tuesday, November 20, 2007	Sheet	13 of 15

TRANSMISSION LINE BALUN



Title			
Discrete Balun			
Size	Document Number		Rev
A	<Doc>		<RevCode>
Date:	Friday, October 19, 2007		Sheet 14 of 15

ZIGBEE CC2420



Title		
ZIGBEE		
Size	Document Number	Rev
A3	<Doc>	<RevCode>
Date:	Friday, October 19, 2007	Sheet 15 of 15

```
1  /*-----*/
2  /*  Library for CZAME parking system                      */
3  /*  RAVEL - 2007                                          */
4  /*  Headerfile amr_autoconf.h                            */
5  /*  */
6  /*  Use the ADC to work with the sensors                  */
7  /*-----*/
8
9  #ifndef _AMR_AUTOCONF_H_
10 #define _AMR_AUTOCONF_H_
11
12 /***** FUNCTIONS *****/
13 extern void amr_init_calibration(void);    // Configures the axis offsets.
14 extern void amr_average(void);            // Calculate the average value of any axis
15 extern void amr_detection(void);          // Calculate the parking place state
16 extern void amr_dyn_calib (void);         // Calculalate a constantly approximation to
17                                           // the mean value
18 #endif // _AMR_AUTOCONF_H_
19
```

```

1  /*-----*/
2  /* Library for CZAME parking system */
3  /* RAVEL - 2007 */
4  /* Classfile amr_autoconf.c */
5  /* */
6  /* Configures the sensors. */
7  /*-----*/
8
9  /***** INCLUDES *****/
10 #include "amr.h"
11 #include "czame.h"
12 #include "pwm.h"
13 #include "i2c.h"
14 #include "amr_autoconf.h"
15 #include "definitions.h"
16 #include "variables.h"
17 #include <io.h>
18 #include <stdbool.h>
19
20
21 /***** INTERN CONSTANTS *****/
22 #define SEC_AVR 20
23
24 #define AUTOCONF_CYCLES 8
25 #define AUTOCONF_THRESHOLD_H 3584
26 #define AUTOCONF_THRESHOLD_L 512
27 #define AUTOCALIB_TIME 10
28 #define AUTOCALIB_OFFSET_CORR 1
29
30 #define TRIGGER_THRESHOLD_H 44
31 #define DETECTION_THRESHOLD_H 44
32 #define DETECTION_THRESHOLD_L 44
33
34
35 /***** STATIC FILE VARIABLES *****/
36 static uint32_t x_avg_256_8 = 0; //(512*256)
37 static uint32_t y_avg_256_8 = 0; //(512*256)
38 static uint32_t z_avg_256_8 = 0; //(512*256)
39 static uint32_t x_avg_256_32 = 0; //(512*256)
40 static uint32_t y_avg_256_32 = 0; //(512*256)
41 static uint32_t z_avg_256_32 = 0; //(512*256)
42
43 uint32_t x_avg_8;
44 uint32_t x_avg_32;
45 uint32_t x_avg_64;
46 uint32_t y_avg_8;
47 uint32_t y_avg_32;
48 uint32_t y_avg_64;
49 uint32_t z_avg_8;
50 uint32_t z_avg_32;
51 uint32_t z_avg_64;
52
53
54 /***** FUNCTIONS *****/
55
56 /*****
57 /* Calculate the avarage value of any axis. */
58 /*
59 /* @DATE : 26.11.2007
60 /* @AUTHOR : Ravel
61 /* @INPUT : -
62 /* @OUPUT : -
63 /* @REVISION : v1.0
64 *****/
65 void amr_average(void)
66 {
67     /*--- Define static variables
68
69     // static uint32_t x_avg_256_64 = 131072; //(512*256)
70     // static uint32_t y_avg_256_64 = 131072; //(512*256)
71     // static uint32_t z_avg_256_64 = 131072; //(512*256)
72
73     /*--- Calculate the avarages
74     /*.. Average 8
75     /* x_avg_256_8 = (x_avg_256_8*7 + x*256) / 8 */
76     /* x_avg_8 = x_avg_256_8 / 256 */

```

```

77
78   x_avg_256_8 = ((x_avg_256_8<<3) - x_avg_256_8) + (x<<8);
79   x_avg_256_8 = x_avg_256_8>>3;
80   x_avg_8      = (x_avg_256_8 >> 8);
81
82   y_avg_256_8 = ((y_avg_256_8<<3) - y_avg_256_8) + (y<<8);
83   y_avg_256_8 = y_avg_256_8>>3;
84   y_avg_8      = (y_avg_256_8 >> 8);
85
86   z_avg_256_8 = ((z_avg_256_8<<3) - z_avg_256_8) + (z<<8);
87   z_avg_256_8 = z_avg_256_8>>3;
88   z_avg_8      = (z_avg_256_8 >> 8);
89
90   //.. Average 32 --> used in car detection
91   /* x_avg_256_32 = (x_avg_256_32*31 + x*256) / 32 */
92   /* x_avg_32 = x_avg_256_32 / 256 */
93
94   x_avg_256_32 = ((x_avg_256_32<<5) - x_avg_256_32) + (x<<8);
95   x_avg_256_32 = x_avg_256_32>>5;
96   x_avg_32      = (x_avg_256_32 >> 8);
97
98   y_avg_256_32 = ((y_avg_256_32<<5) - y_avg_256_32) + (y<<8);
99   y_avg_256_32 = y_avg_256_32>>5;
100  y_avg_32      = (y_avg_256_32 >> 8);
101
102  z_avg_256_32 = ((z_avg_256_32<<5) - z_avg_256_32) + (z<<8);
103  z_avg_256_32 = z_avg_256_32>>5;
104  z_avg_32      = (z_avg_256_32 >> 8);
105
106  // //.. Average 256 --> used in dynamic auto calibration
107  // /* x_avg_256_64 = (x_avg_256_64*255 + x*256) / 256 */
108  // /* x_avg_256 = x_avg_256_64 / 256 */
109  //
110  // x_avg_256_64 = ((x_avg_256_64<<8) - x_avg_256_64) + (x<<8);
111  // x_avg_256_64 = x_avg_256_64>>8;
112  // x_avg_64      = (x_avg_256_64 >> 8);
113  //
114  // y_avg_256_64 = ((y_avg_256_64<<8) - y_avg_256_64) + (y<<8);
115  // y_avg_256_64 = y_avg_256_64>>8;
116  // y_avg_64      = (y_avg_256_64 >> 8);
117  //
118  // z_avg_256_64 = ((z_avg_256_64<<8) - z_avg_256_64) + (z<<8);
119  // z_avg_256_64 = z_avg_256_64>>8;
120  // z_avg_64      = (z_avg_256_64 >> 8);
121 }
122
123 /*****
124 /* Calculate the parking place state.
125 /*
126 /* @DATE      : 26.11.2007
127 /* @AUTHOR    : Ravel
128 /* @INPUT     : -
129 /* @OUTPUT    : -
130 /* @REVISION  : v1.0
131 /*****/
132 void amr_detection(void)
133 {
134     static int16_t counter = 0;
135     static uint8_t counter_thld = 0;
136     static bool triggerState = false;
137     static uint8_t detect_threshold = DETECTION_THRESHOLD_H;
138
139     gState_s = (ABS((int)z_avg_32-512 + gZ_offset)
140                 +ABS((int)x_avg_32-512 + gX_offset)
141                 +ABS((int)y_avg_32-512 + gY_offset)) > detect_threshold;
142
143     if(gState_s)
144     {
145         if(counter == (3*BPS))
146             gState = true;
147         else
148             counter++;
149     }
150     else
151     {
152         counter = 0;

```

```

153     if(gState)
154     {
155         gState = false;
156         triggerState = false;
157         detect_threshold = DETECTION_THRESHOLD_H;
158     }
159
160     if(!triggerState)
161     {
162         triggerState=(ABS((int)z_avg_8-512 + gZ_offset)
163                     +ABS((int)x_avg_8-512 + gX_offset)
164                     +ABS((int)y_avg_8-512 + gY_offset)) > TRIGGER_THRESHOLD_H;
165
166         if(triggerState)
167         {
168             counter_thld = 5*BPS;
169             detect_threshold = DETECTION_THRESHOLD_L;
170         }
171     }
172
173     if(counter_thld > 0)
174     {
175         counter_thld--;
176     }
177     else
178     {
179         triggerState = false;
180         detect_threshold = DETECTION_THRESHOLD_H;
181     }
182 }
183
184 //... Feed algorithm with ADC values to calculate the parking state
185 // (--> If the parking state change the callback function 'notify' will be called)
186 // czame_play(x+gX_offset,y+gY_offset,z+gZ_offset);
187 }
188
189 /*****
190 /* [static] - Make captures for the mean value initialisation -> calculate avarage. */
191 /* */
192 /* @DATE      : 26.11.2007 */
193 /* @AUTHOR    : Ravel */
194 /* @INPUT     : - */
195 /* @OUPUT     : - */
196 /* @REVISION  : v1.0 */
197 /*****/
198 static void amr_capture(void)
199 {
200     int16_t i;
201     amr_degauss();
202     pwm_on();
203     amr_start(BPS);
204     _BIS_SR(LPM3_bits+GIE);
205     amr_stop();
206     x_avg_256_32 = x<<8;
207     y_avg_256_32 = y<<8;
208     z_avg_256_32 = z<<8;
209     x_avg_256_8 = x_avg_256_32;
210     y_avg_256_8 = y_avg_256_32;
211     z_avg_256_8 = z_avg_256_32;
212     amr_start(BPS);
213     for(i = 0; i < (SEC_AVR*BPS); i++)
214     {
215         _BIS_SR(LPM3_bits+GIE);
216         amr_average();
217     }
218     amr_stop();
219     pwm_on();
220 }
221
222 /*****
223 /* Initialize the sensors of the best mean value (potentiometer offset). */
224 /* */
225 /* @DATE      : 26.11.2007 */
226 /* @AUTHOR    : Ravel */
227 /* @INPUT     : - */
228 /* @OUPUT     : - */

```

```
229  /* @REVISION   : v1.0                                                    */
230  /*****                                                    */
231  void amr_init_calibration(void)
232  {
233      /*--- Define variables
234          uint8_t i;                // counter variable
235          int16_t ofs_x,ofs_y,ofs_z; // axis offsets
236          struct { bool x, y, z; } found;
237          uint8_t ofsChange[AUTOCONF_CYCLES];
238
239          pwm_on();
240
241          amr_init();
242          i2c_init();
243
244          /*--- Initialize variables
245          ofs_x = 128;                // middle of range
246          ofs_y = 128;                // middle of range
247          ofs_z = 128;                // middle of range
248          found.x = false;
249          found.y = false;
250          found.z = false;
251          for(i = 0; i < AUTOCONF_CYCLES; i++)
252          {
253              ofsChange[i] = 128 >> i;
254          }
255
256          amr_degauss();
257          amr_degauss();
258          amr_degauss();
259          amr_degauss();
260          amr_degauss();
261          amr_degauss();
262          amr_degauss();
263
264          /*--- Search best offset for potentiometers
265          i = 1;
266          led_2_on();
267          do
268          {
269              pwm_on();
270              amr_stop();
271              /*.. Set offset
272              amr_set_x_ofs(ofs_x);
273              amr_set_y_ofs(ofs_y);
274              amr_set_z_ofs(ofs_z);
275
276              /*.. Call amr_capture : search stability value
277              amr_capture();
278
279              /*.. Check if stability is reached
280              if (!found.x)
281              {
282                  if ((x_avg_32 <= AUTOCONF_THRESHOLD_H) && (x_avg_32 >= AUTOCONF_THRESHOLD_L))
283                  {
284                      found.x = true;
285                      gX_offset = 512 - x_avg_32;
286                  }
287                  else
288                  {
289                      if (x_avg_32 < AUTOCONF_THRESHOLD_L)
290                          ofs_x = ofs_x + ofsChange[i];
291                      else
292                          ofs_x = ofs_x - ofsChange[i];
293                  }
294              }
295
296              if (!found.y)
297              {
298                  if ((y_avg_32 <= AUTOCONF_THRESHOLD_H) && (y_avg_32 >= AUTOCONF_THRESHOLD_L))
299                  {
300                      found.y = true;
301                      gY_offset = 512 - y_avg_32;
302                  }
303                  else
304                  {
```

```

305         if (y_avg_32 < AUTOCONF_THRESHOLD_L)
306             ofs_y = ofs_y + ofsChange[i];
307         else
308             ofs_y = ofs_y - ofsChange[i];
309     }
310 }
311
312 if (!found.z)
313 {
314     if ((z_avg_32 <= AUTOCONF_THRESHOLD_H) && (z_avg_32 >= AUTOCONF_THRESHOLD_L))
315     {
316         found.z = true;
317         gZ_offset = 512 - z_avg_32;
318     }
319     else
320     {
321         if (z_avg_32 < AUTOCONF_THRESHOLD_L)
322             ofs_z = ofs_z + ofsChange[i];
323         else
324             ofs_z = ofs_z - ofsChange[i];
325     }
326 }
327
328 //.. Leave loop when all values are found
329 if ((found.x) && (found.y) && (found.z))
330     break;
331
332 //.. Increment counter
333 i++;
334 } while (i != AUTOCONF_CYCLES);
335
336 if (!((found.x) && (found.y) && (found.z)))
337 {
338     amr_capture();
339     gX_offset = 512 - x_avg_32;
340     gY_offset = 512 - y_avg_32;
341     gZ_offset = 512 - z_avg_32;
342 }
343
344 amr_start(BPS);
345
346 led_2_off();
347 }
348
349 /*****
350 /* Calculatate a constantly approximation to the mean value.
351 /*
352 /* @DATE      : 26.11.2007
353 /* @AUTHOR    : Ravel
354 /* @INPUT     : -
355 /* @OUPUT     : -
356 /* @REVISION  : v1.0
357 /*****/
358 void amr_dyn_calib (void)
359 {
360     //--- Definition and initialisation of STATIC variables
361     static uint16_t x_counter = BPS * AUTOCALIB_TIME;
362     static uint16_t y_counter = BPS * AUTOCALIB_TIME;
363     static uint16_t z_counter = BPS * AUTOCALIB_TIME;
364     static uint16_t x_pos = 512;
365     static uint16_t y_pos = 512;
366     static uint16_t z_pos = 512;
367
368     //--- If a car is detect leave this function and reset the counters
369     if(gState)
370     {
371         x_counter = BPS * AUTOCALIB_TIME;
372         y_counter = BPS * AUTOCALIB_TIME;
373         z_counter = BPS * AUTOCALIB_TIME;
374         return;
375     }
376
377     //--- Decrement the counters
378     x_counter--;
379     y_counter--;
380     z_counter--;

```



```
381
382  if (x_counter == 0)
383  {
384      x_pos = x_avg_32 + gX_offset;
385
386      if (x_pos > 512)
387          gX_offset = gX_offset - AUTOCALIB_OFFSET_CORR;
388      else
389          gX_offset = gX_offset + AUTOCALIB_OFFSET_CORR;
390
391      x_counter = BPS * AUTOCALIB_TIME;
392  }
393
394  if (y_counter == 0)
395  {
396      y_pos = y_avg_32 + gY_offset;
397
398      if (y_pos > 512)
399          gY_offset = gY_offset - AUTOCALIB_OFFSET_CORR;
400      else
401          gY_offset = gY_offset + AUTOCALIB_OFFSET_CORR;
402
403      y_counter = BPS * AUTOCALIB_TIME;
404  }
405
406  if (z_counter == 0)
407  {
408      z_pos = z_avg_32 + gZ_offset;
409
410      if (z_pos > 512)
411          gZ_offset = gZ_offset - AUTOCALIB_OFFSET_CORR;
412      else
413          gZ_offset = gZ_offset + AUTOCALIB_OFFSET_CORR;
414
415      z_counter = BPS * AUTOCALIB_TIME;
416  }
417 }
418
```

```
1  /*-----*/
2  /*  Library for CZAME parking system                                */
3  /*  RAVEL - 2007                                                    */
4  /*  Headerfile amr.h                                              */
5  /*                                                                */
6  /*  Use the ADC to work with the sensors                          */
7  /*-----*/
8
9  #ifndef _AMR_H_
10 #define _AMR_H_
11
12 /***** INCLUDES *****/
13 #include <stdint.h>
14
15
16 /***** INTERN GLOBAL VARIABLE *****/
17 extern volatile uint32_t x, y, z;
18
19
20 /***** FUNCTIONS *****/
21 void    amr_init      (void);           // Initialize the ADC to use the sensors.
22 void    amr_start     (uint8_t bps);    // Start ADC sampling. [Using TimerB]
23 void    amr_stop      (void);           // Stop ADC sampling. [Using TimerB]
24 uint8_t amr_get_x_ofs (void);           // Get X axis offset.
25 void    amr_set_x_ofs (uint8_t x_ofs);  // Set X axis offset.
26 uint8_t amr_get_y_ofs (void);           // Get Y axis offset.
27 void    amr_set_y_ofs (uint8_t y_ofs);  // Set Y axis offset.
28 uint8_t amr_get_z_ofs (void);           // Get Z axis offset.
29 void    amr_set_z_ofs (uint8_t z_ofs);  // Set Z axis offset.
30 void    amr_degauss   (void);           // Sensors reconfiguration (degauss).
31
32 #endif // _AMR_H_
33
```

```

1  /*-----*/
2  /* Library for CZAME parking system */
3  /* RAVEL - 2007 */
4  /* Classfile amr.c */
5  /* */
6  /* Use the ADC to work with the sensors */
7  /*-----*/
8
9  /***** INCLUDES *****/
10 #include "amr.h"
11 #include "pwm.h"
12 #include "definitions.h"
13 #include "i2c.h"
14 #include "sleep.h"
15 #include <io.h>
16 #include <signal.h>
17
18
19 /***** INTERN CONSTANTS *****/
20 #define I2C_AMR_XY 0x2C // I2C-address of 2 the axis sensor
21 #define I2C_AMR_Z 0x2D // I2C-address of 1 the axis sensor
22
23 #define AMR_XY_SET BIT5 // <P4.5>
24 #define AMR_XY_RESET BIT4 // <P4.4>
25 #define AMR_XY_NWP BIT0 // <P4.0>
26 #define AMR_Z_SET BIT2 // <P4.2>
27 #define AMR_Z_RESET BIT3 // <P4.3>
28 #define AMR_Z_NWP BIT1 // <P4.1>
29
30
31 /***** INTERN GLOBAL VARIABLES *****/
32 volatile uint32_t x, y, z; // variables with values of the 3 axis
33
34
35 /***** INTERN STRUCTORGRAMS *****/
36 struct { uint8_t x, y, z; } ofs; // sensor offset structogramm
37
38
39 /***** FUNCTIONS *****/
40
41 /*****
42 /* Set X axis offset. */
43 /*
44 /* @DATE : 08.11.2007
45 /* @AUTHOR : Ravel
46 /* @INPUT : uint8_t i > offset value
47 /* @OUPUT : -
48 /* @REVISION : v1.0
49 *****/
50 void amr_set_x_ofs (uint8_t i)
51 {
52     P4OUT |= AMR_XY_NWP; // Set sensor NWP as HIGH => 1
53
54     i2c_write(I2C_AMR_XY, 2, 0x01, ofs.y=i); // Write in RDAC (potentiometer)
55     i2c_write(I2C_AMR_XY, 2, 0x21, ofs.y=i); // Write in EEMEM (potentiometer)
56     DELAY(100*MSEC);
57
58     P4OUT &= ~(AMR_XY_NWP); // Set sensor NWP as LOW => 0
59 }
60
61
62 /*****
63 /* Set Y axis offset.
64 /*
65 /* @DATE : 08.11.2007
66 /* @AUTHOR : Ravel
67 /* @INPUT : uint8_t i > offset value
68 /* @OUPUT : -
69 /* @REVISION : v1.0
70 *****/
71 void amr_set_y_ofs (uint8_t i)
72 {
73     P4OUT |= AMR_XY_NWP; // set sensor NWP as HIGH => 1
74
75     i2c_write(I2C_AMR_XY, 2, 0x03, ofs.y=i); // Write in RDAC (potentiometer)
76     i2c_write(I2C_AMR_XY, 2, 0x23, ofs.y=i); // Write in EEMEM (potentiometer)

```

```
77     DELAY(100*MSEC);
78
79     P4OUT &= ~(AMR_XY_NWP);           // Set sensor NWP as LOW => 0
80 }
81
82 /*****
83  * Set Z axis offset.
84  */
85  * @DATE      : 08.11.2007
86  * @AUTHOR    : Ravel
87  * @INPUT     : uint8_t i > offset value
88  * @OUPUT     : -
89  * @REVISION  : v1.0
90  */
91 void amr_set_z_ofs (uint8_t i)
92 {
93     P4OUT |= AMR_Z_NWP;               // Set sensor NWP as HIGH => 1
94
95     i2c_write(I2C_AMR_Z, 2, 0x01, ofs.z=i); // Write in RDAC (potentiometer)
96     i2c_write(I2C_AMR_Z, 2, 0x21, ofs.z=i); // Write in EEMEM (potentiometer)
97     DELAY(100*MSEC);
98
99     P4OUT &= ~(AMR_Z_NWP);           // Set sensor NWP as LOW => 0
100 }
101
102 /*****
103  * Get X axis offset.
104  */
105  * @DATE      : 08.11.2007
106  * @AUTHOR    : Ravel
107  * @INPUT     : -
108  * @OUPUT     : uint8_t < offset value
109  * @REVISION  : v1.0
110  */
111 uint8_t amr_get_x_ofs (void)
112 {
113     return ofs.x;
114 }
115
116 /*****
117  * Get Y axis offset.
118  */
119  * @DATE      : 08.11.2007
120  * @AUTHOR    : Ravel
121  * @INPUT     : -
122  * @OUPUT     : uint8_t < offset value
123  * @REVISION  : v1.0
124  */
125 uint8_t amr_get_y_ofs (void)
126 {
127     return ofs.y;
128 }
129
130 /*****
131  * Get Z axis offset.
132  */
133  * @DATE      : 08.11.2007
134  * @AUTHOR    : Ravel
135  * @INPUT     : -
136  * @OUPUT     : uint8_t < offset value
137  * @REVISION  : v1.0
138  */
139 uint8_t amr_get_z_ofs (void)
140 {
141     return ofs.z;
142 }
143
144 /*****
145  * Initialize the ADC to use the sensors.
146  */
147  * @DATE      : 08.11.2007
148  * @AUTHOR    : Ravel
149  * @INPUT     : -
150  * @OUPUT     : -
151  * @REVISION  : v1.0
152  */
```

```

153 void amr_init (void)
154 {
155     //--- Configuration of write protect pin of the sensors
156     //      (if this pin is HIGH it's no more possible to write on the sensor)
157     P4DIR |= (AMR_XY_NWP + AMR_Z_NWP); // set sensor NWP pins as output
158     P4OUT &= ~(AMR_XY_NWP + AMR_Z_NWP); // set sensor NWP as low => 0
159
160     //--- Configuration of the Analog/Digital Converter (ADC)
161     P6SEL |= BIT0 + BIT1 + BIT2; // Enable A/D inputs (A0=X, A1=Y, A2=Z)
162     ADC12CTL0 = ADC12ON + MSC + SHT0_2;
163     ADC12CTL1 = SHP + CONSEQ_1;
164     ADC12MCTL0 = INCH_0; // Channel=A0
165     ADC12MCTL1 = INCH_1; // Channel=A1
166     ADC12MCTL2 = INCH_2 + EOS; // Channel=A2, end seq.
167     ADC12IE = BIT2; // Enable ADCIFG.2
168     ADC12CTL0 |= ENC; // Enable conversions
169 }
170
171 /***** Sensors reconfiguration (degauss). */
172 /* */
173 /* @DATE : 08.11.2007 */
174 /* @AUTHOR : Ravel */
175 /* @INPUT : - */
176 /* @OUPUT : - */
177 /* @REVISION : v1.0 */
178 /***** */
179
180 void amr_degauss (void)
181 {
182     // ATTENTION: Do NOT set SET=0 et RESET=1 at the same time !
183
184     // Start S=1 R=1, Wait 100ms >>> T0
185     // Toggle-Reset S=1 R=0, Wait 43us >>> T1
186     // Toggle-Set S=0 R=0, Wait 100ms >>> T2
187     // Toggle-Set S=1 R=0, Wait 43us >>> T3
188     // Toggle-Reset S=1 R=1, Wait 200ms >>> T4
189     // Stop S=1 R=1
190
191     //
192     // RESET -----|-----|-----
193     //
194     //
195     // ... | T0 | T1 | T2 | T3 | T4 | ...
196     //
197     //
198     // SET -----|-----|-----
199     //
200
201     amr_stop(); // Stops the reading the sensors
202     _DINT(); // Disable the interrupts
203     pwm_on(); // Turn on the PWM
204
205     P4OUT |= (AMR_XY_SET + AMR_Z_SET + AMR_XY_RESET + AMR_Z_RESET); // S=1 R=1
206     P4DIR |= (AMR_XY_RESET + AMR_Z_RESET + AMR_XY_SET + AMR_Z_SET );
207     DELAY(100*MSEC); // Wait 100 ms
208
209     P4OUT &= ~( AMR_XY_RESET + AMR_Z_RESET); // S=1 R=0
210     //DELAY(10); // Wait 43 us
211
212     P4OUT &= ~(AMR_XY_SET + AMR_Z_SET); // S=0 R=0
213     DELAY(100*MSEC); // Wait 100 ms
214
215     pwm_off(); // Turn off the PWM
216
217     P4OUT |= (AMR_XY_SET + AMR_Z_SET); // S=1 R=0
218     //DELAY(10); // Wait 43 us
219
220     P4OUT |= (AMR_XY_RESET + AMR_Z_RESET); // S=1 R=1
221
222     _EINT(); // Enable the interrupts
223
224     amr_start(BPS); // Restarts the reading the sensors
225
226
227
228

```

```

229     DELAY(200*MSEC);                // Wait 200 ms
230 }
231
232 /*****
233 /* Start ADC sampling. [Using TimerB]
234 /*
235 /* @DATE      : 08.11.2007
236 /* @AUTHOR    : Ravel
237 /* @INPUT     : uint8_t bps > speed of sampling (samplings per second)
238 /* @OUPUT    : -
239 /* @REVISION  : v1.0
240 *****/
241 void amr_start (uint8_t bps)
242 {
243     TBCCTL0 &= ~CCIE;                // CCR0 interrupt disabled
244     TBCTL = TBSSEL_1 + ID_0 + MC_1; // ACLK/1, Up mode (:= 32768 Hz)
245     TBCCR0 = 32768/bps;
246     TBCCTL0 |= CCIE;                // CCR0 interrupt enabled
247 }
248
249 /*****
250 /* Stop ADC sampling. [Using TimerB]
251 /*
252 /* @DATE      : 08.11.2007
253 /* @AUTHOR    : Ravel
254 /* @INPUT     : -
255 /* @OUPUT    : -
256 /* @REVISION  : v1.0
257 *****/
258 void amr_stop (void)
259 {
260     TBCCTL0 &= ~CCIE;                // CCR0 interrupt disabled
261 }
262
263 /*****
264 /* [INTERRUPT] - TimerB interrupt
265 /*
266 /* @DATE      : 08.11.2007
267 /* @AUTHOR    : Ravel
268 /* @INPUT     : -
269 /* @OUPUT    : -
270 /* @REVISION  : v1.0
271 *****/
272 interrupt (TIMERB0_VECTOR) timerb_isr (void)
273 {
274     pwm_on();
275     ADC12CTL0 |= ADC12SC;
276 }
277
278 /*****
279 /* [INTERRUPT] - ADC interrupt
280 /*
281 /* @DATE      : 08.11.2007
282 /* @AUTHOR    : Ravel
283 /* @INPUT     : -
284 /* @OUPUT    : -
285 /* @REVISION  : v1.0
286 *****/
287 interrupt (ADC12_VECTOR) adc12_isr (void)
288 {
289     pwm_off();
290
291     x = ADC12MEM0;                    // Assign ADC value to sensor variable x
292     y = ADC12MEM1;                    // Assign ADC value to sensor variable y
293     z = ADC12MEM2;                    // Assign ADC value to sensor variable z
294
295     _BIC_SR_IRQ(LPM3_bits);          // Clear SR_IRQ from low power mode 0 >>> AM
296 }
297

```

```
1  /*-----*/
2  /*  Library for CZAME parking system                      */
3  /*  RAVEL - 2007                                          */
4  /*  Headerfile cc2420.h                                  */
5  /*  */
6  /*  Class to work with the CC2420 Chipcon Transceiver    */
7  /*-----*/
8
9  #ifndef _CC2420_H_
10 #define _CC2420_H_
11
12 /***** INCLUDES *****/
13 #include <stdint.h>
14
15
16 /***** FUNCTIONS *****/
17 void cc2420_init (void);           // Initialition of the CC2420.
18
19 void cc2420_set_reg (uint8_t, uint16_t); // Writes in a register.
20 uint16_t cc2420_get_reg (uint8_t);      // Reads from a register.
21 uint8_t cc2420_get_status (void);       // Read status of CC2420.
22 void cc2420_strobe (uint8_t);           // Calls a strobe register.
23
24 void cc2420_write_fifo (uint8_t, uint8_t*); // Write in CC2420 TX_FIFO to send a RF-Frame.
25 void cc2420_read_fifo (uint8_t, uint8_t*); // Reads from CC2420 RX_FIFO
26
27 void cc2420_set_reg_ram (uint8_t, uint8_t, uint16_t*); // Write to a RAM register.
28 void cc2420_get_reg_ram (uint8_t, uint8_t, uint16_t*); // Reads from a RAM register.
29
30 extern void (*fifop_callback)(void); // Callback function by flag FIFOP
31 extern void (*fifo_callback) (void); // Callback function by flag FIFO
32
33 #endif // endif _CC2420_H_
34
```



```

1  /*-----*/
2  /* Library for CZAME parking system */
3  /* RAVEL - 2007 */
4  /* Classfile cc2420.c */
5  /* */
6  /* Class to work with the CC2420 Chipcon Transceiver */
7  /*-----*/
8
9  /***** INCLUDES *****/
10 #include "cc2420.h"
11 #include "definitions.h"
12 #include "spi.h"
13 #include <io.h>
14 #include <signal.h>
15 #include <stdint.h>
16
17
18 /***** INTERN CONSTANTS *****/
19 #define CC2420_SELECT CS0_ENABLE
20 #define CC2420_DESELECT CS0_DISABLE
21
22 // Format for the access at registers
23 #define REG_WRITE_FORMAT(a) a &= 0x3F // Address
24 #define REG_READ_FORMAT(a) a |= 0x40 // Address
25
26 // Format for the access at the RAM
27 #define RAM_WRITE_FORMAT(a) a |= 0x80 // Address
28 #define RAM_READ_FORMAT(a) a |= 0x80 // Address
29
30 // Format for the strobes
31 #define STROBE_FORMAT(a) REG_WRITE_FORMAT(a)
32
33 // Diver definitions
34 #define REG_BANK_WRITE 0x80 // Bank to write access at register of RAM
35 #define REG_BANK_READ 0xA0 // Bank to read access at register of RAM
36
37
38 /***** CALLBACK FUNCTIONS *****/
39 void (*fifop_callback)(void) = 0;
40 void (*fifo_callback)(void) = 0;
41
42
43 /***** FUNCTIONS *****/
44
45 /*****
46 /* Initiation of the CC2420.
47 /*
48 /* @DATE : 09.11.2007
49 /* @AUTHOR : Ravel
50 /* @INPUT : -
51 /* @OUPUT : -
52 /* @REVISION : v1.0
53 *****/
54 void cc2420_init(void)
55 {
56     //---Variables
57     //uint8_t status;
58
59     //---Pin configuration
60     P2DIR |= CC2420_VREG + CC2420_RESET; // Set VREG and RESET as output
61     // P2DIR &= ~CC2420_SFD; // Set SFD (Start of Frame Delimiter) as input
62     P2OUT &= ~(CC2420_VREG + CC2420_RESET); // Set VREG and RESET at Low level
63     // (VREG = OFF and RESET = ACTIV)
64
65     /*
66     P1DIR &= ~(CC2420_FIFO + CC2420_FIFOP + CC2420_CCA); // Set FIFO, FIFOP, CCA as inputs
67     P1IES &= ~CC2420_FIFOP; // Interruption of FIFOP at rising edge
68     P1IES |= CC2420_FIFO; // Interruption of FIFO at falling edge
69     P1IFG &= ~(CC2420_FIFO + CC2420_FIFOP); // Reset interruption flag of FIFOP and FIFO
70     */
71
72     CC2420_VREG_ON; // Set VREG at HIGH level
73
74     spi_init();
75     //DELAY(100); // Waiting for enable the regulator
76

```

```

77     P2OUT &= ~CC2420_RESET;           // Reset the 2420 -> Set Low level
78     //DELAY(100);                     // Waiting
79
80     P2OUT |= CC2420_RESET;             // End of reset -> Reset High level
81
82     cc2420_strobe(CC2420_SXOSCON);     // Turn on the crystal oscillator
83
84     // do
85     // {
86     //     status = cc2420_get_status(); // Read status-bits of the CC2420
87     // }
88     // while(!(status & 0x40));         // Wait as long as the oscillator is stabilized
89
90     // P1IE |= (CC2420_FIFO + CC2420_FIFOP); // Release the interrupts FIFO and FIFOP
91 }
92
93 /*****
94  * Writes in a register.
95  */
96  * @DATE      : 09.11.2007
97  * @AUTHOR    : Ravel
98  * @INPUT     : uint8_t  adr > Address of register
99  *             uint16_t data > Data
100  * @OUPUT     : -
101  * @REVISION  : v1.0
102  *****/
103 void cc2420_set_reg(uint8_t adr, uint16_t data)
104 {
105     //---Variables
106     uint8_t data_tmp = 0;
107
108     //---Correct address conversion to write a register
109     REG_WRITE_FORMAT(adr);
110
111     //---Writing in register over SPI
112     CC2420_SELECT;                     // Select CC2420 (SPI_CS)
113     spi_send(adr);                     // Send writing address over SPI to CC2420
114     data_tmp = (uint8_t) (data >> 8); // Select the higher byte of data value
115     spi_send(data_tmp);                 // Send the higher byte over SPI to CC2420
116     data_tmp = (uint8_t) data;          // Select the lower byte of data value
117     spi_send(data_tmp);                 // Send the higher byte over SPI to CC2420
118     CC2420_DESELECT;                   // De-select CC2420 (SPI_CS)
119 }
120
121 /*****
122  * Reads from a register.
123  */
124  * @DATE      : 09.11.2007
125  * @AUTHOR    : Ravel
126  * @INPUT     : uint8_t  adr > Address of register
127  * @OUPUT     : uint16_t < Data
128  * @REVISION  : v1.0
129  *****/
130 uint16_t cc2420_get_reg(uint8_t adr)
131 {
132     //---Variables
133     uint16_t data = 0;
134
135     //---Correct address conversion to read a register
136     REG_READ_FORMAT(adr);
137
138     //---Reading from register over SPI
139     CC2420_SELECT;                     // Select CC2420 (SPI_CS)
140     spi_send(adr);                     // Send reading address over SPI to CC2420
141     data = spi_receive();               // Receiving the higher byte over SPI from CC2420
142     data = data << 8;                  // Shift the received bloc to the higher range
143     data = spi_receive();               // Receiving the lower byte over SPI from CC2420
144     CC2420_DESELECT;                   // De-select CC2420 (SPI_CS)
145     return data;
146 }
147
148 /*****
149  * Read status of CC2420.
150  */
151  * @DATE      : 09.11.2007
152  * @AUTHOR    : Ravel

```

```

153  /* @INPUT      : -                                     */
154  /* @OUPUT      : uint8_t < Status                       */
155  /* @REVISION   : v1.0                                   */
156  /*****
157  uint8_t cc2420_get_status(void)
158  {
159      /*--- Variables
160      uint8_t data;
161
162      /*--- Send CC2420_SNOP to receive the status bits <see chipcon CC2420 manual p.29 table.5>
163      CC2420_SELECT;                // Select CC2420 (SPI_CS)
164      spi_send(CC2420_SNOP);        // Send CC2420_SNOP = No operation
165      data = U1RXBUF;               // Receive status-bits
166      CC2420_DESELECT;             // De-select CC2420 (SPI_CS)
167
168      return data;
169  }
170
171  /*****
172  /* Write in CC2420 TX_FIFO to send a RF-Frame.          */
173  /*
174  /* @DATE       : 09.11.2007                             */
175  /* @AUTHOR     : Ravel                                   */
176  /* @INPUT      : uint8_t len    > Length of the frame to send
177  /*              uint8_t *data > pointer with frame (data) to send
178  /* @OUPUT      : -
179  /* @REVISION   : v1.0
180  /*****
181  void cc2420_write_fifo( uint8_t len, uint8_t *data)
182  {
183      /*---Variables
184      uint8_t i,adr;
185
186      /*---Assignment of the TX FIFO address and correct address conversion to write to it
187      adr = CC2420_TXFIFO;
188      REG_WRITE_FORMAT(adr);
189
190      /*---Writing in TX FIFO buffer over SPI
191      CC2420_SELECT;                // Select CC2420 (SPI_CS)
192      spi_send(adr);                // Send writing address over SPI to CC2420
193      for(i = 0; i < len; i++)
194          spi_send(data[i]);        // Send the frame over SPI to CC2420 TX buffer
195      CC2420_DESELECT;             // De-select CC2420 (SPI_CS)
196  }
197
198  /*****
199  /* Reads from CC2420 RX_FIFO -> when a RF-Frame is received.
200  /*
201  /* @DATE       : 09.11.2007                             */
202  /* @AUTHOR     : Ravel                                   */
203  /* @INPUT      : uint8_t len    > Length of the data to read
204  /*              uint8_t *data > pointer to save the readed data
205  /* @OUPUT      : -
206  /* @REVISION   : v1.0
207  /*****
208  void cc2420_read_fifo(uint8_t len, uint8_t *data)
209  {
210      /*---Variables
211      uint8_t i,adr;
212
213      /*---Assignment of the RX FIFO address and correct address conversion to read from it
214      adr = CC2420_RXFIFO;
215      REG_READ_FORMAT(adr);
216
217      /*---Reading in RX FIFO buffer over SPI
218      CC2420_SELECT;                // Select CC2420 (SPI_CS)
219      spi_send(adr);                // Send reading address over SPI to CC2420
220      for(i=0;i<len;i++)
221      {
222          data[i] = spi_receive();  // Receive the frame over SPI from the RX buffer
223      }
224      CC2420_DESELECT;             // De-select CC2420 (SPI_CS)
225  }
226
227  /*****
228  /* Calls a strobe register.

```

```

229  /*
230  /* @DATE      : 09.11.2007
231  /* @AUTHOR    : Ravel
232  /* @INPUT     : uint8_t cmd > Command of strobe
233  /* @OUPUT     : -
234  /* @REVISION  : v1.0
235  /*****
236  void cc2420_strobe(uint8_t cmd)
237  {
238      /*---Correct address conversion to write a strobe register
239      STROBE_FORMAT(cmd);
240
241      /*--- Write to strobe register over SPI
242      CC2420_SELECT;                // Select CC2420 (SPI_CS)
243      spi_send(cmd);                // Send reading address over SPI to CC2420
244      CC2420_DESELECT;             // De-select CC2420 (SPI_CS)
245  }
246
247  /*****
248  /* Write to a RAM register.
249  /*
250  /* @DATE      : 09.11.2007
251  /* @AUTHOR    : Ravel
252  /* @INPUT     : uint8_t adr  > Address of RAM register.
253  /*             uint8_t len  > Length of the data to write
254  /*             uint16_t *data > Pointer with data buffer
255  /* @OUPUT     : -
256  /* @REVISION  : v1.0
257  /*****
258  void cc2420_set_reg_ram(uint8_t adr, uint8_t len, uint16_t *data)
259  {
260      /*---Variables
261      uint16_t i;
262      uint8_t data_tmp;
263
264      /*---Correct address conversion to write to RAM
265      RAM_WRITE_FORMAT(adr);
266
267      /*---Write to RAM over SPI
268      CC2420_SELECT;                // Select CC2420 (SPI_CS)
269      spi_send(adr);                // Send writing address over SPI to CC2420
270      spi_send(REG_BANK_WRITE);     // Send the writing bank address
271      for(i=0;i<len;i++)
272      {
273          spi_send((uint8_t)data[i]); // Send the lower byte over SPI to CC2420
274          data_tmp = (uint8_t) (data[i] >> 8); // Shifting the higher byte to lower byte
275          spi_send(data_tmp);        // Send the higher byte over SPI to CC2420
276      }
277      CC2420_DESELECT;             // De-select CC2420 (SPI_CS)
278  }
279
280  /*****
281  /* Reads from a RAM register.
282  /*
283  /* @DATE      : 09.11.2007
284  /* @AUTHOR    : Ravel
285  /* @INPUT     : uint8_t adr  > Address of RAM register.
286  /*             uint8_t len  > Length of the data to write
287  /*             uint16_t *data > Pointer with data buffer to save the reading values
288  /* @OUPUT     : -
289  /* @REVISION  : v1.0
290  /*****
291  void cc2420_get_reg_ram(uint8_t adr, uint8_t len, uint16_t *data)
292  {
293      /*---Variables
294      uint8_t i;
295      uint16_t data_tmp;
296
297      /*---Correct address conversion to reads from RAM
298      RAM_READ_FORMAT(adr);
299
300      /*---Reads from RAM over SPI
301      CC2420_SELECT;                // Select CC2420 (SPI_CS)
302      spi_send(adr);                // Send reading address over SPI to CC2420
303      spi_send(REG_BANK_READ);      // Send the reading bank address
304      for(i=0;i<len;i++)

```

```
305     {
306         data[i] = spi_receive();           // Receive the lower byte over SPI to CC2420
307         data_tmp = spi_receive();         // Receive the higher byte over SPI to CC2420
308         data[i] |= (data_tmp << 8);       // Shifting the received higher byte
309     }
310     CC2420_DESELECT;                     // De-select CC2420 (SPI_CS)
311 }
312
313 /*****
314  * [INTERRUPT] - PORT1 interrupt
315  */
316 /* @DATE      : 09.11.2007
317  * @AUTHOR    : Ravel
318  * @INPUT     : -
319  * @OUPUT     : -
320  * @REVISION  : v1.0
321  */
322 interrupt(PORT1_VECTOR) port1_isr(void)
323 {
324     //--Call rf2 callback receive function
325     if (P1IFG & CC2420_FIFOP)
326     {
327         P1IFG &= ~CC2420_FIFOP;           // Reset interrupt flag FIFOP
328         (*fifop_callback)();              // Call rf2 callback function
329     }
330
331     //--Call rf2 callback overflow function
332     if (P1IFG & CC2420_FIFO)
333     {
334         P1IFG = 0;                         // Reset interrupt flag to 0
335         (*fifo_callback)();                // Call rf2 callback function
336     }
337 }
338
```

```

1  /*-----*/
2  /* Library for CZAME parking system */
3  /* RAVEL - 2007 */
4  /* Classfile cc2420.c */
5  /* */
6  /* Class to work with the CC2420 Chipcon Transceiver */
7  /*-----*/
8
9  /***** INCLUDES *****/
10 #include "cc2420.h"
11 #include "definitions.h"
12 #include "spi.h"
13 #include <io.h>
14 #include <signal.h>
15 #include <stdint.h>
16
17
18 /***** INTERN CONSTANTS *****/
19
20 // Format for the access at registers
21 #define REG_WRITE_FORMAT(a) a &= 0x3F // Address
22 #define REG_READ_FORMAT(a) a |= 0x40 // Address
23
24 // Format for the access at the RAM
25 #define RAM_WRITE_FORMAT(a) a |= 0x80 // Address
26 #define RAM_READ_FORMAT(a) a |= 0x80 // Address
27
28 // Format for the strobes
29 #define STROBE_FORMAT(a) REG_WRITE_FORMAT(a) // Mise en forme de la commande
30
31 // Diver definitions
32 #define REG_BANK_WRITE 0x80 // Bank to write access at register of RAM
33 #define REG_BANK_READ 0xA0 // Bank to read access at register of RAM
34
35
36 /***** CALLBACK FUNCTIONS *****/
37 void (*fifop_callback)(void) = 0;
38 void (*fifo_callback)(void) = 0;
39
40 /***** STATIC INTERN CLASS VARIABLES *****/
41 static uint8_t cc2420_buffer_rx[1024];
42 static int p_read = 0;
43 static int p_write = 0;
44 static volatile int lenght = 0;
45
46 /***** FUNCTIONS *****/
47
48 /*****
49  * Initialisation of the CC2420.
50  */
51 /* @DATE : 09.11.2007 */
52 /* @AUTHOR : Ravel */
53 /* @INPUT : - */
54 /* @OUPUT : - */
55 /* @REVISION : v1.0 */
56 /*****
57 void cc2420_init(void)
58 {
59     //---Variables
60     uint8_t status;
61
62     //---SPI initialisation
63     spi_init();
64
65     //---Pin configuration
66     P2DIR |= CC2420_VREG + CC2420_RESET; // Set VREG and RESET as output
67     P2DIR &= ~CC2420_SFD; // Set SFD (Start of Frame Delimiter) as input
68     P2OUT &= ~(CC2420_VREG + CC2420_RESET); // Set VREG and RESET at Low level
69                                           // (VREG = OFF and RESET = ACTIV)
70
71     P1DIR &= ~(CC2420_FIFO + CC2420_FIFOP + CC2420_CCA); // Set FIFO, FIFOP, CCA as inputs
72     P1IES &= ~CC2420_FIFOP; // Interruption of FIFOP at rising edge
73     P1IES |= CC2420_FIFO; // Interruption of FIFO at falling edge
74     P1IFG &= ~(CC2420_FIFO + CC2420_FIFOP); // Reset interruption flag of FIFOP and FIFO
75
76     CC2420_VREG_ON; // Set VREG at HIGH level

```

```

77     DELAY(0);                                // Waiting for enable the regulator
78
79     P2OUT &= ~CC2420_RESET;                    // Reset the 2420 -> Set Low level
80     DELAY(0);                                // Waiting
81
82     P2OUT |= CC2420_RESET;                    // End of reset -> Reset High level
83
84     cc2420_strobe(CC2420_SXOSCON);            // Turn on the crystal oscillator
85
86     do
87     {
88         status = cc2420_get_status();          // Read status-bits of the CC2420
89     }
90     while(!(status & 0x40));                  // Wait as long as the oscillator is stabilized
91
92     P1IE |= (CC2420_FIFO + CC2420_FIFOP);    // Release the interrupts FIFO and FIFOP
93 }
94
95 /*****
96  * Writes in a register.
97  *
98  * @DATE      : 09.11.2007
99  * @AUTHOR    : Ravel
100  * @INPUT     : uint8_t adr > Address of register
101  *             uint16_t data > Data
102  * @OUPUT     : -
103  * @REVISION  : v1.0
104  *****/
105 void cc2420_set_reg(uint8_t adr, uint16_t data)
106 {
107     //---Variables
108     uint8_t data_tmp = 0;
109
110     //---Correct address conversion to write a register
111     REG_WRITE_FORMAT(adr);
112
113     //---Writing in register over SPI
114     CC2420_SELECT;                            // Select CC2420 (SPI_CS)
115     spi_send(adr);                            // Send writing address over SPI to CC2420
116     data_tmp = (uint8_t) (data >> 8);        // Select the higher byte of data value
117     spi_send(data_tmp);                      // Send the higher byte over SPI to CC2420
118     data_tmp = (uint8_t) data;               // Select the lower byte of data value
119     spi_send(data_tmp);                      // Send the higher byte over SPI to CC2420
120     CC2420_DESELECT;                        // De-select CC2420 (SPI_CS)
121 }
122
123 /*****
124  * Reads from a register.
125  *
126  * @DATE      : 09.11.2007
127  * @AUTHOR    : Ravel
128  * @INPUT     : uint8_t adr > Address of register
129  * @OUPUT     : uint16_t < Data
130  * @REVISION  : v1.0
131  *****/
132 uint16_t cc2420_get_reg(uint8_t adr)
133 {
134     //---Variables
135     uint16_t data = 0;
136
137     //---Correct address conversion to read a register
138     REG_READ_FORMAT(adr);
139
140     //---Reading from register over SPI
141     CC2420_SELECT;                            // Select CC2420 (SPI_CS)
142     spi_send(adr);                            // Send reading address over SPI to CC2420
143     data = spi_receive();                    // Receiving the higher byte over SPI from CC2420
144     data = data << 8;                        // Shift the received bloc to the higher range
145     data = spi_receive();                    // Receiving the lower byte over SPI from CC2420
146     CC2420_DESELECT;                        // De-select CC2420 (SPI_CS)
147     return data;
148 }
149
150 /*****
151  * Read status of CC2420.
152  *

```



```

153  /* @DATE      : 09.11.2007                                     */
154  /* @AUTHOR    : Ravel                                          */
155  /* @INPUT     : -                                              */
156  /* @OUPUT     : uint8_t < Status                               */
157  /* @REVISION  : v1.0                                           */
158  /*******/
159  uint8_t cc2420_get_status(void)
160  {
161      /*--- Variables
162      uint8_t data;
163
164      /*--- Send CC2420_SNOP to receive the status bits <see chipcon CC2420 manual p.29 table.5>
165      CC2420_SELECT; // Select CC2420 (SPI_CS)
166      spi_send(CC2420_SNOP); // Send CC2420_SNOP = No operation
167      data = U1RXBUF; // Receive status-bits
168      CC2420_DESELECT; // De-select CC2420 (SPI_CS)
169
170      return data;
171  }
172
173  /*******/
174  /* Write in CC2420 TX_FIFO to send a RF-Frame. */
175  /*
176  /* @DATE      : 09.11.2007                                     */
177  /* @AUTHOR    : Ravel                                          */
178  /* @INPUT     : uint8_t len > Length of the frame to send     */
179  /*             uint8_t *data > pointer with frame (data) to send
180  /* @OUPUT     : -                                              */
181  /* @REVISION  : v1.0                                           */
182  /*******/
183  void cc2420_write_fifo( uint8_t len, uint8_t *data)
184  {
185      /*---Variables
186      uint8_t i,adr;
187
188      /*---Assignment of the TX FIFO address and correct address conversion to write to it
189      adr = CC2420_TXFIFO;
190      REG_WRITE_FORMAT(adr);
191
192      /*---Writing in TX FIFO buffer over SPI
193      CC2420_SELECT; // Select CC2420 (SPI_CS)
194      spi_send(adr); // Send writing address over SPI to CC2420
195      for(i = 0; i < len; i++)
196          spi_send(data[i]); // Send the frame over SPI to CC2420 TX buffer
197      CC2420_DESELECT; // De-select CC2420 (SPI_CS)
198  }
199
200  /*******/
201  /* Reads from CC2420 RX_FIFO -> when a RF-Frame is received. */
202  /*
203  /* @DATE      : 09.11.2007                                     */
204  /* @AUTHOR    : Ravel                                          */
205  /* @INPUT     : uint8_t len > Length of the data to read     */
206  /*             uint8_t *data > pointer to save the readed data
207  /* @OUPUT     : -                                              */
208  /* @REVISION  : v1.0                                           */
209  /*******/
210  void cc2420_read_fifo(uint8_t len, uint8_t *data)
211  {
212      /*---Variables
213      uint8_t i,adr;
214
215      /*---Assignment of the RX FIFO address and correct address conversion to read from it
216      adr = CC2420_RXFIFO;
217      REG_READ_FORMAT(adr);
218
219      /*---Reading in RX FIFO buffer over SPI
220      CC2420_SELECT; // Select CC2420 (SPI_CS)
221      spi_send(adr); // Send reading address over SPI to CC2420
222      for(i=0;i<len;i++)
223      {
224          data[i] = spi_receive(); // Receive the frame over SPI from the RX buffer
225      }
226      CC2420_DESELECT; // De-select CC2420 (SPI_CS)
227  }
228

```

```

229 /*****
230 /* Calls a strobe register.
231 /*
232 /* @DATE      : 09.11.2007
233 /* @AUTHOR    : Ravel
234 /* @INPUT     : uint8_t cmd > Command of strobe
235 /* @OUPUT     : -
236 /* @REVISION  : v1.0
237 /*****
238 void cc2420_strobe(uint8_t cmd)
239 {
240     /*---Correct address conversion to write a strobe register
241     STROBE_FORMAT(cmd);
242
243     /*--- Write to strobe register over SPI
244     CC2420_SELECT;                // Select CC2420 (SPI_CS)
245     spi_send(cmd);                // Send reading address over SPI to CC2420
246     CC2420_DESELECT;             // De-select CC2420 (SPI_CS)
247 }
248
249 /*****
250 /* Write to a RAM register.
251 /*
252 /* @DATE      : 09.11.2007
253 /* @AUTHOR    : Ravel
254 /* @INPUT     : uint8_t adr  > Address of RAM register.
255 /*              uint8_t len  > Length of the data to write
256 /*              uint16_t *data > Pointer with data buffer
257 /* @OUPUT     : -
258 /* @REVISION  : v1.0
259 /*****
260 void cc2420_set_reg_ram(uint8_t adr, uint8_t len, uint16_t *data)
261 {
262     /*---Variables
263     uint16_t i;
264     uint8_t data_tmp;
265
266     /*---Correct address conversion to write to RAM
267     RAM_WRITE_FORMAT(adr);
268
269     /*---Write to RAM over SPI
270     CC2420_SELECT;                // Select CC2420 (SPI_CS)
271     spi_send(adr);                // Send writing address over SPI to CC2420
272     spi_send(REG_BANK_WRITE);     // Send the writing bank address
273     for(i=0;i<len;i++)
274     {
275         spi_send((uint8_t)data[i]); // Send the lower byte over SPI to CC2420
276         data_tmp = (uint8_t) (data[i] >> 8); // Shifting the higher byte to lower byte
277         spi_send(data_tmp);        // Send the higher byte over SPI to CC2420
278     }
279     CC2420_DESELECT;             // De-select CC2420 (SPI_CS)
280 }
281
282 /*****
283 /* Reads from a RAM register.
284 /*
285 /* @DATE      : 09.11.2007
286 /* @AUTHOR    : Ravel
287 /* @INPUT     : uint8_t adr  > Address of RAM register.
288 /*              uint8_t len  > Length of the data to write
289 /*              uint16_t *data > Pointer with data buffer to save the reading values
290 /* @OUPUT     : -
291 /* @REVISION  : v1.0
292 /*****
293 void cc2420_get_reg_ram(uint8_t adr, uint8_t len, uint16_t *data)
294 {
295     /*---Variables
296     uint8_t i;
297     uint16_t data_tmp;
298
299     /*---Correct address conversion to reads from RAM
300     RAM_READ_FORMAT(adr);
301
302     /*---Reads from RAM over SPI
303     CC2420_SELECT;                // Select CC2420 (SPI_CS)
304     spi_send(adr);                // Envoi de l'adresse

```

```

305     spi_send(REG_BANK_READ);                // Envoi du bank et de l'ordre de lecture
306     for(i=0;i<len;i++)
307     {
308         data[i] = spi_receive();             // Receive the lower byte over SPI to CC2420
309         data_tmp = spi_receive();            // Receive the higher byte over SPI to CC2420
310         data[i] |= (data_tmp << 8);          // Shifting the received higher byte
311     }
312     CC2420_DESELECT;                         // De-select CC2420 (SPI_CS)
313 }
314
315 /*****
316 /* Discharging of the RX buffer = discharging the received frames
317 /*
318 /* @DATE      : 20.11.2007
319 /* @AUTHOR    : Ravel
320 /* @INPUT     : uint8_t *data > Data pointer.
321 /* @OUPUT    : uint8_t < buffer state : If buffer empty or not
322 /* @REVISION  : v1.0
323 *****/
324 uint8_t cc2420_receive(uint8_t * data)
325 {
326     P1IE &= ~( CC2420_FIFOP);
327     if(lenght!=0)
328     {
329         *data = cc2420_buffer_rx[p_read];
330         p_read = (p_read+1)%1024;
331         lenght--;
332         P1IE |= ( CC2420_FIFOP);
333         return 1;
334     }
335     P1IE |= ( CC2420_FIFOP);
336     return 0;
337 }
338
339 /*****
340 /* [INTERRUPT] - PORT1 interrupt
341 /*
342 /* @DATE      : 09.11.2007
343 /* @AUTHOR    : Ravel
344 /* @INPUT     : -
345 /* @OUPUT    : -
346 /* @REVISION  : v1.0
347 *****/
348 interrupt(PORT1_VECTOR) port1_isr(void)
349 {
350     uint8_t adr;
351     uint8_t length_frame;
352     uint8_t i;
353
354     //---Assignment of the RX FIFO address and correct address conversion to read from it
355     adr = CC2420_RXFIFO;
356     REG_READ_FORMAT(adr);
357
358     led_1_on();
359
360     if (P1IFG & CC2420_FIFOP)
361     {
362         if(P1IN & CC2420_FIFOP)
363         {
364             cc2420_strobe(CC2420_SFLUSHRX);
365             P1IFG &= ~(CC2420_FIFOP);
366         }
367         P1IFG &= ~(CC2420_FIFOP);
368     }
369
370     if (P1IFG & CC2420_FIFOP)
371     {
372         cc2420_read_fifo(1, &length_frame);
373         if (lenght+length_frame+1<1024)
374         {
375             cc2420_buffer_rx [p_write] = length_frame;
376             p_write = (p_write+1)&1023;
377             lenght++;
378         }
379     }
380     //     for(i=0;i<length_frame;i++)

```

```
381 //      {
382 //          cc2420_read_fifo(1, cc2420_buffer_rx + p_write);
383 //          p_write = (p_write+1)%1024;
384 //          lenght++;
385 //      }
386 CC2420_SELECT;                                // Select CC2420 (SPI_CS)
387 spi_send(adr);                                // Send reading address over SPI to CC2420
388 for(i=0;i<length_frame;i++)
389 {
390     //--Reading in RX FIFO buffer over SPI
391     cc2420_buffer_rx[p_write] = spi_receive();
392     p_write = (p_write+1)&1023;
393     lenght++;
394 }
395 CC2420_DESELECT;                                // De-select CC2420 (SPI_CS)
396 }
397 else
398 {
399     cc2420_strobe(CC2420_SFLUSHRX);
400 }
401 PLIFG &= ~CC2420_FIFOP; //remise à zéro du flag concernant l'IT issue de FIFOP
402 }
403
404 led_1_off();
405 }
406
```

```
1  /*-----*/
2  /*  Library for CZAME parking system                                */
3  /*  RAVEL - 2007                                                    */
4  /*  Headerfile czame.h                                             */
5  /*                                                                  */
6  /*  Car detection algorithm.                                        */
7  /*-----*/
8
9  /*
10   Algorithmme stochastique de détection de véhicules par l'examen de
11   la déviation du champ magnétique terrestre.
12
13   Cet algorithmme est prévu pour être le plus portable possible.
14   Il peut donc être compilé avec les options: -ansi -Wall -pedantic.
15   Il peut fonctionner sur toutes cibles aussi bien en embarqué que sur pc.
16   Testé avec succès sur pc avec mingw, et sur msp430f169 avec iar et mspgcc.
17
18   Pour une performance maximum on peut utiliser les options suivantes
19   sur gcc ou mspgcc: -finline-functions -funroll-loops.
20 */
21
22 #ifndef _CZAME_H_
23 #define _CZAME_H_
24
25 #include <stdint.h>
26
27 #define REPORT_FREE 0
28 #define REPORT_BUSY 1
29
30 /** Exemple de paramètres pour l'algorithmme **/
31
32 #define CZ_BPS 12
33
34 #define CZ_CONF_XYZ "12/A28?A31C116/0C8540811C900A80/6"
35 #define CZ_CONF_XY "12/A23?A27C109/0DB315601D701350/6"
36
37 /** Pointeur sur la fonction de diagnostique (callback).
38     Par default c'est un pointeur sur NULL, et dans ce cas
39     le diagnostique de l'algorithmme est tous simplement ignoré. **/
40
41 extern void (*czame_report)(int16_t);
42
43 /** Initialise les paramètres de l'algorithmme (ex: CZ_CONF_XYZ). **/
44
45 void czame_config (const char *str);
46
47 /** Initialisation des variables de l'algorithmme.
48     Pré-suppose que le système demmare en l'absence de véhicule. **/
49
50 void czame_init (void);
51
52 /** Soummet une mesure à l'algorithmme.
53     Cette fonction appelle "czame_report" toutes les "bps" mesures,
54     si "czame_report" est différent du pointeur NULL.
55     Cette fonction suppose que l'on utilise un ADC10, c'est à
56     dire des mesures comprises entre 0 et 1023, avec 512 pour neutre. **/
57
58 void czame_play (uint16_t x, uint16_t y, uint16_t z);
59
60 #endif
61
```

```

1  /*-----*/
2  /* Library for CZAME parking system */
3  /* RAVEL - 2007 */
4  /* Classfile czame.c */
5  /* */
6  /* Car detection algorithm. */
7  /*-----*/
8
9  /*
10   Algorithmme stochastique de détection de véhicules par l'examen de
11   la déviation du champ magnétique terrestre.
12
13   Cet algorithme est prévu pour être le plus portable possible.
14   Il peut donc être compilé avec les options: -ansi -Wall -pedantic.
15   Il peut fonctionner sur toutes cibles aussi bien en embarqué que sur pc.
16   Testé avec succès sur pc avec mingw, et sur msp430f169 avec iar et mspgcc.
17
18   Pour une performance maximum on peut utiliser les options suivantes
19   sur gcc ou mspgcc: -finline-functions -funroll-loops.
20 */
21
22 #include "czame.h"
23
24 #include <stdint.h>
25
26 /*
27 #include <stdio.h>
28 #define debug(...) fprintf(stderr, __VA_ARGS__)
29 */
30
31 /* Nombre d'états de la chaîne de Markov (proche d'un anti-rebond) */
32 #define STATE 4
33
34 /* Pénalité maximum pouvant être portée par un état */
35 #define METRIC 48
36
37 /* Nombre maximum de symboles de l'alphabet d'entrée (étage viterbi) */
38 #define MOSAIC 16
39
40 /* Nombre d'étapes en phase arrière (secondes) */
41 /*#define BACKWARD 6*/
42
43 /* Longueur de la matrices des pénalités */
44 /* La puissance de 2 immédiatement supérieure à BACKWARD+1 */
45 #define LENGTH 8
46
47 /* Numéro de l'observation qui fait tendre vers l'état stable (pas de véhicules) */
48 #define NEUTRAL 0
49
50 /** 1. Partie privée de l'algorithme (inlinées par -finline-functions) **/
51
52 /** 1.1. clear : Initialise un vecteur d'état **/
53 /** 1.2. copy : Copie un vecteur d'état **/
54 /** 1.3. forward : Avance dans le treillis des possibles **/
55 /** 1.4. backward : Recule dans le treillis des possibles **/
56 /** 1.5. viterbi : Reconstitue l'explication la plus probable **/
57 /** 1.6. isqrt : Calcul de la racine carrée **/
58 /** 1.7. length : Calcul la norme d'un vecteur **/
59
60 /** 2. Partie publique de l'algorithme (interface) **/
61
62 /** 2.1. czame_config : Initialise les paramètres de l'algorithme **/
63 /** 2.2. czame_init : Initialise les variables de l'algorithme **/
64 /** 2.3. czame_play : Soumet une mesure à l'algorithme **/
65
66 /* Indicateurs pour l'introspection (optimisation) */
67 #ifdef SURVEY
68 uint16_t survey_gap;
69 uint16_t survey_disp;
70 uint8_t survey_obsrv;
71 #endif
72
73 /** Outils divers **/
74
75 #define MIN(A,B) ((A)<(B)?(A):(B))
76 #define MAX(A,B) ((A)>(B)?(A):(B))

```

```

77 #define ABS(X)    ((X)<0?-(X):(X))
78
79 /** Pointeur publique sur la fonction de signalisation (callback) */
80 /** Elle indique le résultat de l'algorithme, c'est à dire la présence
81     ou l'absence de véhicule au dessus du capteur, tous les BPS appelle
82     à la fonction "czame_play". */
83
84 void (*czame_report)(int16_t) = 0;
85
86 /** Paramètres de l'algorithme */
87 /** Peuvent être, éventuellement, déterminés à la compilation et donc
88     passés dans un segment constant (ie: en flash). Dans ce cas, la
89     fonction "czame_config" n'a plus de raison d'être. */
90
91 /** NOTE: Si on fixe bps=12 et shift=72 (delay=6), alors :
92     Avec czame_config("12/A28?A31C116/0C8540811C900A80");
93     $ cat corpus.log | ./survey -m A28?A31C116 -s 0C8540811C900A80 -eval
94     on obtient max=611 moy=576.33
95     Avec czame_config("12/A23?A27C109/0DB315601D701350");
96     $ cat corpus.log | ./survey -noz -m A23?A27C109 -s 0DB315601D701350 -eval
97     on obtient max=2575 moy=2514.67 (on manque un véhicule) */
98
99 /* EVAL [11/A27?A27C116/0C8530701C900A60] => MAX=694 MOY=600.27 */
100 /* EVAL [12/A28?A31C116/0C8540811C900A80] => MAX=611 MOY=576.33 */
101 /* EVAL [13/A31?A36C104/0353205212602051] => MAX=824 MOY=812.30 */
102 /* EVAL [14/A31?A37C117/0551304114605074] => MAX=677 MOY=659.71 */
103
104 /* EVAL [12/A28?A31C116/0C8540811C900A80] => MAX=611 MOY=576.33 */
105 /* EVAL [12/A28?A27C116B45?/0C8530811C900A803050] => MAX=587 MOY=560.50 */
106
107 /** On fixe toujours BPS=12 */
108
109 /* EVAL [12/A28?A30C116/0B7430601C900A80/5] => MAX=611 MOY=574.17 */
110 /* EVAL [10/A30?A34C114/0F4412001F501620/7] => MAX=619 MOY=606.60 */
111
112 static struct {
113     uint8_t bps; /* Nombre de mesures à agréger (chunk size) */
114     uint16_t magic; /* Pour une division rapide par "bps" */
115
116     uint8_t card; /* Nombre de symboles de l'alphabet d'entrée (étage viterbi) */
117
118     /* Description de la transformation d'espace (calcul de l'observation) */
119     struct { unsigned value:8, from:7, kind:1; } mosaic [MOSAIC];
120
121     uint8_t initial [STATE]; /* Vecteur des états initiaux */
122     uint8_t metrics [MOSAIC] [STATE]; /* Matrice des pénalités */
123
124     uint8_t delay; /* Nombre d'étapes en phase arrière (secondes) */
125 } etc;
126
127 /** Etat du système */
128 /** Represente l'état mémoire de l'algorithme, se trouvant
129     obligatoirement en mémoire vive (RAM). */
130
131 static struct {
132     struct { int16_t x, y, z; } prev;
133     struct { int32_t x, y, z; } sum;
134     struct { uint32_t x, y, z; } delta_sum;
135     uint8_t count;
136
137     uint8_t matrix [LENGTH] [STATE]; /* Treilli (buffer circulaire) */
138     uint8_t pos; /* Position dans le treilli */
139 } var;
140
141 /** 1.1. Initialise un vecteur d'état */
142
143 static void clear (uint8_t *tgt) {
144     uint8_t i;
145     for (i = 0; i < STATE; i++)
146         tgt[i] = 0;
147 }

```



```
153
154  /** 1.2. Copie un vecteur d'état **/
155
156  static void copy (uint8_t *tgt, const uint8_t *src) {
157
158      uint8_t i;
159      for (i = 0; i < STATE; i++)
160          tgt[i] = src[i];
161  }
162
163  /** Un changement du nombre d'états et/ou du treilli élémentaire,
164      n'implique que la modification de "forward" et de "backward".
165      Actuellement le treilli est proche de celui d'un anti-rebond. **/
166
167  /** 1.3. Avance dans le treillis des possibles **/
168
169  static void forward (uint8_t *s, const uint8_t *e, uint8_t obsrv) {
170
171      uint8_t floor;
172      uint8_t t0, t1, t2, t3;
173
174      /* Confronte l'état à l'observation */
175      t0 = MIN(e[0],e[2]) + etc.metrics[obsrv][0];
176      t1 = e[0]           + etc.metrics[obsrv][1];
177      t2 = e[3]           + etc.metrics[obsrv][2];
178      t3 = MIN(e[1],e[3]) + etc.metrics[obsrv][3];
179
180      /* Normalise le vecteur des états */
181      floor = t0;
182      if (t1 < floor) floor = t1;
183      if (t2 < floor) floor = t2;
184      if (t3 < floor) floor = t3;
185
186      s[0] = MIN(METRIC -1, t0 -floor);
187      s[1] = MIN(METRIC -1, t1 -floor);
188      s[2] = MIN(METRIC -1, t2 -floor);
189      s[3] = MIN(METRIC -1, t3 -floor);
190  }
191
192  /** 1.4. Recule dans le treillis des possibles **/
193
194  static uint8_t backward (const uint8_t *e, uint8_t best) {
195
196      switch (best) {
197          case 0 : if (e[2] < e[0]) best = 2; break;
198          case 1 : best = 0; break;
199          case 2 : best = 3; break;
200          case 3 : if (e[1] < e[3]) best = 1; break;
201      }
202
203      return best;
204  }
205
206  /** 1.5. Reconstitue l'explication la plus probable **/
207
208  static void viterbi (uint8_t obsrv) {
209
210      uint8_t curs;
211      uint8_t i, j, best;
212
213      /* Appliquer la nouvelle observation */
214      curs = (var.pos +LENGTH -1) % LENGTH;
215      forward(var.matrix[var.pos], var.matrix[curs], obsrv);
216
217      /* Rechercher l'état de métrique le plus faible (le plus probable) */
218      best = 0;
219      for (i = 1; i < STATE; i++)
220          if (var.matrix[var.pos][i] < var.matrix[var.pos][best])
221              best = i;
222
223      /* Remonter la chaine des survivants (chemin de viterbi) */
224      for (j = 1; j <= etc.delay; j++) {
225          curs = (var.pos +LENGTH -j) % LENGTH;
226          best = backward(var.matrix[curs], best);
227      }
228
```

```
229  /* Emettre le symbole le plus probable */
230  if (czame_report) switch (best) {
231  case 0:
232  case 1: (*czame_report)(REPORT_FREE);
233  break;
234  case 2:
235  case 3: (*czame_report)(REPORT_BUSY);
236  break;
237  }
238
239  /* Passer à l'observation suivante */
240  var.pos = (var.pos + 1) % LENGTH;
241  }
242
243  /** 1.6. Calcul de la racine carrée **/
244
245  static uint16_t isqrt (uint32_t x) {
246
247      uint32_t y, mask;
248      y = 0;
249      mask = 1UL << 30;
250      while (x < mask) mask >>= 2;
251      while (mask) {
252          if (x >= (y | mask)) {
253              x -= y | mask;
254              y += mask << 1;
255          }
256          mask >>= 2;
257          y >>= 1;
258      }
259      return y;
260  }
261
262  /** 1.7. Calcul la norme d'un vecteur **/
263
264  static uint16_t length (int16_t x, int16_t y, int16_t z) {
265
266      uint32_t a;
267      a = (int32_t)x * x;
268      a += (int32_t)y * y;
269      a += (int32_t)z * z;
270      return isqrt(a);
271  }
272
273  /** 2.1. Initialise les paramètres de l'algorithme **/
274
275  void czame_config (const char *str) {
276
277      uint8_t tmp[STATE];
278      uint8_t i, j, n = 0;
279
280      /* Initialisations relatives aux BPS */
281      etc.bps = 0;
282      while ('0' <= str[n] && str[n] <= '9') {
283          etc.bps *= 10;
284          etc.bps += str[n] - '0';
285          n++;
286      }
287      etc.magic = (1UL << 16) / etc.bps;
288
289      n++;
290
291      /* Inititalisation de la segmentatation (mosaic) */
292      for (i = 0; str[n] != '/'; i++) {
293          etc.mosaic[i].from = str[n++] - 'A';
294          etc.mosaic[i].value = 0;
295          while ('0' <= str[n] && str[n] <= '9') {
296              etc.mosaic[i].value *= 10;
297              etc.mosaic[i].value += str[n] - '0';
298              n++;
299          }
300          etc.mosaic[i].kind = 0;
301          if (str[n] == '?') { etc.mosaic[i].kind = 1; n++; }
302      }
303      etc.card = i+1;
304  }
```

```
305     n++;
306
307     /* Initialisation de la matrice des pénalités */
308     clear(tmp);
309     for (j = 0; j < etc.card; j++) {
310         while (str[n] == '|') n++;
311         if (str[n] == '+') n++; else
312             for (i = 0; i < STATE; i++) {
313                 tmp[i] = str[n] - ('9' < str[n] ? 'A'-10 : '0');
314                 n++;
315             }
316         copy(etc.metrics[j], tmp);
317     }
318
319     /* Calcul du vecteur état initial */
320     clear(etc.initial);
321     for (i = 0; i < LENGTH; i++) {
322         forward(tmp, etc.initial, NEUTRAL);
323         copy(etc.initial, tmp);
324     }
325
326     n++;
327
328     /* Initialisation du nombre d'étapes en phase arrière */
329     etc.delay = 0;
330     while ('0' <= str[n] && str[n] <= '9') {
331         etc.delay *= 10;
332         etc.delay += str[n] - '0';
333         n++;
334     }
335 }
336
337 /** 2.2. Initialise les variables de l'algorithme */
338
339 void czame_init (void) {
340
341     uint8_t i, j;
342
343     var.prev.x = var.prev.y = var.prev.z = 512;
344
345     var.sum.x = var.sum.y = var.sum.z = 0;
346     var.delta_sum.x = var.delta_sum.y = var.delta_sum.z = 0;
347     var.count = etc.bps;
348
349     var.pos = 0;
350     for (j = 0; j < LENGTH; j++)
351         for (i = 0; i < STATE; i++)
352             var.matrix[j][i] = etc.initial[i];
353 }
354
355 /** 2.3. Soumet une mesure à l'algorithme */
356
357 void czame_play (uint16_t x, uint16_t y, uint16_t z) {
358
359     uint8_t n;
360     uint8_t obsrv;
361     uint16_t gap, disp;
362     int16_t dx, dy, dz;
363
364     var.count--;
365
366     /* Agrégation des données */
367     dx = x - 512;
368     dy = y - 512;
369     dz = z - 512;
370     /* Pour le calcul de la moyenne (gap) */
371     var.sum.x += dx;
372     var.sum.y += dy;
373     var.sum.z += dz;
374     /* Pour le calcul de la dispersion (disp) */
375     var.delta_sum.x += ABS(var.prev.x - dx);
376     var.delta_sum.y += ABS(var.prev.y - dy);
377     var.delta_sum.z += ABS(var.prev.z - dz);
378     var.prev.x = dx;
379     var.prev.y = dy;
380     var.prev.z = dz;
```

```
381
382     if (0 < var.count) return; /* Pour chaque agrégat */
383
384     /* Calcul de l'écart moyen */
385     gap = length(var.sum.x, var.sum.y, var.sum.z);
386     gap = ((int32_t)etc.magic * gap) >> 16;
387
388     /* Calcul de la dispersion */
389     disp = var.delta_sum.x;
390     if (disp < var.delta_sum.y) disp = var.delta_sum.y;
391     if (disp < var.delta_sum.z) disp = var.delta_sum.z;
392     disp = ((int32_t)etc.magic * disp) >> 14;
393
394     /* Discrétisation des indicateurs (calcul de l'observation) */
395     obsrv = 0;
396     for (n = 0; n < etc.card-1; n++) {
397         if ((obsrv == etc.mosaic[n].from) &&
398             ((etc.mosaic[n].kind ? disp : gap) >= etc.mosaic[n].value))
399             obsrv = n+1;
400     }
401
402     /* Prépare le calcul de l'observation suivante */
403     var.sum.x = var.sum.y = var.sum.z = 0;
404     var.delta_sum.x = var.delta_sum.y = var.delta_sum.z = 0;
405     var.count = etc.bps;
406
407     /* Transmet les indicateurs pour l'introspection */
408     #ifdef SURVEY
409     survey_gap = gap;
410     survey_disp = disp;
411     survey_obsrv = obsrv;
412     #endif
413
414     /* Emission d'une observation */
415     viterbi(obsrv);
416 }
417
```

```

1  /*-----*/
2  /* Library for CZAME parking system */
3  /* RAVEL - 2007 */
4  /* Headerfile definitions.h */
5  /* */
6  /* Global project definintions */
7  /*-----*/
8
9  #ifndef _DEFINITIONS_H_
10 #define _DEFINITIONS_H_
11
12 /***** INCLUDES *****/
13 #include <io.h>
14 #include <stdint.h>
15
16
17 /***** LEDS *****/
18 /*
19 /*****
20
21 #define led_init()          P2DIR |= BIT5, P2OUT |= BIT5, P2DIR |= BIT6, P2OUT |= BIT6
22                             // Set P2.5 and P2.6 as output and turn off leds
23
24 // LED1 <P2.5>
25 #define led_1_on()          P2OUT &= ~BIT5          // turn LED1 on
26 #define led_1_off()         P2OUT |= BIT5           // turn LED1 off
27 #define led_1_toggle()      P2OUT ^= BIT5           // toggle LED1 state
28
29 // LED2 <P2.6>
30 #define led_2_on()          P2OUT &= ~BIT6          // turn LED2 on
31 #define led_2_off()         P2OUT |= BIT6           // turn LED2 off
32 #define led_2_toggle()      P2OUT ^= BIT6           // toggle LED2 state
33
34 // Leds (LED1 <P2.5> and LED2 <P2.6>)
35 #define leds_on()           P2OUT &= ~(BIT5 + BIT6) // turn LED2 on
36 #define leds_off()          P2OUT |= (BIT5 + BIT6)  // turn LED2 off
37 #define leds_toggle()       P2OUT ^= (BIT5 + BIT6)  // toggle LED2 state
38
39 /*****
40 /*
41 /*****
42
43 // CC2420 Configurationn
44 #define CC2420_FIFO          BIT5          // FIFO <P1.5>
45 #define CC2420_FIFOP         BIT6          // FIFOP <P1.6>
46 #define CC2420_CCA           BIT7          // CCA <P1.7>
47 #define CC2420_SFD           BIT0          // SFD <P2.0>
48 #define CC2420_RESET         BIT1          // RESET <P2.1> (ACTIVE at LOW-Level)
49 #define CC2420_VREG          BIT2          // VREG <P2.2> (ACTIVE at HIGH-Level)
50
51 #define CC2420_VREG_ON        P2OUT |= CC2420_VREG
52 #define CC2420_VREG_OFF      P2OUT &= ~CC2420_VREG
53
54 // CC2420 Registers
55 #define CC2420_SNOP           0x00          // Strobe register
56 #define CC2420_SXOSCON        0x01          // Strobe register
57 #define CC2420_STXCAL         0x02          // Strobe register
58 #define CC2420_SRXON          0x03          // Strobe register
59 #define CC2420_STXON           0x04          // Strobe register
60 #define CC2420_STXONCCA       0x05          // Strobe register
61 #define CC2420_SRFOFF         0x06          // Strobe register
62 #define CC2420_SXOSCOFF       0x07          // Strobe register
63 #define CC2420_SFLUSHRX       0x08          // Strobe register
64 #define CC2420_SFLUSHTX       0x09          // Strobe register
65 #define CC2420_SACK           0x0A          // Strobe register
66 #define CC2420_SACKPEND       0x0B          // Strobe register
67 #define CC2420_SRXDEC         0x0C          // Strobe register
68 #define CC2420_STXENC         0x0D          // Strobe register
69 #define CC2420_SAES           0x0E          // Strobe register
70 #define CC2420_MAIN           0x10
71 #define CC2420_MDMCTRL0       0x11
72 #define CC2420_MDMCTRL1       0x12
73 #define CC2420_RSSI           0x13
74 #define CC2420_SYNCWORD       0x14
75 #define CC2420_TXCTRL         0x15
76 #define CC2420_RXCTRL0        0x16

```

```
77 #define CC2420_RXCTRL1      0x17
78 #define CC2420_FSCTRL      0x18
79 #define CC2420_SECCTRL0    0x19
80 #define CC2420_SECCTRL1    0x1A
81 #define CC2420_BATMON      0x1B
82 #define CC2420_IOCFG0      0x1C
83 #define CC2420_IOCFG1      0x1D
84 #define CC2420_MANFIDL      0x1E
85 #define CC2420_MANFIDH      0x1F
86 #define CC2420_FSMTC        0x20
87 #define CC2420_MANAND        0x21
88 #define CC2420_MANOR        0x22
89 #define CC2420_AGCCTRL      0x23
90 #define CC2420_AGCST0       0x24
91 #define CC2420_AGCST1       0x25
92 #define CC2420_AGCST2       0x26
93 #define CC2420_FSTST0       0x27
94 #define CC2420_FSTST1       0x28
95 #define CC2420_FSTST2       0x29
96 #define CC2420_FSTST3       0x2A
97 #define CC2420_RXBPFSTST    0x2B
98 #define CC2420_FSMSTATE     0x2C
99 #define CC2420_ADCTST        0x2D
100 #define CC2420_DACTST        0x2E
101 #define CC2420_TOPTST        0x2F
102 #define CC2420_RESERVED     0x30
103 #define CC2420_TXFIFO        0x3E
104 #define CC2420_RXFIFO        0x3F
105
106
107 /*****
108  /*                                MAC-FRAME                                */
109  *****/
110
111 #define BEACON_FRAME_TYPE      0
112 #define DATA_FRAME_TYPE      1
113 #define ACK_FRAME_TYPE        2
114 #define CMD_FRAME_TYPE        3
115
116 #define DATA_FRAMECTRL_LO     0x41
117 #define DATA_FRAMECTRL_HI     0xCC
118 #define ACK_FRAMECTRL_LO      0x02
119 #define ACK_FRAMECTRL_HI      0x00
120 #define CMD_FRAMECTRL_LO      0x63
121 #define CMD_FRAMECTRL_HI      0xC8
122
123 #define DST_PAN_ID_LO         0x12
124 #define DST_PAN_ID_HI         0x40
125
126 #define DST_ADDRESS_SHORT_LO   0xE1
127 #define DST_ADDRESS_SHORT_HI   0xBE
128
129 #define DST_ADDRESS_EXT_LL_LO  0x2D
130 #define DST_ADDRESS_EXT_LH_LO  0xF7
131 #define DST_ADDRESS_EXT_HL_LO  0x08
132 #define DST_ADDRESS_EXT_HH_LO  0x40
133 #define DST_ADDRESS_EXT_LL_HI  0x00
134 #define DST_ADDRESS_EXT_LH_HI  0xA2
135 #define DST_ADDRESS_EXT_HL_HI  0x13
136 #define DST_ADDRESS_EXT_HH_HI  0x00
137
138 #define SRC_PAN_ID_LO         0xFF
139 #define SRC_PAN_ID_HI         0xFF
140
141 #define SRC_ADDRESS_SHORT_LO   0xBE
142 #define SRC_ADDRESS_SHORT_HI   0xE1
143
144 #define SRC_ADDRESS_EXT_LL_LO  0x56
145 #define SRC_ADDRESS_EXT_LH_LO  0x34
146 #define SRC_ADDRESS_EXT_HL_LO  0x12
147 #define SRC_ADDRESS_EXT_HH_LO  0x90
148 #define SRC_ADDRESS_EXT_LL_HI  0x78
149 #define SRC_ADDRESS_EXT_LH_HI  0x56
150 #define SRC_ADDRESS_EXT_HL_HI  0x34
151 #define SRC_ADDRESS_EXT_HH_HI  0x12
152
```

```
153 #define CMD_ASSOCIATION_REQUEST          0x01
154 #define CMD_DISASSOCIATE_NOTIFICATION    0x03
155 #define CMD_DATA_REQUEST                 0x04
156 #define CMD_ORPHAN_NOTIFICATION          0x06
157 #define CMD_BEACON_REQUEST                0x07
158
159 #define CRC_LO                            0x00
160 #define CRC_HI                            0x00
161
162 typedef struct
163 {
164     uint8_t frame_control[2];
165     uint8_t sequence_number;
166     uint8_t data[253];
167 } frame_t;
168
169 typedef struct
170 {
171     uint8_t frame_type;
172     uint8_t security_enabled;
173     uint8_t frame_pending;
174     uint8_t ack_request;
175     uint8_t intraPAN;
176     uint8_t dst_addr_mode;
177     uint8_t src_addr_mode;
178 } frame_control_t;
179
180 // rest at moment for class rf2.c
181 #define DEVICE_ADDRESS_H                  0xFF
182 #define DEVICE_ADDRESS_L                  0xFF
183
184 #define IEEE_ADDRESS_HH_H                 0x12
185 #define IEEE_ADDRESS_HL_H                 0x34
186 #define IEEE_ADDRESS_LH_H                 0x56
187 #define IEEE_ADDRESS_LL_H                 0x78
188
189 #define IEEE_ADDRESS_HH_L                 0x90
190 #define IEEE_ADDRESS_HL_L                 0x12
191 #define IEEE_ADDRESS_LH_L                 0x34
192 #define IEEE_ADDRESS_LL_L                 0x56
193
194 #define CHANNEL                           15      // chanel between 11 and 26
195
196
197 /*****
198  *                               OTHERS                               *
199  *****/
200
201 #define BPS                               11
202
203 #define FALSE                             (0)
204 #define TRUE                              (!FALSE)
205 #define MIN(A,B)                          ((A)<(B)?(A):(B))
206 #define MAX(A,B)                          ((A)>(B)?(A):(B))
207 #define ABS(X)                            ((X)<0?- (X):(X))
208 #define CLAMP(X,LO,HI)                    (((X)<(LO))?(LO):(((HI)<(X))?(HI):(X)))
209 #define SWAP(a,b)                         (a^=b,b^=a,a^=b)
210
211 #define MSEC                              232UL
212 #define DELAY(N)                          { volatile uint32_t _i = (N); while (0 < _i) _i--; }
213
214 #define SENSOR_RESET_TIME_SEC             1          // each 10 seconds
215 #define SENSOR_SIGN_OF_LIFE               300        // each 5 minutes
216
217
218 #endif // _DEFINITIONS_H_
219
```

```
1  /*-----*/
2  /*  Library for CZAME parking system                      */
3  /*  RAVEL - 2007                                          */
4  /*  Headerfile i2c.h                                    */
5  /*  */
6  /*  Class to use the I2C-Bus                             */
7  /*-----*/
8
9  #ifndef _I2C_H_
10 #define _I2C_H_
11
12 /***** INCLUDES *****/
13 #include <stdint.h>
14
15
16 /***** FUNCTIONS *****/
17 void i2c_init (void);           // Initialition of the I2C on USART0.
18 void i2c_write (uint8_t addr, uint8_t n, ...); // Writes on the I2C Bus.
19
20 #endif
21
```



```

1  /*-----*/
2  /*  Library for CZAME parking system                                */
3  /*  RAVEL - 2007                                                    */
4  /*  Classfile i2c.c                                                */
5  /*                                                                    */
6  /*  Class to use the I2C-Bus                                        */
7  /*-----*/
8
9  /***** INCLUDES *****/
10 #include "definitions.h"
11 #include "i2c.h"
12 #include <io.h>
13 #include <stdarg.h>
14
15
16 /***** FUNCTIONS *****/
17
18 /*****
19  /* Initiation of the I2C on USART0.
20  /* (ATTENTION : RS232 use also the USART0 -> Possible conflict)
21  /*
22  /* @DATE      : 09.11.2007
23  /* @AUTHOR    : Ravel
24  /* @INPUT     : -
25  /* @OUPUT     : -
26  /* @REVISION  : v1.0
27  *****/
28 void i2c_init (void)
29 {
30     P2OUT &= ~BIT7;           // Invalidation of I2C (disconnection)
31     P2DIR |= BIT7;           // Set I2C connection pin as output
32     P3SEL |= BIT1 + BIT3;    // Choose I2C peripheral pins (SDA and SCL)
33     P2OUT |= BIT7;           // Activation of I2C (connection)s
34 }
35
36 /*****
37  /* Writes on the I2C Bus.
38  /*
39  /* @DATE      : 09.11.2007
40  /* @AUTHOR    : Ravel
41  /* @INPUT     : uint8_t addr > I2C receiver address
42  /*              uint8_t n    > Number of transmitted bytes
43  /*              ...          > Data
44  /* @OUPUT     : -
45  /* @REVISION  : v1.0
46  *****/
47 void i2c_write (uint8_t addr, uint8_t n, ...)
48 {
49     va_list ap;
50     va_start(ap, n);
51
52     /*--- Activation of I2C
53     P2OUT |= BIT7;
54
55     /*--- Choose UART in mode I2C
56     U0CTL = I2C + SYNC;
57
58     U0CTL &= ~I2CEN;
59     I2CTCTL |= I2CSSEL_2 + I2CTRX;           // SMCLK + Transmit
60     I2CNDAT = n;                             // Nbr. of bytes to transmit
61     I2CSA = addr;                             // Addr. of slave destination
62     // I2CPSC = 0x00;
63     // I2CSCLH = 0x00;
64     // I2CSCLL = 0x00;
65     U0CTL |= I2CEN;
66
67     U0CTL |= MST;                             // Master mode
68     I2CTCTL |= I2CSTT + I2CSTP;             // Initiate transfer
69
70     /*--- Sending Data
71     while (n--)
72     {
73         while ((I2CIFG & TXRDYIFG) == 0);    // Wait for transmit ready
74         I2CDRB = (uint8_t)va_arg(ap, int);    // Send a byte
75     }
76

```

```
77     DELAY(MSEC/2);
78
79     ///--- Invalidation of I2C
80     P2OUT &= ~BIT7;
81
82     va_end(ap);
83 }
84
```

```
1  /*-----*/
2  /*  Library for CZAME parking system                      */
3  /*  RAVEL - 2007                                          */
4  /*  Headerfile mac_send.h                                */
5  /*                                                        */
6  /*  Composition and transmission of IEEE 802.15.4 frames. */
7  /*-----*/
8
9  #ifndef _MAC_SEND_H_
10 #define _MAC_SEND_H_
11
12
13 /***** INCLUDES *****/
14 #include <io.h>
15 #include <stdint.h>
16
17
18 /***** DEFINITIONS *****/
19 #define MAC_STATE      0
20 #define MAC_XYZ_STATE  1
21
22
23 /***** FUNCTIONS *****/
24 extern void mac_send(uint8_t event);          // Sends a composed frame (IEEE 802.15.4).
25
26 #endif // _MAC_SEND_H_
27
```

```

1  /*-----*/
2  /* Library for CZAME parking system */
3  /* RAVEL - 2007 */
4  /* Classfile mac_send.c */
5  /* */
6  /* Composition and transmission of IEEE 802.15.4 frames. */
7  /*-----*/
8
9  /***** INCLUDES *****/
10 #include "amr.h"
11 #include "definitions.h"
12 #include "mac_send.h"
13 #include "rf2.h"
14 #include "variables.h"
15 #include <io.h>
16 #include <stdint.h>
17
18
19 /***** FUNCTIONS *****/
20
21 /*****
22  /* Composition of Data-Frame (IEEE 802.15.4) to indicate the parking state.
23  /*
24  /* @DATE : 09.11.2007
25  /* @AUTHOR : Ravel
26  /* @INPUT : const uint8_t * buffer > pointer with buffer for frame
27  /*          uint8_t state > parking state (sensor state)
28  /* @OUPUT : uint8_t < length of frame
29  /* @REVISION : v1.0
30  *****/
31 static uint8_t mac_send_set_state(uint8_t * buffer)
32 {
33     /*--- Variables
34     uint8_t length = 0;
35
36     /*--- Generate a MAC-Layer Data frame
37     buffer[length++] = DATA_FRAMECTRL_LO;
38     buffer[length++] = DATA_FRAMECTRL_HI;
39     buffer[length++] = gSequenceNbr++;
40     buffer[length++] = (uint8_t) gDstPANId; // DST_PAN_ID_LO;
41     buffer[length++] = gDstPANId >> 8; // DST_PAN_ID_HI;
42     buffer[length++] = (uint8_t) gDstIEEEAddr[3]; // DST_ADDRESS_EXT_LL_LO;
43     buffer[length++] = gDstIEEEAddr[3] >> 8; // DST_ADDRESS_EXT_LH_LO;
44     buffer[length++] = (uint8_t) gDstIEEEAddr[2]; // DST_ADDRESS_EXT_HL_LO;
45     buffer[length++] = gDstIEEEAddr[2] >> 8; // DST_ADDRESS_EXT_HH_LO;
46     buffer[length++] = (uint8_t) gDstIEEEAddr[1]; // DST_ADDRESS_EXT_LL_HI;
47     buffer[length++] = gDstIEEEAddr[1] >> 8; // DST_ADDRESS_EXT_LH_HI;
48     buffer[length++] = (uint8_t) gDstIEEEAddr[0]; // DST_ADDRESS_EXT_HL_HI;
49     buffer[length++] = gDstIEEEAddr[0] >> 8; // DST_ADDRESS_EXT_HH_HI;
50     buffer[length++] = (uint8_t) gSrcIEEEAddr[3]; // SRC_ADDRESS_EXT_LL_LO;
51     buffer[length++] = gSrcIEEEAddr[3] >> 8; // SRC_ADDRESS_EXT_LH_LO;
52     buffer[length++] = (uint8_t) gSrcIEEEAddr[2]; // SRC_ADDRESS_EXT_HL_LO;
53     buffer[length++] = gSrcIEEEAddr[2] >> 8; // SRC_ADDRESS_EXT_HH_LO;
54     buffer[length++] = (uint8_t) gSrcIEEEAddr[1]; // SRC_ADDRESS_EXT_LL_HI;
55     buffer[length++] = gSrcIEEEAddr[1] >> 8; // SRC_ADDRESS_EXT_LH_HI;
56     buffer[length++] = (uint8_t) gSrcIEEEAddr[0]; // SRC_ADDRESS_EXT_HL_HI;
57     buffer[length++] = gSrcIEEEAddr[0] >> 8; // SRC_ADDRESS_EXT_HH_HI;
58     buffer[length++] = gParkingNumber >> 8;
59     buffer[length++] = (uint8_t) gParkingNumber;
60     buffer[length++] = gState;
61     buffer[length++] = CRC_LO;
62     buffer[length++] = CRC_HI;
63
64     /*--- Return the lenght of the MAC-Layer Data frame
65     return length - 1;
66 }
67
68 /*****
69  /* Composition of Data-Frame (IEEE 802.15.4) to indicate the parking state.
70  /*
71  /* @DATE : 09.11.2007
72  /* @AUTHOR : Ravel
73  /* @INPUT : const uint8_t * buffer > pointer with buffer for frame
74  /*          uint8_t state > parking state (sensor state)
75  /* @OUPUT : uint8_t < length of frame
76  /* @REVISION : v1.0

```

```

77  /*****
78  static uint8_t mac_send_set_vizgraph(uint8_t * buffer, uint8_t x_state, uint8_t y_state, uint8_t z_state)
79  {
80
81      //--- Variables
82      uint8_t length = 0;
83
84      //--- Generate a MAC-Layer Data frame
85      buffer[length++] = DATA_FRAMECTRL_LO;
86      buffer[length++] = DATA_FRAMECTRL_HI;
87      buffer[length++] = gSequenceNbr++; // Sequence Number
88      buffer[length++] = (uint8_t) gDstPANId; // DST_PAN_ID_LO;
89      buffer[length++] = gDstPANId >> 8; // DST_PAN_ID_HI;
90      buffer[length++] = (uint8_t) gDstIEEEAddr[3]; // DST_ADDRESS_EXT_LL_LO;
91      buffer[length++] = gDstIEEEAddr[3] >> 8; // DST_ADDRESS_EXT_LH_LO;
92      buffer[length++] = (uint8_t) gDstIEEEAddr[2]; // DST_ADDRESS_EXT_HL_LO;
93      buffer[length++] = gDstIEEEAddr[2] >> 8; // DST_ADDRESS_EXT_HH_LO;
94      buffer[length++] = (uint8_t) gDstIEEEAddr[1]; // DST_ADDRESS_EXT_LL_HI;
95      buffer[length++] = gDstIEEEAddr[1] >> 8; // DST_ADDRESS_EXT_LH_HI;
96      buffer[length++] = (uint8_t) gDstIEEEAddr[0]; // DST_ADDRESS_EXT_HL_HI;
97      buffer[length++] = gDstIEEEAddr[0] >> 8; // DST_ADDRESS_EXT_HH_HI;
98      buffer[length++] = (uint8_t) gSrcIEEEAddr[3]; // SRC_ADDRESS_EXT_LL_LO;
99      buffer[length++] = gSrcIEEEAddr[3] >> 8; // SRC_ADDRESS_EXT_LH_LO;
100     buffer[length++] = (uint8_t) gSrcIEEEAddr[2]; // SRC_ADDRESS_EXT_HL_LO;
101     buffer[length++] = gSrcIEEEAddr[2] >> 8; // SRC_ADDRESS_EXT_HH_LO;
102     buffer[length++] = (uint8_t) gSrcIEEEAddr[1]; // SRC_ADDRESS_EXT_LL_HI;
103     buffer[length++] = gSrcIEEEAddr[1] >> 8; // SRC_ADDRESS_EXT_LH_HI;
104     buffer[length++] = (uint8_t) gSrcIEEEAddr[0]; // SRC_ADDRESS_EXT_HL_HI;
105     buffer[length++] = gSrcIEEEAddr[0] >> 8; // SRC_ADDRESS_EXT_HH_HI;
106     buffer[length++] = gParkingNumber >> 8; // Data - Parking nbr higher byte
107     buffer[length++] = (uint8_t) gParkingNumber; // Data - " lower byte
108     buffer[length++] = gState; // Data - parking state
109     buffer[length++] = (uint8_t) x_state; // Data - " lower byte
110     buffer[length++] = (uint8_t) y_state; // Data - " lower byte
111     buffer[length++] = (uint8_t) z_state; // Data - " lower byte
112     buffer[length++] = CRC_LO; // FCS lower byte
113     buffer[length++] = CRC_HI; // FCS lower byte
114
115     //--- Return the lenght of the MAC-Layer Data frame
116     return length - 1;
117 }
118
119 extern uint32_t x_avg_8;
120 extern uint32_t x_avg_32;
121 // extern uint32_t x_avg_64;
122 extern uint32_t y_avg_8;
123 extern uint32_t y_avg_32;
124 // extern uint32_t y_avg_64;
125 extern uint32_t z_avg_8;
126 extern uint32_t z_avg_32;
127 // extern uint32_t z_avg_64;
128
129 /*****
130  /* Sends a composed frame (IEEE 802.15.4). */
131  /* */
132  /* @DATE : 09.11.2007 */
133  /* @AUTHOR : Ravel */
134  /* @INPUT : uint8_t length > length of the frame (used length in buffer) */
135  /* @OUPUT : - */
136  /* @REVISION : v1.0 */
137  /*****
138
139
140
141
142  void mac_send(uint8_t event)
143  {
144      static int delay_counter = 0;
145      static int delay_level;
146      static int id_send = 0;
147      static int counter = 0;
148
149      int8_t cursor = 1;
150      int16_t x_state,y_state,z_state;
151
152      if (counter==0)

```

```
153 {
154     delay_counter = (delay_counter + gGlitch) % 787;
155
156     delay_level=72*BPS;
157     for(int i=BPS;i>0;i--)
158     {
159         delay_level -= 72;
160         if ( delay_counter >= delay_level)
161         {
162             delay = (delay_counter-delay_level);
163             id_send = i-1;
164             break;
165         }
166     }
167     counter = BPS;
168 }
169 else
170 {
171     counter--;
172 }
173
174 if(counter!=id_send) return;
175
176 DELAY(delay * MSEC);
177
178 if(event == MAC_STATE)
179 {
180     cursor += mac_send_set_state(rf2_buffer + cursor);
181                                     // set parking state [IEEE802.15.4 Data-frame]
182 }
183 else if(event == MAC_XYZ_STATE)
184 {
185     x_state=x_avg_32+gX_offset;
186     y_state=y_avg_32+gY_offset;
187     z_state=z_avg_32+gZ_offset;
188     x_state = x_state>>2;
189     y_state = y_state>>2;
190     z_state = z_state>>2;
191     if(x_state>255) x_state=255;
192     if(y_state>255) y_state=255;
193     if(z_state>255) z_state=255;
194     if(x_state<0) x_state=0;
195     if(y_state<0) y_state=0;
196     if(z_state<0) z_state=0;
197
198
199     cursor += mac_send_set_vizgraph(rf2_buffer + cursor,x_state, y_state, z_state);
200                                     // set sensor state [IEEE802.15.4 Data-frame]
201 }
202
203 rf2_buffer[0] = cursor;                // first character content the frame length
204
205 rf2_send(cursor);
206 }
207
```

```

1  /*-----*/
2  /* Library for CZAME parking system */
3  /* RAVEL - 2007 */
4  /* Classfile main.c */
5  /* */
6  /* Main class of the system. */
7  /*-----*/
8
9  /***** INCLUDES *****/
10 #include "amr.h"
11 #include "amr_autoconf.h"
12 #include "czame.h"
13 #include "definitions.h"
14 #include "mac_send.h"
15 #include "variables.h"
16 #include "sleep.h"
17 #include <io.h>
18 #include <stdint.h>
19
20 /***** FUNCTION PROTOTYPES *****/
21 void notify (int16_t report);
22
23 /***** FUNCTIONS *****/
24
25 /*****
26 /* Initialisation of the MSP430F169 microcontroller. */
27 /*
28 /*
29 /* @DATE      : 09.11.2007
30 /* @AUTHOR    : Ravel
31 /* @INPUT     : -
32 /* @OUTPUT    : -
33 /* @REVISION  : v1.0
34 /*****
35 void init_uc(void)
36 {
37     led_init();
38
39     //--- Clock Init [Basic Clock Modul]
40     //      ( GOAL : MCLK = SMCLK = 4 MHz, ACLK=32768 Hz )
41
42     // DCOCTL : DCO Control Register
43     // .DCOx = 5; Selection of DCO frequency <see page 116 [4-7] of msp430 manual>
44     // .MODx = 20; Modulator Selection
45     DCOCTL = (DCO2 + DCO0 + MOD4 + MOD2);
46
47     // BCSCTL1 : Basic Clock System Control Register 1
48     // .XT2OFF = 1; Disable the external oscillator for SCLK and SMCLK
49     // .XTS = 0; Set the low frequency mode for LXFT1
50     // .DIVAx = 0; Set the ACLK divisor to 1 [32768 Hz/1 = 32768 Hz]
51     // .RSELx = 7; Internal Resistor. Second register to select of DCO frequency.
52     BCSCTL1 = (XT2OFF + RSEL2 + RSEL1 + RSEL0);
53
54     // BCSCTL2 : Basic Clock System Control Register 2
55     // .SELMx = 0; Select DCOCLK as source for MCLK
56     // .DIVMx = 0; Set the MCLK divisor to 1 [4 MHz/1 = 4 MHz]
57     // .SELS = 0; Select DCOCLK as source for SMCLK
58     // .DIVSx = 0; Set the SMCLK divisor to 1 [4 MHz/1 = 4 MHz]
59     // .DCOR = 0; Select internal resistor for DCO
60     BCSCTL2 = 0x04;
61 }
62
63 /*****
64 /* [MAIN] - main function.
65 /* Explications : - LED 1 :      RF communication -> ON=transmission, OFF=runtime
66 /*              - LED 2 :      Indicate the parking state -> ON=taken, OFF=free
67 /*              - LED 1 and 2 : Initialisation -> ON=CEP_initialisation, OFF=runtime
68 /*
69 /* @DATE      : 09.11.2007
70 /* @AUTHOR    : Ravel
71 /* @INPUT     : -
72 /* @OUTPUT    : -
73 /* @REVISION  : v1.0
74 /*****
75 int main (void)
76 {

```

```
77  uint16_t counter = BPS*60;
78
79  ///--- Initialisation
80  WDCTL = WDTW + WDTOLD; // Stop WatchDog Timer
81  init_uc();              // Initialisation du microcontrôleur
82  amr_init_calibration();  // Sensors configuration (search mean value)
83
84  ///--- Initialisation of the algorithm
85  // czame_config(CZ_CONF_XYZ); // Algorithm configuration
86  // czame_report = &notify;    // Algorithm callback assignment
87  // czame_init();              // Algorithm initialisation
88
89  amr_init();
90  amr_start(BPS);
91
92  ///--- Endlos loop [Runtime mode]
93  for(;;)
94  {
95      sleep();
96      amr_average();
97      amr_detection();
98      amr_dyn_calib();
99
100     // rf send xyz & state
101     mac_send(MAC_XYZ_STATE);
102
103     counter--;
104
105     if(counter == 0)
106     {
107         amr_degauss();
108         counter = BPS*60;
109     }
110 }
111 }
112 }
113
114 /*****
115  * Callback function by detecting a parking state change.
116  */
117 /* @DATE      : 09.11.2007
118  * @AUTHOR    : Ravel
119  * @INPUT     : -
120  * @OUTPUT    : -
121  * @REVISION  : v1.0
122  */
123 void notify (int16_t report)
124 {
125     if (report == REPORT_FREE)
126     {
127         if(gState == true)
128             gState = false;
129     }
130     else
131     {
132         if(gState == false)
133             gState = true;
134     }
135 }
136
```



```

1  /*-----*/
2  /* Library for CZAME parking system */
3  /* RAVEL - 2007 */
4  /* Classfile main.c */
5  /* */
6  /* Main class of the system. */
7  /*-----*/
8
9  /***** INCLUDES *****/
10 #include "cc2420.h"
11 #include "rf2.h"
12 #include "definitions.h"
13 #include "rs232.h"
14 #include "variables.h"
15 #include <io.h>
16 #include <stdint.h>
17 #include <signal.h>
18 #include <string.h>
19
20
21 /***** DEFINITIONS *****/
22 #define VREG_EN BIT2 // <P2.2> Pin: VREG_EN
23 #define RS422_TX_EN BIT3 // <P2.3> Pin: DE
24 #define RS422_RX_EN BIT4 // <P2.4> Pin: nRE
25 #define ENABLE_I2C BIT7 // <P2.7> Pin: COM_I2C_CUT
26 #define CLK_MCLK BIT4 // <P5.4>
27 #define CLK_SMCLK BIT5 // <P5.5>
28 #define CLK_ACLK BIT6 // <P5.6>
29 #define ENABLE_RELAY_1 BIT5 // <P6.5> Pin: uPO_REL_1
30 #define ENABLE_RELAY_2 BIT6 // <P6.6> Pin: uPO_REL_2
31
32
33 /***** FUNCTION PROTOTYPES *****/
34 void init_uc (void);
35
36
37 /***** FUNCTIONS *****/
38
39 /***** [MAIN] - main function. */
40 /* Explications : - LED 1 : RF communication -> ON=transmission, OFF=runtime */
41 /* - LED 1 and 2 : Initialisation -> ON=CEP_initialisation, OFF=runtime */
42 /* */
43 /* @DATE : 09.11.2007 */
44 /* @AUTHOR : Ravel */
45 /* @INPUT : - */
46 /* @OUPUT : - */
47 /* @REVISION : v1.0 */
48 /***** */
49
50 int main (void)
51 {
52     /*--- Variables
53     uint8_t data, akt_state, flag_frame, flag_crc = 0;
54     uint16_t nbr, x, y, z = 0;
55     int num_byte_frame = 0;
56     flag_frame = 0;
57
58     /*--- Stop Watchdog
59     WDTCTL = WDTPW + WDT HOLD;
60
61     /*--- Enable the interrupts
62     _EINT();
63
64     /*--- Initialisation
65     init_uc(); // Initialisation of the MSP430F169 microcontroller
66     led_init();
67     rs232_init(); // Initialisation of the RS232 on USART0
68     rf2_init();
69
70     /*--- Enable RX
71     rf2_receive_on();
72
73     /*--- Endlos loop [Runtime mode]
74     for(;;)
75     {
76

```

```
77     if (cc2420_receive(&data))
78     {
79         if (num_byte_frame==0)
80         {
81             num_byte_frame = data;
82             //rs232_printf("[nbf:%u]\n",num_byte_frame);
83             if(data == 26) flag_frame=1;
84             if(data == 29) flag_frame=2;
85         }
86     else
87     {
88         //---Sampling values (only for debug)
89         if (flag_frame == 2)
90         {
91             //---Resultat interpretation
92             //if (num_byte_frame==11)           // parking address H
93             //    nbr = data << 8;
94             if (num_byte_frame==7)           // parking address L
95                 nbr = data;
96
97             if (num_byte_frame==6)           // parking state
98                 akt_state = data;
99
100            /*
101            if (num_byte_frame==8)           // x value H
102                x = data << 8;
103            if (num_byte_frame==7)           // x value L
104                x |= data;
105            */
106            if (num_byte_frame==5)           // x value L
107                x = data;
108
109            /*
110            if (num_byte_frame==6)           // y value H
111                y = data << 8;
112            if (num_byte_frame==5)           // y value L
113                y |= data;
114            */
115            if (num_byte_frame==4)           // y value L
116                y = data;
117
118            /*
119            if (num_byte_frame==4)           // z value H
120                z = data << 8;
121            if (num_byte_frame==3)           // z value L
122                z |= data;
123            */
124            if (num_byte_frame==3)           // z value L
125                z = data;
126
127            //---CRC check
128            if (num_byte_frame==1)
129            {
130                flag_crc = data & 0x80;
131                num_byte_frame--;
132            }
133
134            //---Send result over RS232
135            if (num_byte_frame==0)
136            {
137                //rs232_printf("x:%u, y:%u, z:%u", x, y, z);
138                if(flag_crc)
139                {
140                    rs232_putc(0xA1);
141                    rs232_putc(nbr);
142                    rs232_putc(akt_state);
143                    rs232_putc(x);
144                    rs232_putc(y);
145                    rs232_putc(z);
146                    //rs232_printf("%x", x>>2);
147                    //rs232_printf("0\t%1u\t%1u\t%1u\t0\n",
148                    //    x,
149                    //    y,
150                    //    z);
151                    //rs232_printf("<%x %x %x %x %x %x>\n", 0xA1, nbr, akt_state, x>>2, y>>2, z>>2);
152                }
153            }
154        }
155    }
```

```

153         flag_frame =0;
154         num_byte_frame++;
155     }
156 }
157 else if (flag_frame == 1)  //---State has changed
158 {
159     //---Resultat interpretation
160
161     //if (num_byte_frame==5)          // parking address H
162     //    data_rs = data;
163     if (num_byte_frame==4)          // parking address L
164         nbr = data;
165
166     if (num_byte_frame==3)          // parking state
167         akt_state = data;
168
169     //---CRC check
170     if (num_byte_frame==1)
171     {
172         flag_crc = data & 0x80;
173         num_byte_frame--;
174     }
175
176     //---Send result over RS232
177     if (num_byte_frame==0)
178     {
179         if(flag_crc)
180         {
181             rs232_putc(0xA2);
182             rs232_putc(nbr);
183             rs232_putc(akt_state);
184             //rs232_printf("< %x %x %x>\n", 0xA2, nbr, akt_state);
185         }
186         flag_frame =0;
187         num_byte_frame++;
188     }
189 }
190
191 num_byte_frame--;
192 }
193 }
194 }
195 }
196
197 /*****
198 /* Initialisation of the MSP430F169 microcontroller.                                     */
199 /*                                                                                       */
200 /* @DATE      : 09.11.2007                                                             */
201 /* @AUTHOR    : Ravel                                                                 */
202 /* @INPUT     : -                                                                     */
203 /* @OUPUT     : -                                                                     */
204 /* @REVISION  : v1.0                                                                 */
205 /*****/
206 void init_uc(void)
207 {
208     //--- <Port 5> Clock outputs (to control the correct frequency on each pin)
209     P5DIR |= (CLK_ACLK + CLK_SMCLK + CLK_MCLK);    // Set Clock pins as output
210     P5SEL |= (CLK_ACLK + CLK_SMCLK + CLK_MCLK);    // Select Clock mode (periph.) of the pin
211
212     //--- <Port 6> Enable the relays
213     //P6DIR |= (ENABLE_RELAY_1 + ENABLE_RELAY_2);    // Set relay pins as output
214     //P6OUT |= (ENABLE_RELAY_1 + ENABLE_RELAY_2);    // HIGH level to not consume power
215
216     //--- <Port 2> Enable RS422_RX; Disable the Chipcon CC2420, the RS422_TX and the I2C
217     P2DIR |= (VREG_EN + RS422_TX_EN + RS422_RX_EN + ENABLE_I2C);
218                                     // Set pins as output
219     P2OUT |= RS422_RX_EN;            // Enable RS422_RX
220     P2OUT &= ~(VREG_EN + RS422_TX_EN + ENABLE_I2C); // Disable CC2420, RS422_TX and I2C
221
222     //--- Clock Init [Basic Clock Modul]
223     //    ( GOAL : MCLK = SMCLK = 4 MHz, ACLK=32768 Hz )
224
225     // DCOCTL : DCO Control Register
226     // .DCOx = 5; Selection of DCO frequency <see page 116 [4-7] of msp430 manual>
227     // .MODx = 20; Modulator Selection
228     DCOCTL = (DCO2 + DCO0 + MOD4 + MOD2);

```

```
229
230 // BCCTL1 : Basic Clock System Control Register 1
231 // .XT2OFF = 1; Disable the external oscillator for SCLK and SMCLK
232 // .XTS    = 0; Set the low frequency mode for LXFT1
233 // .DIVAx  = 0; Set the ACLK divisor to 1 [32768 Hz/1 = 32768 Hz]
234 // .RSELx  = 7; Internal Resistor. Second register to select of DCO frequency.
235 BCCTL1 = (XT2OFF + RSEL2 + RSEL1 + RSEL0);
236
237 // BCCTL2 : Basic Clock System Control Register 2
238 // .SELMx = 0; Select DCOCLK as source for MCLK
239 // .DIVMx = 0; Set the MCLK divisor to 1 [4 MHz/1 = 4 MHz]
240 // .SELS  = 0; Select DCOCLK as source for SMCLK
241 // .DIVSx = 0; Set the SMCLK divisor to 1 [4 MHz/1 = 4 MHz]
242 // .DCOR  = 0; Select internal resistor for DCO
243 BCCTL2 = 0x00;
244 }
245
```

```

1  /*-----*/
2  /* Library for CZAME parking system */
3  /* RAVEL - 2007 */
4  /* Classfile main.c */
5  /* */
6  /* Main class of the system. */
7  /*-----*/
8
9  /***** INCLUDES *****/
10 #include "cc2420.h"
11 #include "rf2.h"
12 #include "definitions.h"
13 #include "mac_send.h"
14 #include "variables.h"
15 #include <io.h>
16 #include <stdint.h>
17 #include <signal.h>
18 #include <string.h>
19
20
21 /***** DEFINITIONS *****/
22 #define VREG_EN BIT2 // <P2.2> Pin: VREG_EN
23 #define RS422_TX_EN BIT3 // <P2.3> Pin: DE
24 #define RS422_RX_EN BIT4 // <P2.4> Pin: nRE
25 #define ENABLE_I2C BIT7 // <P2.7> Pin: COM_I2C_CUT
26 #define CLK_MCLK BIT4 // <P5.4>
27 #define CLK_SMCLK BIT5 // <P5.5>
28 #define CLK_ACLK BIT6 // <P5.6>
29 #define ENABLE_RELAY_1 BIT5 // <P6.5> Pin: uPO_REL_1
30 #define ENABLE_RELAY_2 BIT6 // <P6.6> Pin: uPO_REL_2
31
32
33 /***** FUNCTION PROTOTYPES *****/
34 void init_uc (void);
35
36
37 /***** FUNCTIONS *****/
38
39 /***** [MAIN] - main function. *****/
40 /* Explications : - LED 1 : RF communication -> ON=transmission, OFF=runtime */
41 /* - LED 1 and 2 : Initialisation -> ON=CEP_initialisation, OFF=runtime */
42 /* */
43 /* @DATE : 09.11.2007 */
44 /* @AUTHOR : Ravel */
45 /* @INPUT : - */
46 /* @OUPUT : - */
47 /* @REVISION : v1.0 */
48 /***** */
49
50 int main (void)
51 {
52     /*--- Variables
53     uint8_t data, flag_frame, flag_crc = 0;
54     int16_t num_byte_frame = 0;
55
56     /*--- Stop Watchdog
57     WDTCTL = WDTPW + WDTHOLD;
58
59     /*--- Enable the interrupts
60     _EINT();
61
62     /*--- Initialisation
63     init_uc(); // Initialisation of the MSP430F169 microcontroller
64     led_init();
65     rf2_init();
66
67     /*--- Enable RX
68     rf2_receive_on();
69
70     /*--- Endlos loop [Runtime mode]
71     for(;;)
72     {
73
74         if (cc2420_receive(&data))
75         {
76             if (num_byte_frame==0)

```

```
77     {
78         num_byte_frame = data;
79         //rs232_printf("[nbf:%u]\n",num_byte_frame);
80         if(data == 26) flag_frame=1;
81         if(data == 29) flag_frame=2;
82     }
83     else
84     {
85         //---Sampling values (only for debug)
86         if (flag_frame == 2)
87         {
88             //---Resultat interpretation
89             if (num_byte_frame==8)           // parking address H
90                 gNbr_rec = data << 8;
91             if (num_byte_frame==7)           // parking address L
92                 gNbr_rec |= data;
93
94             if (num_byte_frame==6)           // parking state
95                 gState_rec = data;
96
97             /*
98             if (num_byte_frame==8)           // x value H
99                 gX_rec = data << 8;
100             if (num_byte_frame==7)          // x value L
101                 gX_rec |= data;
102             */
103             if (num_byte_frame==5)           // x value L
104                 gX_rec = data;
105
106             /*
107             if (num_byte_frame==6)           // y value H
108                 gY_rec = data << 8;
109             if (num_byte_frame==5)           // y value L
110                 gY_rec |= data;
111             */
112             if (num_byte_frame==4)           // y value L
113                 gY_rec = data;
114
115             /*
116             if (num_byte_frame==4)           // z value H
117                 gZ_rec = data << 8;
118             if (num_byte_frame==3)           // z value L
119                 gZ_rec |= data;
120             */
121             if (num_byte_frame==3)           // z value L
122                 gZ_rec = data;
123
124             //---CRC check
125             if (num_byte_frame==1)
126             {
127                 flag_crc = data & 0x80;
128                 num_byte_frame--;
129             }
130
131             //---Send result over RS232
132             if (num_byte_frame==0)
133             {
134                 //rs232_printf("x:%u, y:%u, z:%u", x, y, z);
135                 if(flag_crc)
136                 {
137                     // rf send xyz & state
138                     mac_send(REPEAT_XYZ_STATE);
139                 }
140                 flag_frame =0;
141                 num_byte_frame++;
142             }
143         }
144         else if (flag_frame == 1) //---State has changed
145         {
146             //---Resultat interpretation
147
148             if (num_byte_frame==5)           // parking address H
149                 gNbr_rec = data << 8;
150             if (num_byte_frame==4)           // parking address L
151                 gNbr_rec |= data;
152         }
```

```

153         if (num_byte_frame==3)                // parking state
154             gState_rec = data;
155
156         //---CRC check
157         if (num_byte_frame==1)
158         {
159             flag_crc = data & 0x80;
160             num_byte_frame--;
161         }
162
163         //---Send result over RS232
164         if (num_byte_frame==0)
165         {
166             if(flag_crc)
167             {
168                 // rf send xyz & state
169                 mac_send(REPEAT_STATE);
170             }
171             flag_frame =0;
172             num_byte_frame++;
173         }
174     }
175     num_byte_frame--;
176 }
177 }
178 }
179 }
180 }
181
182 /*****
183 /* Initialisation of the MSP430F169 microcontroller.                                     */
184 /*                                                                                       */
185 /* @DATE      : 09.11.2007                                                             */
186 /* @AUTHOR    : Ravel                                                                 */
187 /* @INPUT     : -                                                                     */
188 /* @OUPUT     : -                                                                     */
189 /* @REVISION  : v1.0                                                                 */
190 /*****/
191 void init_uc(void)
192 {
193     //--- <Port 5> Clock outputs (to control the correct frequency on each pin)
194     P5DIR |= (CLK_ACLK + CLK_SMCLK + CLK_MCLK);    // Set Clock pins as output
195     P5SEL |= (CLK_ACLK + CLK_SMCLK + CLK_MCLK);    // Select Clock mode (periph.) of the pin
196
197     //--- <Port 6> Enable the relays
198     //P6DIR |= (ENABLE_RELAY_1 + ENABLE_RELAY_2); // Set relay pins as output
199     //P6OUT |= (ENABLE_RELAY_1 + ENABLE_RELAY_2); // HIGH level to not consume power
200
201     //--- <Port 2> Enable RS422_RX; Disable the Chipcon CC2420, the RS422_TX and the I2C
202     P2DIR |= (VREG_EN + RS422_TX_EN + RS422_RX_EN + ENABLE_I2C);
203                                     // Set pins as output
204     P2OUT |= RS422_RX_EN;            // Enable RS422_RX
205     P2OUT &= ~(VREG_EN + RS422_TX_EN + ENABLE_I2C); // Disable CC2420, RS422_TX and I2C
206
207     //--- Clock Init [Basic Clock Modul]
208     // ( GOAL : MCLK = SMCLK = 4 MHz, ACLK=32768 Hz )
209
210     // DCOCTL : DCO Control Register
211     // .DCOx = 5; Selection of DCO frequency <see page 116 [4-7] of msp430 manual>
212     // .MODx = 20; Modulator Selection
213     DCOCTL = (DCO2 + DCO0 + MOD4 + MOD2);
214
215     // BCSCTL1 : Basic Clock System Control Register 1
216     // .XT2OFF = 1; Disable the external oscillator for SCLK and SMCLK
217     // .XTS = 0; Set the low frequency mode for LXT1
218     // .DIVAx = 0; Set the ACLK divisor to 1 [32768 Hz/1 = 32768 Hz]
219     // .RSELx = 7; Internal Resistor. Second register to select of DCO frequency.
220     BCSCTL1 = (XT2OFF + RSEL2 + RSEL1 + RSEL0);
221
222     // BCSCTL2 : Basic Clock System Control Register 2
223     // .SELMx = 0; Select DCOCLK as source for MCLK
224     // .DIVMx = 0; Set the MCLK divisor to 1 [4 MHz/1 = 4 MHz]
225     // .SELS = 0; Select DCOCLK as source for SMCLK
226     // .DIVSx = 0; Set the SMCLK divisor to 1 [4 MHz/1 = 4 MHz]
227     // .DCOR = 0; Select internal resistor for DCO
228     BCSCTL2 = 0x00;

```

```
229 }  
230
```



```
1  /*-----*/
2  /*  Library for CZAME parking system          */
3  /*  RAVEL - 2007                             */
4  /*  Headerfile pwm.h                         */
5  /*                                           */
6  /*  Class to use the PWM                     */
7  /*-----*/
8
9  #ifndef _PWM_
10 #define _PWM_
11
12 /***** FUNCTIONS *****/
13 extern void pwm_on (void);
14 extern void pwm_off (void);
15
16
17 #endif
18
```

```
1  /*-----*/
2  /*  Library for CZAME parking system */
3  /*  RAVEL - 2007 */
4  /*  Classfile pwm.c */
5  /* */
6  /*  Class to use the PWM */
7  /*-----*/
8
9  /***** INCLUDES *****/
10 #include <io.h>
11 #include "definitions.h"
12
13 /***** FUNCTIONS *****/
14
15 /*****
16  * Turns ON the PWM.
17  *
18  * @DATE      : 27.11.2007
19  * @AUTHOR    : Ravel
20  * @INPUT     : -
21  * @OUPUT     : -
22  * @REVISION  : v1.0
23  *
24  *****/
25 void pwm_on(void)
26 {
27     /*
28     P1OUT &= ~BIT3;
29     */
30     P1DIR |= BIT3;
31     P1SEL |= BIT3;                // Select peripheral mode of pin
32
33     //---Configuration of PWM
34     TACCRO = 1;                  // PWM Period
35     TACCTL2 = OUTMOD_7;          // CCR2 reset/set
36     TACCR2 = 1;                  // CCR2 PWM duty cycle
37
38     //---Configuration of timer A
39     TACTL = TASSEL_2 + MC_1;     // ACLK, Up mode -> Timer counts to CCR0
40     DELAY(1*MSEC);
41 }
42
43 /*****
44  * Turns OFF the PWM.
45  *
46  * @DATE      : 27.11.2007
47  * @AUTHOR    : Ravel
48  * @INPUT     : -
49  * @OUPUT     : -
50  * @REVISION  : v1.0
51  *
52  *****/
53 void pwm_off(void)
54 {
55     // P1OUT |= BIT3;
56     // P1DIR |= BIT3;
57     // ACTL = 0;                // Reset timer A
58     P1SEL &= ~BIT3;            // Select PIO mode of pin
59     P1OUT &= ~BIT3;            // Set Low level
60 }
```

```
1  /*-----*/
2  /*  Library for CZAME parking system                      */
3  /*  RAVEL - 2007                                           */
4  /*  Headerfile ravelunclib.h                             */
5  /*  */                                                    */
6  /*  Library of helpfully functions.                      */
7  /*-----*/
8
9  #ifndef _RAVELFUNCLIB_H_
10 #define _RAVELFUNCLIB_H_
11
12 /***** INCLUDES *****/
13 #include <stdint.h>
14
15
16 /***** FUNCTIONS *****/
17 uint8_t setAscii2DecHexValue(uint8_t);           // calculate decimal HEX value from ascii char.
18
19 #endif // endif _RAVELFUNCLIB_H_
20
```

```
1  /*-----*/
2  /*  Library for CZAME parking system                                */
3  /*  RAVEL - 2007                                                    */
4  /*  Classfile ravelunclib.c                                         */
5  /*                                                                    */
6  /*  Library of helpfully functions.                                  */
7  /*-----*/
8
9  /***** INCLUDES *****/
10 #include "definitions.h"
11 #include "ravelfunclib.h"
12 #include <stdint.h>
13
14
15 /***** FUNCTIONS *****/
16
17 /*****
18 /* Returns the decimal Hex value of an ascii character.             */
19 /* (range 0-9, A-F, a-f)                                           */
20 /*                                                                    */
21 /* @DATE      : 09.11.2007                                          */
22 /* @AUTHOR    : Ravel                                              */
23 /* @INPUT     : -                                                  */
24 /* @OUPUT     : -                                                  */
25 /* @REVISION  : v1.0                                              */
26 /*****
27 uint8_t setAscii2DecHexValue(uint8_t ascii)
28 {
29     uint8_t hexValue;
30
31     // caluculate hexadecimal value in decimal format
32     if(ascii >= 65 && ascii <= 70)          // ASCII 65=A --> 70=F
33     {
34         hexValue = ascii - 65 + 10;
35     }
36     else if (ascii >= 97 && ascii <= 102)    // ASCII 97=a --> 102=f
37     {
38         hexValue = ascii - 97 + 10;
39     }
40     else if (ascii >= 48 && ascii <= 57)    // ASCII 48=0 --> 57=9
41     {
42         hexValue = ascii - 48;
43     }
44     else
45     {
46         hexValue = 0;
47     }
48
49     // return calculated value
50     return hexValue;
51 }
52
```

```
1  /*-----*/
2  /*  Library for CZAME parking system                                */
3  /*  RAVEL - 2007                                                    */
4  /*  Headerfile rf2.h                                              */
5  /*                                                                */
6  /*  Class who administred the RF functions of the CC2420.          */
7  /*-----*/
8
9  #ifndef _RF2_H
10 #define _RF2_H
11
12
13 /***** INCLUDES *****/
14 #include <stdint.h>
15
16
17 /***** FUNCTIONS *****/
18 void rf2_init (void);          // Initiation of the CC2420.
19                                // Settings : power_on(), config, PAN ID, adresse
20
21 void rf2_power_on (void);      // Starting of the regulator of the CC2420.
22                                // (POWER : ON, XTAL : OFF, RF : OFF).
23                                // - No register is configured but the CC2420 is
24                                //   found in mode wakes up after this function.
25
26 void rf2_power_off (void);     // Stopping of the regulator of the CC2420.
27                                // (-> POWER : OFF, XTAL : OFF, RF : OFF).
28                                // - Consumption = 0.02 uA
29                                // - The registers of configurations are not safeguarded
30                                //   in this operating mode.
31
32 void rf2_sleep (void);         // Deactivation of the CC2420.
33                                // (-> POWER : ON, XTAL : OFF, RF : OFF).
34                                // - Consumption = 20 uA.
35                                // - The registers of configuration are safeguarded in
36                                //   this operating mode.
37
38 void rf2_idle (void);          // CC2420 in waked up mode.
39                                // (-> POWER : ON, XTAL : ON, RF : OFF).
40                                // - Consumption = 256 uA.
41                                // - After this operations the CC2420 is neither in
42                                //   reception mode nor in emission mode.
43
44 uint8_t rf2_send (uint8_t);    // Sends a frame of raw data <param : length>.
45                                // - After a sending, the CC2420 is found by default in
46                                //   reception mode.
47                                //   return 0 if success
48
49 void rf2_receive_on (void);     // Setting in reception mode of the CC2420.
50                                // - Consumption = 18 mA.
51                                //   to put a callback!
52
53 void rf2_receive_off (void);    // Stop of the reception mode.
54                                // - At the exit of this function, the cc2420 is in the
55
56 // extern void (*rf2_recv_callback) (uint8_t size);
57 // callback function at the time of the reception of a
58 // frame.
59
60 #endif // _RF2_H
61
```

```

1  /*-----*/
2  /* Library for CZAME parking system */
3  /* RAVEL - 2007 */
4  /* Classfile rf2.c */
5  /* */
6  /* Class who administred the RF functions of the CC2420. */
7  /*-----*/
8
9  /***** INCLUDES *****/
10 #include "cc2420.h"
11 #include "definitions.h"
12 #include "rf2.h"
13 #include "variables.h"
14 #include <io.h>
15 #include <stdint.h>
16
17
18 /***** FUNCTION - PREDECLARATIONS OF STATIC FUNCTIONS *****/
19 static void rf2_set_channel(uint8_t); // sets channel number <param between 11 and 26>
20
21
22 /***** CALLBACK FUNCTIONS *****/
23 void (*rf2_rcv_callback) (uint8_t size) = 0;
24
25
26 /***** FUNCTIONS *****/
27
28 /*****
29 /* Initiation of the CC2420.
30 /* Settings : power_on(), config, PAN ID, address
31 /*
32 /* @DATE : 09.11.2007
33 /* @AUTHOR : Ravel
34 /* @INPUT : -
35 /* @OUPUT : -
36 /* @REVISION : v1.0
37 /*****
38 void rf2_init (void)
39 {
40     //--- Variables
41     uint16_t data[6];
42
43     //--- Assignment of the callback functions
44     //fifop_callback = &rf2_receive; // Received frame
45     //fifo_callback = &rf2_overflow; // Overflow
46
47     //--- Initialisation of CC2420
48     cc2420_init(); // Initialisation of CC2420
49
50     //--- Set Register
51     cc2420_set_reg(CC2420_MDMCTRL0, 0x22E2); // Set Modem Control Register 0
52                                             // .0x00-0x03 : PREAMBLE_LENGTH 0010
53                                             // .0x04 : AUTOACK 0
54                                             // .0x05 : AUTOCRC 1
55                                             // .0x06-0x07 : CCA_MODE 11
56                                             // .0x08-0x0A : CCA_HYST 010
57                                             // .0x0B : ADR_DECODE 0
58                                             // .0x0C : PAN_COORDINATOR 0
59                                             // .0x0D : RESERVED_FRAME_MODE 1
60                                             // .0x0E-0x0F : - (reserved) 00
61
62     cc2420_set_reg(CC2420_MDMCTRL1, 0x0500); // Set Modem Control Register 1
63                                             // .0x00-0x01 : RX_MODE 00
64                                             // .0x02-0x03 : TX_MODE 00
65                                             // .0x04 : MODULATION_MODE 0
66                                             // .0x05 : DEMOD_AVG_MODE 0
67                                             // .0x06-0x0A : CORR_THR 10100
68                                             // .0x0B-0x0F : - (reserved) 00000
69
70     rf2_set_channel(CHANNEL); // Set RF channel <2.4 GHz between 11-26>
71
72     cc2420_set_reg(CC2420_IOCFG0, 0x0805); // Set I/O Control Register 0
73                                             // .0x00-0x06 : FIFOP_THR 0000101
74                                             // .0x07 : CCA_POLARITY 0
75                                             // .0x08 : SFD_POLARITY 0
76                                             // .0x09 : FIFOP_POLARITY 0

```

```

77 // .0x0A      : FIFO_POLARITY      0
78 // .0x0B      : BCN_ACCEPT         1
79 // .0x0C-0x0F : - (reserved)      0000
80 // --> authorization of the "beacon" which have
81 // a good PAN. All the pins are active at
82 // the high level and FIFOP threshold = F
83
84 cc2420_set_reg(CC2420_SECCTRL0,0x01C4); // Set Security Control Register 0
85 // .0x00-0x01 : SEC_MODE           00
86 // .0x02-0x04 : SEC_M              001
87 // .0x05      : SEC_RXKEYSEL       0
88 // .0x06      : SEC_TXKEYSEL       1
89 // .0x07      : SEC_SAKKEYSEL      1
90 // .0x08      : SEC_CBC_HEAD       1
91 // .0x09      : RXFIFO_PROTECTION  0
92 // .0x0A-0x0F : - (reserved)      000000
93 // --> invalidation of safety (see for TX and RX)
94
95 //--- Set Chipcon CC2420 network parameter <see chipcon manual p.31 table.6>
96 data[0] = gSrcIEEEAddr[3]; // set 64-bit extended address LL
97 data[1] = gSrcIEEEAddr[2]; // " LH
98 data[2] = gSrcIEEEAddr[1]; // " HL
99 data[3] = gSrcIEEEAddr[0]; // " HH
100 data[4] = gDstPANid; // set 16-bit PAN identifier
101 data[5] = 0xFFFF; // set 16-bit Short address
102 cc2420_set_reg_ram(0x60,6,data); // writing the address of the card and the PAN
103
104 }
105
106 /*****
107 /* Starting of the regulator of the CC2420 (-> POWER : ON, XTAL : OFF, RF : OFF). */
108 /* - No register is configured but the CC2420 is found in mode "wakes up" after this func.*/
109 /* */
110 /* @DATE      : 09.11.2007 */
111 /* @AUTHOR    : Ravel */
112 /* @INPUT     : - */
113 /* @OUPUT     : - */
114 /* @REVISION  : v1.0 */
115 /*****/
116 void rf2_power_on (void)
117 {
118     CC2420_VREG_ON; // Startup of the CC2420 supply
119 }
120
121 /*****
122 /* Stopping of the regulator of the CC2420 (-> POWER : OFF, XTAL : OFF, RF : OFF). */
123 /* - Consumption = 0.02 uA */
124 /* - The registers of configurations are not safeguarded in this operating mode. */
125 /* */
126 /* @DATE      : 09.11.2007 */
127 /* @AUTHOR    : Ravel */
128 /* @INPUT     : - */
129 /* @OUPUT     : - */
130 /* @REVISION  : v1.0 */
131 /*****/
132 void rf2_power_off (void)
133 {
134     CC2420_VREG_OFF; // Stop-over of the CC2420 supply
135 }
136
137 /*****
138 /* Deactivation of the CC2420 (-> POWER : ON, XTAL : OFF, RF : OFF). */
139 /* - Consumption = 20 uA */
140 /* - The registers of configuration are safeguarded in this operating mode. */
141 /* */
142 /* @DATE      : 09.11.2007 */
143 /* @AUTHOR    : Ravel */
144 /* @INPUT     : - */
145 /* @OUPUT     : - */
146 /* @REVISION  : v1.0 */
147 /*****/
148 void rf2_sleep (void)
149 {
150     cc2420_strobe(CC2420_SXOSCOFF); // Stop-over of the oscillator with quartz
151 }
152

```

```

153 /*****
154 /* CC2420 in waked up mode (-> POWER : ON, XTAL : ON, RF : OFF).
155 /* - Consumption = 256 uA
156 /* - After this operations the CC2420 is neither in reception mode nor in emission mode.
157 /*
158 /* @DATE      : 09.11.2007
159 /* @AUTHOR    : Ravel
160 /* @INPUT     : -
161 /* @OUPUT     : -
162 /* @REVISION  : v1.0
163 /*****
164 void rf2_idle (void)
165 {
166     //--- Variables
167     uint8_t status;
168
169     //--- Check quartz state
170     status = cc2420_get_status();           // Read status register of the CC2420
171
172     if (!(status & 0x40))                   // If the crystal oscillator isn't running...
173     {
174         cc2420_strobe(CC2420_SXOSCON);     // ...turn it on
175         do
176         {
177             status = cc2420_get_status();
178         }
179         while(!(status & 0x40));             // ... and make an attempt that it's stabilized
180     }
181     else                                    // Otherwise...
182     {
183         cc2420_strobe(CC2420_SRFOFF);      // ...disable RX/TX and frequency synthesizer
184     }
185 }
186
187 /*****
188 /* Sends a frame of raw data.
189 /* - After a sending, the CC2420 is found by default in reception mode.
190 /*
191 /* @DATE      : 09.11.2007
192 /* @AUTHOR    : Ravel
193 /* @INPUT     : uint8_t length > Number of bytes to transmit
194 /* @OUPUT     : uint8_t      < result of the transmission
195 /* @REVISION  : v1.0
196 /*****
197 uint8_t rf2_send (uint8_t length)
198 {
199     rf2_init();
200
201     //--- Variables
202     uint8_t status;
203
204     //--- Preparation to send the frame
205     cc2420_strobe(CC2420_SFLUSHTX);        // Flush the TX FIFO buffer
206     cc2420_strobe(CC2420_SRXON);          // Enable RX
207
208     cc2420_write_fifo(length, rf2_buffer); // Set frame into TX FIFO buffer
209     cc2420_strobe(CC2420_STXONCCA);        // Send frame according to the channel state CCA
210     // cc2420_strobe(CC2420_STXON);        // Send frame without according to the channel
211                                           // state CCA
212     do
213     {
214         status = cc2420_get_status();      // Get status-bits
215     }
216     while (status & 0x08);                 // Wait as long as bit TX_ACTIVE is idle
217
218     rf2_power_off();
219
220     return 0;                             // ...todo...
221 }
222
223 /*****
224 /* Setting in reception mode of the CC2420.
225 /* - Consumption = 18 mA
226 /* - After this operations the CC2420 is neither in reception mode nor in emission mode.
227 /*
228 /* @DATE      : 09.11.2007

```



```

229  /* @AUTHOR      : Ravel                                          */
230  /* @INPUT       : -                                              */
231  /* @OUPUT      : -                                              */
232  /* @REVISION    : v1.0                                          */
233  /*****
234  void rf2_receive_on (void)
235  {
236      /*--- Variables
237      uint8_t status;
238
239      /*--- Turn on RF receiption
240      cc2420_strobe(CC2420_SRXON);                                // Enable RX
241      do                                                    // to make it more proper (not necessary)
242      {
243          status = cc2420_get_status();                      // Get status-bits
244      }
245      while(!(status & 0x44));                                // Wait as long as the quartz is stabilized and
246                                                                // the PLL is locked
247      cc2420_strobe(CC2420_SFLUSHRX);                        // Flush the RX FIFO buffer
248      cc2420_strobe(CC2420_SFLUSHRX);                        // --> 2 times <see chipcon CC2420 manual p.33>
249  }
250
251  /*****
252  /* Stop of the reception mode.                                  */
253  /* - At the exit of this function, the CC2420 is in the "waked up" mode.
254  /*
255  /* @DATE        : 09.11.2007
256  /* @AUTHOR      : Ravel
257  /* @INPUT       : -
258  /* @OUPUT      : -
259  /* @REVISION    : v1.0
260  /*****
261  void rf2_receive_off (void)
262  {
263      cc2420_strobe(CC2420_SRFOFF);                            // Disable RX/TX and frequency synthesizer
264  }
265
266
267  /*****
268  /* [static] - Sets channel number <param between 11 and 26 for 2.4 GHz>
269  /*
270  /* @DATE        : 09.11.2007
271  /* @AUTHOR      : Ravel
272  /* @INPUT       : uint8_t channel > Channel number
273  /* @OUPUT      : -
274  /* @REVISION    : v1.0
275  /*****
276  static void rf2_set_channel (uint8_t channel)
277  {
278      /*---Variables
279      uint16_t freq = 0;
280
281      // fc = 2048 + FREQ MHz
282      // --> fc = 2405 + 5 * (k-11) MHz with k = channel [11->26]
283      //          2048 + 357 + 5 * (k-11)
284      //          |-----|
285      //          FREQ
286
287      /*--- Calculate the channel frequency
288      freq = channel - 11;                                // (k-11)
289      freq = (uint16_t) (freq + (freq < 2));              // 5 * (k-11)
290      freq = freq + 357 + 0x4000;                          // 357 + 5 * (k-11) + other register definitions
291
292      cc2420_set_reg(CC2420_FSCTRL, freq);                // Frequency Synthesizer Control and Status
293                                                                // .0x00-0x09 : FREQ          0101111001
294                                                                // .0x0A      : LOCK_STATUS      0
295                                                                // .0x0B      : LOCK_LENGTH      0
296                                                                // .0x0C      : CAL_RUNNING      0
297                                                                // .0x0D      : CAL_DONE         0
298                                                                // .0x0E-0x0F : LOCK_THR        01
299  }
300

```

```
1  /*-----*/
2  /*  Library for CZAME parking system          */
3  /*  RAVEL - 2007                             */
4  /*  Headerfile rs232.h                       */
5  /*                                           */
6  /*  Class to use the RS232                   */
7  /*-----*/
8
9  #ifndef __RS232__
10 #define __RS232__
11
12
13 /***** FUNCTIONS *****/
14 void rs232_init    (void);
15 void rs232_putc    (char);
16 void rs232_printf  (const char *, ...);
17
18 #endif
19
```

```

1  /*-----*/
2  /* Library for CZAME parking system */
3  /* RAVEL - 2007 */
4  /* Classfile rs232.c */
5  /* */
6  /* Class to use the RS232 */
7  /*-----*/
8
9  /***** INCLUDES *****/
10 #include "definitions.h"
11 #include "cc2420.h"
12 #include "rs232.h"
13 #include "variables.h"
14 #include "ravelfunclib.h"
15 #include "vtxprintf.h"
16 #include <io.h>
17 #include <signal.h>
18 #include <string.h>
19
20
21 /***** FUNCTION PROTOTYPES *****/
22 static void rs232_getEvent(void);
23
24
25 /***** FUNCTIONS *****/
26
27 /*****
28  /* Initialisation of the USART0 [for mode RS232].
29  /*
30  /* @DATE      : 09.11.2007
31  /* @AUTHOR    : Ravel
32  /* @INPUT     : -
33  /* @OUPUT    : -
34  /* @REVISION  : v1.0
35  *****/
36 void rs232_init (void)
37 {
38     U0CTL = 0;
39     U0CTL = SWRST; // Stop USART0 --> SET init state of U0CTL
40     P3SEL |= BIT4 + BIT5; // Sel periph. func. of P3.4,5 - USART0 TXD,RXD
41     P3DIR &= ~BIT5; // Input P3.5 - URXD0
42     P3DIR |= BIT4; // Output P3.4 - UTXD0
43     U0CTL = CHAR; // 8-bit character
44
45     U0TCTL = SSEL1; // BRCLK = SMCLK (ca 1 MHz)
46
47     UBR0=0x24; UBR1=0x00; UMCTL0=0x10; // uart0 416000Hz 115235bps
48     //UBR0=0x09; UBR1=0x00; UMCTL0=0x00; // uart0 1042000Hz 115777bps
49
50     UOME |= UTXE0 + URXE0; // Enable USART0 TXD,RXD
51
52     U0CTL &= ~SWRST; // Start USART0 --> SET SWRST to 0
53     IE1 |= URXIE0; // Enable RX interrupt
54 }
55
56 /*****
57  /* Send a character.
58  /*
59  /* @DATE      : 09.11.2007
60  /* @AUTHOR    : Ravel
61  /* @INPUT     : char c > Character (ASCII)
62  /* @OUPUT    : -
63  /* @REVISION  : v1.0
64  *****/
65 void rs232_putc (char c) {
66     while (!(IFG1 & UTXIFG0)) ;
67     U0TXBUF = c;
68 }
69
70 /*****
71  /* Print out a message of characters.
72  /*
73  /* @DATE      : 09.11.2007
74  /* @AUTHOR    : Ravel
75  /* @INPUT     : const char * fmt > String composition
76  /*              ... > Parameters

```

```

77  /* @OUPUT      : -                                     */
78  /* @REVISION   : v1.0                                   */
79  /*****
80  void rs232_printf(const char *fmt, ...) {
81      va_list ap;
82      va_start(ap, fmt);
83      vtxprintf(rs232_putc, fmt, ap);
84      va_end(ap);
85  }
86
87  /*****
88  /* [static] - Proves the rs232_buffer and calculate the event.
89  /* (call from rs232 interrupt routine!)
90  /* -> 001 : Set parking state          - TX cfg-001:X;          - RX rsp-001:OK;
91  /* -> 002 : Set parking number         - TX cfg-002:XXX;        - RX rsp-002:OK;
92  /* -> 003 : Get parking number (over RS232) - TX cfg-003;          - RX rsp-003:XXX;
93  /* -> 004 : Set Src IEEE address       - TX cfg-004:HH...LL;    - RX rsp-004:OK;
94  /* -> 005 : Get Src IEEE address (over RS232) - TX cfg-005;          - RX rsp-005:HH...LL;
95  /* -> 006 : Set Dst IEEE address       - TX cfg-006:HH...LL;    - RX rsp-006:OK;
96  /* -> 007 : Get Dst IEEE address (over RS232) - TX cfg-007;          - RX rsp-007:HH...LL;
97  /* -> 008 : Set Dst PAN-ID            - TX cfg-008:XXXX;      - RX rsp-008:OK;
98  /* -> 009 : Get Dst PAN-ID (over RS232) - TX cfg-009;          - RX rsp-009:XXXX;
99  /*
100 /* @DATE       : 09.11.2007
101 /* @AUTHOR     : Ravel
102 /* @INPUT      : -
103 /* @OUPUT     : -
104 /* @REVISION   : v1.0
105 /*****
106 static void rs232_getEvent(void)
107 {
108     uint8_t i;
109     uint8_t event = 0;
110
111     if(gDebug == GENERAL)
112     {
113         // print out rs232_buffer
114         rs232_printf("rs232_buffer [%u] : ", RS232_BUFFER_SIZE);
115         for(i = 0; i < RS232_BUFFER_SIZE; i++)
116         {
117             rs232_printf("%2x ", rs232_buffer[i]);
118         }
119         rs232_printf("\r\n");
120     }
121
122     if((rs232_buffer[0] == 'c') && (rs232_buffer[1] == 'f') && (rs232_buffer[2] == 'g') && (rs232_buffer[3] == 't'))
123     {
124         event = (((uint8_t) rs232_buffer[4] - 48) * 100) + (((uint8_t) rs232_buffer[5] - 48) * 10);
125     }
126
127     if(gDebug == GENERAL) rs232_printf("Event : %u\r\n", event);
128
129     if(event == 1)
130     {
131         gState = rs232_buffer[8];
132         gStateChanged = 1;
133         if(gDebug != VIZGRAPH) rs232_printf("rsp-001:OK;\r\n");
134     }
135     else if(event == 2)
136     {
137         gParkingNumber = (((uint8_t) rs232_buffer[8] - 48) * 100) + (((uint8_t) rs232_buffer[9] - 48) * 10);
138         if(gDebug != VIZGRAPH) rs232_printf("rsp-002:OK;\r\n");
139     }
140     else if(event == 3)
141     {
142         if(gDebug != VIZGRAPH) rs232_printf("rsp-003:%3u;\r\n", gParkingNumber);
143     }
144     else if(event == 4)
145     {
146         for(i = 0; i < 4; i++)
147         {
148             gSrcIEEEAddr[i] = (((uint16_t) setAscii2DecHexValue(rs232_buffer[i+i+i+i+8])) << 12)
149                 | (((uint16_t) setAscii2DecHexValue(rs232_buffer[i+i+i+i+9])) << 8)
150                 | (((uint16_t) setAscii2DecHexValue(rs232_buffer[i+i+i+i+10])) << 4)
151                 | (((uint16_t) setAscii2DecHexValue(rs232_buffer[i+i+i+i+11])));
152         }
153     }
154 }

```

```

153     cc2420_set_reg_ram(0x60, 4, gSrcIEEEAddr);
154     if(gDebug != VIZGRAPH) rs232_printf("rsp-004:OK;\r\n");
155 }
156 else if(event == 5)
157 {
158     if(gDebug != VIZGRAPH)
159     {
160         rs232_printf("rsp-005:");
161         for(i = 0; i < 4; i++)
162         {
163             rs232_printf("%4x", gSrcIEEEAddr[i]);
164         }
165         rs232_printf(";\r\n");
166     }
167 }
168 else if(event == 6)
169 {
170     for(i = 0; i < 4; i++)
171     {
172         gDstIEEEAddr[i] = (((uint16_t) setAscii2DecHexValue(rs232_buffer[i+i+i+i+8])) << 12)
173             | (((uint16_t) setAscii2DecHexValue(rs232_buffer[i+i+i+i+9])) << 8)
174             | (((uint16_t) setAscii2DecHexValue(rs232_buffer[i+i+i+i+10])) << 4)
175             | ((uint16_t) setAscii2DecHexValue(rs232_buffer[i+i+i+i+11])));
176     }
177     if(gDebug != VIZGRAPH) rs232_printf("rsp-006:OK;\r\n");
178 }
179 else if(event == 7)
180 {
181     if(gDebug != VIZGRAPH)
182     {
183         rs232_printf("rsp-007:");
184         for(i = 0; i < 4; i++)
185         {
186             rs232_printf("%4x", gDstIEEEAddr[i]);
187         }
188         rs232_printf(";\r\n");
189     }
190 }
191 else if(event == 8)
192 {
193     gDstPANId = (((uint16_t) setAscii2DecHexValue(rs232_buffer[8])) << 12)
194         | (((uint16_t) setAscii2DecHexValue(rs232_buffer[9])) << 8)
195         | (((uint16_t) setAscii2DecHexValue(rs232_buffer[10])) << 4)
196         | (((uint16_t) setAscii2DecHexValue(rs232_buffer[11])));
197     cc2420_set_reg_ram(0x68, 1, (uint16_t *) gDstPANId);
198     if(gDebug != VIZGRAPH) rs232_printf("rsp-008:OK;\r\n");
199 }
200 else if(event == 9)
201 {
202     if(gDebug != VIZGRAPH) rs232_printf("rsp-009:%4x;\r\n", gDstPANId);
203 }
204 }
205
206 /*****
207 /* [INTERRUPT] - ISR by receiving a character over the USART0.
208 /*
209 /* @DATE      : 09.11.2007
210 /* @AUTHOR    : Ravel
211 /* @INPUT     : -
212 /* @OUTPUT    : -
213 /* @REVISION  : v1.0
214 *****/
215 interrupt (USART0RX_VECTOR) rs232_isr(void)
216 {
217     if(gRs232_buffer_ptr == RS232_BUFFER_SIZE)
218     {
219         gRs232_buffer_ptr = 0;
220     }
221
222     if(U0RXBUF == ';')
223     {
224         rs232_buffer[gRs232_buffer_ptr] = U0RXBUF;
225         rs232_getEvent();
226         gRs232_buffer_ptr = 0;
227     }
228     else

```

```
229     {  
230         rs232_buffer[gRs232_buffer_ptr] = U0RXBUF;  
231         gRs232_buffer_ptr++;  
232     }  
233 }  
234
```

```
1  /*-----*/
2  /*  Library for CZAME parking system                      */
3  /*  RAVEL - 2007                                          */
4  /*  Headerfile sleep.h                                  */
5  /*  Class who administred the lower energy consumption.  */
6  /*-----*/
7
8
9  #ifndef _SLEEP_
10 #define _SLEEP_
11
12
13 /***** INCLUDES *****/
14 #include <io.h>
15
16
17 /***** FUNCTIONS *****/
18 extern void sleep(void);
19
20
21 #endif
22
```

```

1  /*-----*/
2  /*  Library for CZAME parking system                                */
3  /*  RAVEL - 2007                                                    */
4  /*  Classfile sleep.c                                              */
5  /*                                                                  */
6  /*  Class who administred the lower energy consumption.            */
7  /*-----*/
8
9  /****** INCLUDES *****/
10 #include "sleep.h"
11
12
13 /****** DEFINITIONS *****/
14 //-- IO CC2420
15 #define FIFO          (1<<5)
16 #define FIFOP         (1<<6)
17 #define CCA           (1<<7)
18 #define SDF           (1<<0)
19 #define CMDE_Nrst     (1<<1)
20 #define VREG_EN       (1<<2)
21 #define SPI_CS        (1<<0)
22 #define SPI_MOSI      (1<<1)
23 #define SPI_MISO      (1<<2)
24 #define SPI_CLK       (1<<3)
25
26 #define AMR_XY_SET     BIT5           // <P4.5>
27 #define AMR_XY_RESET  BIT4           // <P4.4>
28 #define AMR_XY_NWP    BIT0           // <P4.0>
29 #define AMR_Z_SET     BIT2           // <P4.2>
30 #define AMR_Z_RESET   BIT3           // <P4.3>
31 #define AMR_Z_NWP     BIT1           // <P4.1>
32
33
34 /****** FUNCTIONS *****/
35
36 /*-----*/
37 /* Set the microcontroller in a low consomation mode.              */
38 /*                                                                  */
39 /* @DATE      : 27.11.2007                                           */
40 /* @AUTHOR    : Ravel                                                */
41 /* @INPUT     : -                                                    */
42 /* @OUPUT     : -                                                    */
43 /* @REVISION  : v1.0                                                 */
44 /*-----*/
45 void sleep(void)
46 {
47     /*--- Disable interrupts
48     _DINT();
49
50     /*--- Reset the ports
51     P1SEL = 0;
52     P2SEL = 0;
53     P3SEL = 0;
54     P4SEL = 0;
55     P5SEL = 0;
56     P6SEL = 0;
57
58     P1DIR = 0;
59     P2DIR = 0;
60     P3DIR = 0;
61     //P4DIR = 0;
62     P5DIR = 0;
63     P6DIR = 0;
64
65     /*--- CC2420 Low Consomation
66     P1OUT  &= ~(FIFO | FIFOP | CCA);
67     P1DIR  |= (FIFO | FIFOP | CCA);
68     P2OUT  &= ~(SDF | CMDE_Nrst | VREG_EN);
69     P4DIR  |= (AMR_XY_RESET & AMR_Z_RESET & AMR_XY_SET & AMR_Z_SET & AMR_XY_NWP & AMR_Z_NWP);
70     P4OUT  |= (AMR_XY_SET & AMR_Z_SET & AMR_XY_RESET & AMR_Z_RESET);
71     P4OUT  &= ~(AMR_XY_NWP + AMR_Z_NWP);
72     P2OUT  &= (CMDE_Nrst | VREG_EN);
73     P2DIR  |= (CMDE_Nrst | VREG_EN);
74     P5OUT  |= (SPI_CS);
75     P5DIR  |= (SPI_CS);
76     P5OUT  &= ~( SPI_MOSI | SPI_MISO | SPI_CLK);

```



```
77     P5DIR   |= ( SPI_MOSI | SPI_MISO | SPI_CLK );
78
79     //--- Set microcontroller in low power mode and enable the interrupts
80     _BIS_SR(LPM3_bits + GIE);
81 }
82
83
84
```

```
1  /*-----*/
2  /*  Library for CZAME parking system                                */
3  /*  RAVEL - 2007                                                    */
4  /*  Headerfile spi.h                                              */
5  /*                                                                */
6  /*  Class to use the SPI-Bus                                       */
7  /*-----*/
8
9  #ifndef _SPI_H_
10 #define _SPI_H_
11
12 /****** INCLUDES *****/
13 #include <stdint.h>
14 #include <io.h>
15
16
17 /****** CONSTANTS *****/
18 #define CS0_ENABLE      P5OUT &= ~BIT0      // Select the slave (low level enabled)  SPI_CS
19 #define CS0_DISABLE     P5OUT |= BIT0       // Select the slave (high level enabled) SPI_CS
20
21
22 /****** FUNCTIONS *****/
23 void spi_init(void);
24 void spi_send(uint8_t);
25 char spi_receive(void);
26
27 #endif // endif _SPI_H_
28
```

```

1  /*-----*/
2  /*  SPI Library for CZAME parking system                                */
3  /*  RAVEL - 2007                                                         */
4  /*                                                                       */
5  /*  Use the USART1 of the MSP430F169 in mode SPI                       */
6  /*-----*/
7
8  /****** INCLUDES *****/
9  #include "definitions.h"
10 #include "spi.h"
11 #include <io.h>
12 #include <stdint.h>
13
14
15 /****** INTERN CONSTANTS *****/
16 #define CS          BIT0          // Chip Select
17 #define MOSI        BIT1          // Master Out Slave In
18 #define MISO        BIT2          // Master In Slave Out
19 #define CLK         BIT3          // Clock
20
21
22 /****** FUNCTIONS *****/
23
24 /****** Initialisation of the USART1 [for mode SPI].                    */
25 /*                                                                       */
26 /* @DATE      : 09.11.2007                                              */
27 /* @AUTHOR    : Ravel                                                  */
28 /* @INPUT     : -                                                       */
29 /* @OUPUT     : -                                                       */
30 /* @REVISION  : v1.0                                                    */
31 /******
32 void spi_init(void)
33 {
34     UCTL1 |= SWRST;              // Reset the USART so as to configure the SPI
35
36     P5SEL |= (MOSI + MISO + CLK); // Select peripheral func. options for the SPI
37                                     // (CLK, MOSI and MISO)
38     P5OUT |= CS;                 // CS on level 1 to invalidate the slave
39     P5OUT &= ~(CLK + MOSI);      // MOSI and CLK to ground (bus in static cond.)
40     P5DIR |= CS + CLK + MOSI;    // CS, MOSI and CLK as output
41     P5DIR &= ~MISO;              // MISO as input
42
43     /******
44     /*          ATTENTION : THE CC2420 FUNCTIONS ONLY WITH THIS CONFIGURATION!
45     /*          DON'T PUT ONLY CKPL THAN YET CHRONOGRAM BUT THE STATIC CONDITION
46     /*          OF THE SPI IS DIFFERENT AND ACCORDINGLY NOT COMPREHEND BY THE CC2420
47     /******
48
49     U1CTL |= CHAR + SYNC + MM;    // 8 Bit + LISTEN (to remove) + SPI + Master
50     U1TCTL |= CKPH + SSEL1 + STC; // Use SMCLK
51
52     UBR01 = 0x02;                // SMCLK/2 = 500 kHz (MCLK : Master clock)
53     UBR11 = 0x00;                // 0
54     UMCTL1 = 0x00;               // No modulation (not used by SPI)
55
56     ME2 = USPIE1;                // Validation the mode SPI of the USART1
57
58     UCTL1 &= ~SWRST;             // Re-starting of the USART and the SPI
59 }
60
61
62 /******
63 /* Send a character over the SPI bus.
64 /*
65 /* @DATE      : 09.11.2007
66 /* @AUTHOR    : Ravel
67 /* @INPUT     : uint8_t data > Character to send
68 /* @OUPUT     : -
69 /* @REVISION  : v1.0
70 /******
71 void spi_send(uint8_t data)
72 {
73     IFG2 &= ~(URXIFG1);          // Set interrupt flag return to zero
74     U1TXBUF = data;              // Sending a value
75     while (!(IFG2&URXIFG1));     // Wait for the end of the transmission
76 }

```

```
77
78 /*****
79 /* Receive a character over the SPI bus and write him in the RX buffer.
80 /*
81 /* @DATE      : 09.11.2007
82 /* @AUTHOR    : Ravel
83 /* @INPUT     : -
84 /* @OUPUT     : char < Character
85 /* @REVISION  : v1.0
86 /*****/
87 char spi_receive(void)
88 {
89     uint8_t data;
90     IFG2 &= ~(URXIFG1);           // Set interrupt flag return to zero
91                                   // (because in listen mode)
92     U1TXBUF = 0;                  // Set the buffer return to zero so that no data
93                                   // is transmitted
94     while (!(IFG2&URXIFG1));      // Wait of a reception
95     data = U1RXBUF;               // Reading of the data
96     return data;
97 }
98
```

```
1  /*-----*/
2  /*  Library for CZAME parking system                                */
3  /*  RAVEL - 2007                                                    */
4  /*  Headerfile variables.h                                          */
5  /*                                                                  */
6  /*  Globale variables                                              */
7  /*-----*/
8
9  #ifndef _VARIABLES_H_
10 #define _VARIABLES_H_
11
12
13 /****** INCLUDES *****/
14 #include <stdint.h>
15 #include <stdbool.h>
16
17
18 /****** CONSTANTS *****/
19 #define RF2_BUFFER_SIZE      256
20 #define RS232_BUFFER_SIZE    32
21
22
23 /****** GLOBAL VARIABLES *****/
24
25 //--- DEBUG VARIABLES ---
26 typedef enum { NONE, GENERAL, VIZGRAPH } debug_mode_t;
27
28 //--- GENERAL VARIABLES ---
29 extern volatile bool gState;           // actually parking state
30 extern volatile bool gState_s;         // actually parking state
31 extern const uint16_t gParkingNumber;  // parking number
32 extern const uint16_t gGlitch;
33
34 //--- MAC VARIABLES ---
35 extern uint8_t gSequenceNbr;           // IEEE 802.15.4 frame sequence number
36 extern uint16_t gSrcIEEEAddr[4];       // IEEE 802.15.4 extended source address
37 extern uint16_t gDstIEEEAddr[4];       // IEEE 802.15.4 extended destination address
38 extern uint16_t gDstPANId;             // IEEE 802.14.4 destination pan id
39
40 //--- RF2 VARIABLES ---
41 extern uint8_t rf2_buffer[RF2_BUFFER_SIZE]; // RF buffer for IEEE 802.15.4 frames
42
43 //--- RS232 VARIABLES ---
44 extern uint8_t rs232_buffer[RS232_BUFFER_SIZE]; // RS232 buffer
45 extern volatile uint8_t gRs232_buffer_ptr;      // RS232 buffer pointer
46
47 //--- AMR VARIABLES ---
48 extern uint32_t z_moy;
49 extern int16_t gX_offset;
50 extern int16_t gY_offset;
51 extern int16_t gZ_offset;
52
53
54 #endif // _VARIABLES_H_
55
```

```
1  /*-----*/
2  /*  Library for CZAME parking system                                */
3  /*  RAVEL - 2007                                                    */
4  /*  Classfile variables.c                                           */
5  /*                                                                    */
6  /*  Globale variables                                               */
7  /*-----*/
8
9  /***** INCLUDES *****/
10 #include "variables.h"
11
12
13 /***** GLOBAL VARIABLES *****/
14
15 /--- GENERAL VARIABLES ---
16 volatile bool gState_s = false;           // actually state
17 volatile bool gState = false;            // actually state
18 uint16_t const gParkingNumber = 1;       // parking number
19 uint16_t const gGlitch = 2;
20
21 /--- MAC VARIABLES ---
22 uint8_t gSequenceNbr = 0;                // sequence number of frame
23 uint16_t gSrcIEEEAddr[4] = { 0x1234, 0x5678, 0x9012, 0x3456 };
24 //uint16_t gDstIEEEAddr[4] = { 0x0013, 0xA200, 0x4008, 0xF72D };
25 uint16_t gDstIEEEAddr[4] = { 0xCCDD, 0xAABB, 0x8899, 0x6677 };
26 uint16_t gDstPANId = 0x4012;
27
28 /--- RF2 VARIABLES ---
29 uint8_t rf2_buffer[RF2_BUFFER_SIZE];
30
31 /--- RS232 VARIABLES ---
32 uint8_t rs232_buffer[RS232_BUFFER_SIZE];
33 volatile uint8_t gRs232_buffer_ptr = 0;
34
35 /--- AMR VARIABLES ---
36 int16_t gX_offset;
37 int16_t gY_offset;
38 int16_t gZ_offset;
39
```

```
1  /*-----*/
2  /*  Library for CZAME parking system                                */
3  /*  RAVEL - 2007                                                    */
4  /*  Headerfile vtxprintf.h                                          */
5  /*                                                                  */
6  /*  Reduced printf-like function for embeded softwares             */
7  /*-----*/
8
9  #ifndef _VTXPRINTF_H_
10 #define _VTXPRINTF_H_
11
12 /* Reduced printf-like function for embeded softwares */
13
14 #include <stdarg.h>
15
16 /*
17  %%    => print percent
18  %c    => print a char
19  %7c   => do it 7 times (unlike std. %7c)
20  %s    => print a string
21  %7s   => do it possibly right padded by spaces
22  %u    => print an unsigned number
23  %7u   => do it possibly left padded by zeros (like std. %07u)
24  %lu   => print an unsigned long number
25  %j    => print a signed number always prefixed by a sign
26  %b    => print a number as binary
27  %x    => print a number as hexadecimal (like std. %X)
28 */
29
30 /***** FUNCTIONS *****/
31 void vtxprintf (void (*)(char), const char *, va_list);
32
33 #endif
34
```

```

1  /*-----*/
2  /* Library for CZAME parking system */
3  /* RAVEL - 2007 */
4  /* Headerfile vtxprintf.h */
5  /* */
6  /* Reduced printf-like function for embeded softwares */
7  /*-----*/
8
9  /***** INCLUDES *****/
10 #include "vtxprintf.h"
11
12 /***** CONSTANTS *****/
13 #define SIGNED 1
14 #define LARGE 2
15
16 /***** FUNCTIONS *****/
17
18 /*****
19  Calculate the output format for the String.
20  */
21 /*
22  */
23 /* @DATE : 09.11.2007 */
24 /* @AUTHOR : Ravel */
25 /* @INPUT : void (*tx_char)(char) > void pointer function with character */
26 /*          const char *fmt > constant pointer with data (string) */
27 /*          va_list ap > attributes */
28 /* @OUPUT : - */
29 /* @REVISION : v1.0 */
30 /*****
31 void vtxprintf (void (*tx_char)(char), const char *fmt, va_list ap) {
32
33     int i;
34     int base;
35     int width;
36     int flags;
37
38     unsigned long x, q;
39     unsigned char r;
40
41     const char * str;
42     const char digits[] = "0123456789ABCDEF";
43     char tmp[36];
44
45     for ( ; *fmt ; fmt++ ) {
46
47         /* Verbatim print all other chars */
48         if (*fmt != '%') { tx_char(*fmt); continue; }
49
50         fmt++; /* Skip percent char */
51         flags = 0; /* Unsigned short number by default */
52
53         /* Get field width if exists */
54         width = 0;
55         while ('0' <= *fmt && *fmt <= '9')
56             width = ((width << 2) + width) << 1) + (*fmt++) - '0';
57
58         /* Get conversion qualifier */
59         if (*fmt == 'l') { flags |= LARGE; fmt++; }
60
61         switch (*fmt) {
62
63         case '%':
64             tx_char('%');
65             continue;
66
67         case 'c':
68             /* Repeat print char as width */
69             i = va_arg(ap, int);
70             if (!width) width = 1;
71             while (width--) tx_char(i);
72             continue;
73
74         case 's':
75             /* Space padding after string if needed */
76             str = va_arg(ap, char *);

```



```
77     while (*str) { tx_char(*str++); width--; }
78     if (0 < width) while (width--) tx_char(' ');
79     continue;
80
81     case 'b': base = 2; break;
82     case 'j': flags |= SIGNED;
83     case 'u': base = 10; break;
84     case 'x': base = 16; break;
85
86     default:
87         continue;
88     }
89
90     /* Get converted number */
91     x = (flags & LARGE) ? va_arg(ap, unsigned long) : va_arg(ap, unsigned int);
92
93     i = 0;
94
95     /* Print sign if signed number */
96     if (flags & SIGNED) {
97         if ((signed long)x < 0)
98             { tx_char('-'); x = -(signed long)x; }
99         else
100             { tx_char('+'); }
101     }
102
103     switch (base) {
104
105         /* Binary number (base 2) */
106         case 2:
107             while (x) {
108                 q = x >> 1; r = x & 1;
109                 tmp[i++] = digits[r];
110                 x = q;
111             }
112             break;
113
114         /* Decimal number (base 10) */
115         case 10:
116             while (x) {
117                 q = ((x >> 1) + x) >> 3;
118                 q = (q >> 4) + q;
119                 q = (q >> 8) + q;
120                 q = (q >> 16) + q;
121                 q >>= 1;
122                 r = x - (((q << 2) + q) << 1);
123                 if (10 <= r) { r -= 10; q++; }
124                 tmp[i++] = digits[r];
125                 x = q;
126             }
127             break;
128
129         /* Hexadecimal number (base 16) */
130         case 16:
131             while (x) {
132                 q = x >> 4; r = x & 15;
133                 tmp[i++] = digits[r];
134                 x = q;
135             }
136             break;
137     }
138
139     /* Zero padding before number if needed */
140     if (i < width)
141         { width -= i; while (width--) tx_char('0'); }
142
143     /* Print the number */
144     while (i--) tx_char(tmp[i]);
145
146     } /* main loop */
147
148 } /* vtxprintf */
149
```